

# **GEOLOGO GREEN VENTURE MONTENERO** S.R.L. **Dottor Geologo** Giancarlo Rocco Di Berardino Viale Giorgio Ribotta 21, g.diberardino@proes.it **Eurosky Tower – interno 0B3** 00144 - Roma (RM) P. IVA 02324060686 greenventuremontenero@pec.it RESPONSABILE TECNICO PROES SRL Ingegnere Maurizio Elisio m.elisio@proes.it **APRILE 2023**



## Studio di compatibilità idrogeologica

Foglio 2 di Fogli 57

Impianto agrivoltaico Montenero di Bisaccia 19.5 Dottor Geologo Di Berardino Giancarlo Rocco

04/2023

## **SOMMARIO**

1.0	INTRODUZIONE	3
1.1	SCOPO DEL DOCUMENTO	
1.2		
1.3		
2.0	ANALISI GEOLOGICA, GEOMORFOLOGICA E IDROGEOLOGICA	7
2.1	GEOLOGIA GENERALE E LOCALE	7
2.2		
2.3	IDROGEOLOGIA	13
3.0	ANALISI GEOTECNICA	15
4.0	ANALISI SISMICA	16
4.1	INQUADRAMENTO MACROSISMICO	16
4.2	FAGLIE E TETTONICA	17
4.3	MICROZONAZIONE SISMICA	
4 4.4	.3.1 Liquefazione dei terreni	
4.5	• •	
5.0	ANALISI DI STABILITA' DEI VERSANTI	
5.1	CONDIZIONI AL CONTORNO	
5.2		
6.0	CONCLUSIONI	22
6.1	CONSIDERAZIONI FINALI	22
7.0	BIBLIOGRAFIA	
8.0	ALLEGATI	24



Studio	di	com	patibilità	idroge	ologica

Impianto agrivoltaico Montenero di Bisaccia 19.5

Foglio 3 di Fogli 57

Dottor Geologo Di Berardino Giancarlo Rocco

04/2023

## 1.0 INTRODUZIONE

Con nota Prot. N. VIR-SVE02 del 10/03/2022 la Società GREEN VENTURE MONTENERO SRL ha presentato istanza per l'avvio del procedimento di Valutazione di Impatto Ambientale ai sensi dell'art.23 del D.Lgs.152/2006 relativa al progetto di un impianto per la produzione di energia elettrica da fonte solare in Montenero di Bisaccia (CB) denominato "Montenero di Bisaccia 19.5" (procedimento 8227).

Dopo la presentazione dell'istanza, il giorno 01/03/2023 si è svolta una riunione tecnica (per via telematica) convocata dalla Commissione VIA PNRR-PNIEC del Ministero volta alla presentazione del progetto.

Nel corso dell'incontro la Commissione ha formulato al Proponente alcune richieste di chiarimento/integrazione rispetto alla documentazione depositata.

Il Proponente, accogliendo le richieste della Commissione, ha anticipato la volontà di voler effettuare delle modifiche per la rimodulazione del progetto presentato finalizzate alla sua conversione da impianto Fotovoltaico ad un più moderno e sostenibile impianto di tipo Agrivoltaico.

Fatte tali premesse si precisa che il presente **documento** è stato aggiornato integrando le informazioni richieste dalla Commissione oltre alle informazioni necessarie volte alla conversione del progetto da impianto Fotovoltaico ad un più moderno e sostenibile impianto di tipo Agrivoltaico.

Si precisa che per una migliore comprensione del testo, tutte le modifiche/integrazioni effettuate rispetto al documento consegnato in sede di prima istanza di VIA sono state evidenziate come di seguito indicato:

- Eliminazioni: testo barrato
- Integrazioni: testo in carattere di colore rosso.

Inoltre, si segnala che è stato necessario:

- Aggiornare alcuni elaborati tecnici consegnati in sede di prima istanza
- Integrare nuovi elaborati

Per dettagli si rimanda all'elenco Allegati riportato nel Capitolo 8.0 del presente documento.

La Società **GREEN VENTURE MONTENERO S.R.L.**, Roma (RM) Viale Giorgio Ribotta 21, CAP 00144, Eurosky Tower – interno 0B3, P. IVA 02324060686 (di seguito *Proponente*) ha in progetto la realizzazione di due impianti fotovoltaici agrivoltaici, nel territorio comunale di Montenero di Bisaccia (CB), Regione Molise, denominati **Montenero di Bisaccia 1** (di seguito **MdB 1**) e **Montenero di Bisaccia 2** (di seguito **MdB 2**), della potenza complessiva di 19,5456 MWp. In relazione a tali parchi fotovoltaici agrivoltaici, il *Proponente* ha in progetto la realizzazione di opere di collegamento alla RTN (di seguito *opere di connessione*):

- cavo interrato in media tensione (tensione di esercizio di 30 kV) che collegherà MdB 1 a MdB 2, lungo circa 1,65 km, ricadente nel territorio comunale di Montenero di Bisaccia (di seguito cavidotto MT B) che si allaccia alla cabina di ricezione CR-A situata all'interno dell'area 2 in MdB 2;
- cavo interrato in media tensione (tensione di esercizio di 30 kV), lungo circa 9,22 km, che collegherà la suddetta cabina di ricezione al Punto di Raccolta "Masseria Murazzo", nel territorio comunale di Montecilfone a meno di un brevissimo passaggio nel territorio comunale di Guglionesi, sempre Provincia di Campobasso (di seguito *cavidotto MT A*);

	Studio di compatibilità idrogeologica	Foglio 4 di Fogli 57
<b>v</b> ∙ridium	Impianto agrivoltaico Montenero di Bisaccia 19.5	Dottor Geologo Di Berardino Giancarlo Rocco
		04/2023

- stazione elettrica 150 kV denominata Punto di Raccolta "Masseria Murazzo" (di seguito **PR Masseria Murazzo**), all'interno del Comune di Montecilfone;
- linea interrata AT 150 kV di collegamento tra **PR Masseria Murazzo** e la SE 380/150 kV di Terna (di seguito **collegamento**);
- SE 380/150 kV di Terna denominata "Montecilfone" (di seguito **SE Terna**), ancora in agro di Montecilfone;
- raccordi linea AT dalla **SE Terna** alla RTN, che si sviluppano inizialmente in territorio di Montecilfone e poi di Palata (di seguito *raccordi*).

Titolo del progetto: "MONTENERO DI BISACCIA 19.5" (di seguito *Progetto*). L'*iter* procedurale per l'ottenimento dei permessi alla realizzazione del progetto prevede la trasmissione, da parte del *Proponente*, di diversi elaborati ad Enti di competenza per l'acquisizione delle autorizzazioni. Tra i diversi studi da esibire, vi è anche il presente elaborato "Studio di compatibilità idrogeologica" (di seguito *studio*).

#### 1.1 SCOPO DEL DOCUMENTO

La stesura dello **studio** è necessaria in quanto una porzione di progetto (in corrispondenza di un tratto di **cavidotto MT A** nei pressi del paese di Montecilfone) interferisce con area classificata a pericolosità moderata (PF1) sulle mappe del PAI, Piano Stralcio di bacino per l'Assetto Idrogeologico; l'Ente territoriale competente per quanto attiene ai vincoli di carattere idrogeologico e idraulico è la Struttura dell'Autorità Distrettuale dell'Appennino Meridionale afferente ai bacini idrografici dei fiumi Trigno, Biferno e Minori, Saccione e Fortore (ex Autorità di Bacino dei fiumi Trigno, Biferno e Minori, Saccione e Fortore), di seguito **AdB**. In particolare, in base a quanto indicato dalla cartografia PAI (Piano di stralcio Assetto Idrogeologico) "Pericolosità da Frana e da Valanga" dell'**AdB**, lungo il tracciato di connessione MT, un tratto di **Progetto** è vincolato da pericolosità moderata che interessa una parte di viabilità e una porzione di versante verso valle.

Lo *studio* è redatto nello spirito degli artt.27 (Aree classificate a pericolosità moderata PF1) e 28 (Realizzazione di opere pubbliche e/o dichiarate di pubblico interesse) del documento "NORME DI ATTUAZIONE – assetto idraulico e assetto di versante" (di seguito **norme**) per il Bacino Regionale del Fiume Biferno e Minori, UoM (Unit of Management) all'interno della quale ricade il progetto (ITR141 – UoM Regionale Molise Biferno e minori). L'art.12 "Razionalizzazione e semplificazione delle procedure autorizzative" del D.Lgs.387/2003 recita al comma 1: [*Le opere per la realizzazione degli impianti alimentati da fonti rinnovabili, nonché le opere connesse e le infrastrutture indispensabili alla costruzione e all'esercizio degli stessi impianti, autorizzate ai sensi del comma 3, sono di pubblica utilità ed indifferibili ed urgenti]. Dunque, il Progetto riguarda opere di pubblica utilità indifferibili ed urgenti. Per tale motivo, ai sensi del succitato art.28 delle norme, la realizzazione del Progetto (nella fattispecie il tratto di cavidotto MT A interferente con la zona PF1) è consentita, previa acquisizione del parere favorevole del Comitato Tecnico dell'AdB a valle dello studio, a patto che essa:* 

- 1. sia un servizio essenziale non delocalizzabile;
- 2. non pregiudichi la realizzazione degli interventi del PAI;
- 3. non concorra ad aumentare il carico insediativo;
- 4. avvenga con idonei accorgimenti costruttivi;
- 5. risulti coerente con le misure di protezione civile di cui alle **norme** del PAI e ai piani comunali di settore.

	Studio di compatibilità idrogeologica	Foglio 5 di Fogli 57	
<b>v</b> ·ridium	Impianto agrivoltaico Montenero di Bisaccia 19.5	Dottor Geologo Di Berardino Giancarlo Rocco	
		04/2023	

Analizzando i 5 punti precedenti, si riporta quanto segue:

- la realizzazione del *Progetto* è "di pubblica utilità, urgente ed indifferibile"; circa la sua eventuale delocalizzazione in riferimento alle aree pericolose del PAI, viene prodotto apposito studio di compatibilità idrogeologica (*studio*) per mostrare la compatibilità tra *Progetto* e vincoli PAI;
- 2. nell'area qui vincolata dal PAI, non sono previsti interventi (in base al documento "Programma prioritario degli interventi strutturali Relazione R02" allegato al PAI del Bacino Regionale del Fiume Biferno e minori);
- 3. la presenza del *cavidotto MT A* non aumenta in alcun modo il carico insediativo nella zona PF1 qui interferente;
- 4. tutte le opere relative al progetto sono realizzate attraverso idonee ed adeguate tipologie costruttive, secondo i più recenti standard;
- 5. la realizzazione del tratto di *cavidotto MT A* di cui allo *studio* non pregiudica in alcun modo i piani di protezione civile di cui all'art.31 delle **norme**.

Per concludere, lo **studio** è redatto al fine di dimostrare la compatibilità idrogeologica tra la realizzazione del **cavidotto MT A** e l'area PF1 del PAI con la quale interferisce, subito ad Ovest del centro abitato di Montecilfone, lungo la Strada Statale N.483 Termolese. A tale scopo, a valle di ogni informazione e considerazione, vengono quantificati i fattori di sicurezza di n.2 profili morfostratigrafici (A-A' e B-B') lungo i quali il **cavidotto MT A** si sovrappone all'area PF1 del PAI. Per il posizionamento delle due sezioni, si rimanda all'allegato FV19Mb\_14 in calce allo **studio**.

### 1.2 REGIME VINCOLISTICO

Circa il quadro vincolistico sovraordinato all'area di interferenza tra *cavidotto MT A* e area PF1 del PAI, si riportano i seguenti vincoli di carattere idrogeologico (tabella sotto):

TIPOLOGIA VINCOLISTICA	Р	Α
PAI (Pericolosità da Frana e da Valanga) – Pericolosità estremamente elevata PF3		
PAI (Pericolosità da Frana e da Valanga) – Pericolosità elevata PF2		
PAI (Pericolosità da Frana e da Valanga) – Pericolosità moderata PF1		
Vincolo Idrogeologico (RD3267/23)		

Tabella 1-1: P - vincolo presente; A - vincolo assente.

Ciò, a ribadire quanto riportato finora. Di seguito, un fuoriscala della zona vincolata dal PAI (figura sotto), con simbologia su stralcio ortofotocarta.

	Studio di compatibilità idrogeologica	Foglio 6 di Fogli 57	
<b>v</b> ∙ridium	Impianto agrivoltaico Montenero di Bisaccia 19.5	Dottor Geologo Di Berardino Giancarlo Rocco	
		04/2023	

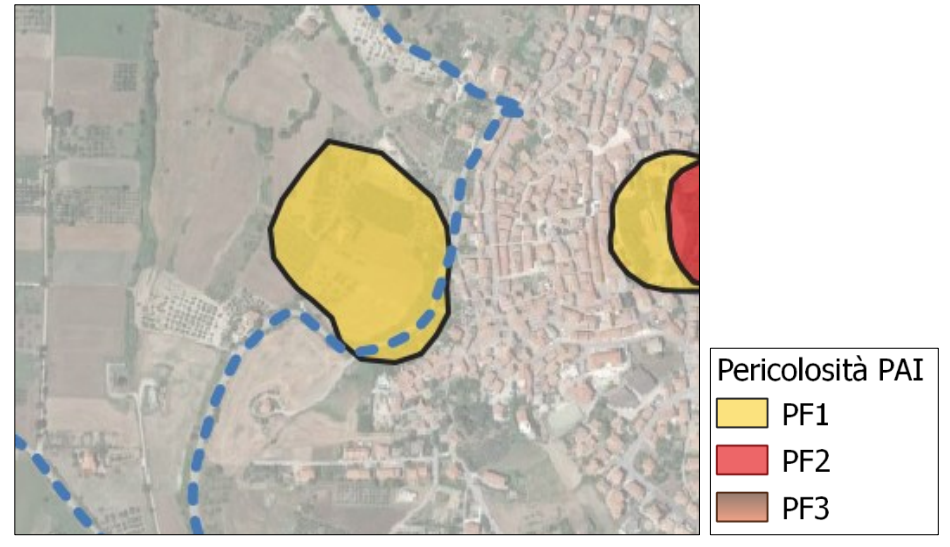


Figura 1-1: in tratteggio ciano, il cavidotto MT A. E' ben evidente la sovrapposizione sul vincolo PF1 del PAI, pericolosità da frana moderata. La base dell'immagine è uno stralcio di ortofotocarta fuori scala.

#### 1.3 UBICAZIONE DELL'AREA DI PROGETTO

I parchi FV AV in predicato di realizzazione si inseriscono all'interno di una superficie catastale complessiva (Superficie Disponibile) di circa 28,59 ettari complessivi (somma di MdB 1 e MdB 2). Di questa superficie totale a disposizione del Proponente, una parte sarà recintata (circa 19,30 ettari totali) e occupata dai parchi FV AV (Superficie Occupata), vale a dire vele fotovoltaiche e strutture di supporto, cabine e strumentazione che costituiscono concretamente l'opera, fascia di mitigazione, viabilità interna, per un totale di 9,8 ettari; la restante parte manterrà lo status quo ante. I siti che accolgono i parchi FV AV si trovano nel territorio comunale di Montenero di Bisaccia (CB), nel settore Nord-orientale della regione Molise. Il cavidotto MT B percorre circa 1,65 km nel territorio comunale di Montenero di Bisaccia, lasciandosi MdB 1 alle spalle e proseguendo da Ovest ad Est raggiungendo MdB 2; da qui, il cavidotto MT A percorre circa 9,22 km interamente nel territorio comunale di Montecilfone, a meno di un breve passaggio nel Comune di Guglionesi, lasciandosi alle spalle MdB 2 (viaggiando in tratta comune per circa 250 m con il cavidotto MT B) e terminando all'interno del PR Masseria Murazzo. La SE Terna verrà realizzata ancora nel territorio di Montecilfone, immediatamente a Sud-Est del PR Masseria Murazzo. Infine ci sono i raccordi, i quali si sviluppano nel territorio comunale di Palata dopo un breve tratto iniziale all'interno di Montecilfone. Le zone sono raggiungibili percorrendo l'autostrada A14 Adriatica Bologna - Taranto fino all'uscita Termoli; si prosegue sulla SS87 verso Campobasso - Larino, quindi sulla SP87 e successivamente sulla SS483 per Guglionesi; raggiunto Guglionesi, si prosegue sulla SP124 in direzione Nord e quindi sulla Strada di bonifica per Montecilfone fino a Montecilfone Sud e quindi sulla Strada della Guardata per raggiungere Montecilfone Nord. Le tavolette in scala 1:5.000 (CARTA TECNICA REGIONALE - REGIONE MOLISE) di riferimento sono: per il Comune di Montecilfone la 381062, la 381073, la 381074 e la 381101, per il Comune di Montenero di Bisaccia la 381022 e la 381033. Di seguito, un estratto fuori scala dall'originale 1:5.000 da CTR regionale (Figura 1-2). Per la topografia di dettaglio si rimanda alla cartografia allegata allo studio.



Studio	di	com	patibilità	idroge	ologica

Foglio 7 di Fogli 57

Impianto agrivoltaico Montenero di Bisaccia 19.5

Dottor Geologo Di Berardino Giancarlo Rocco

04/2023

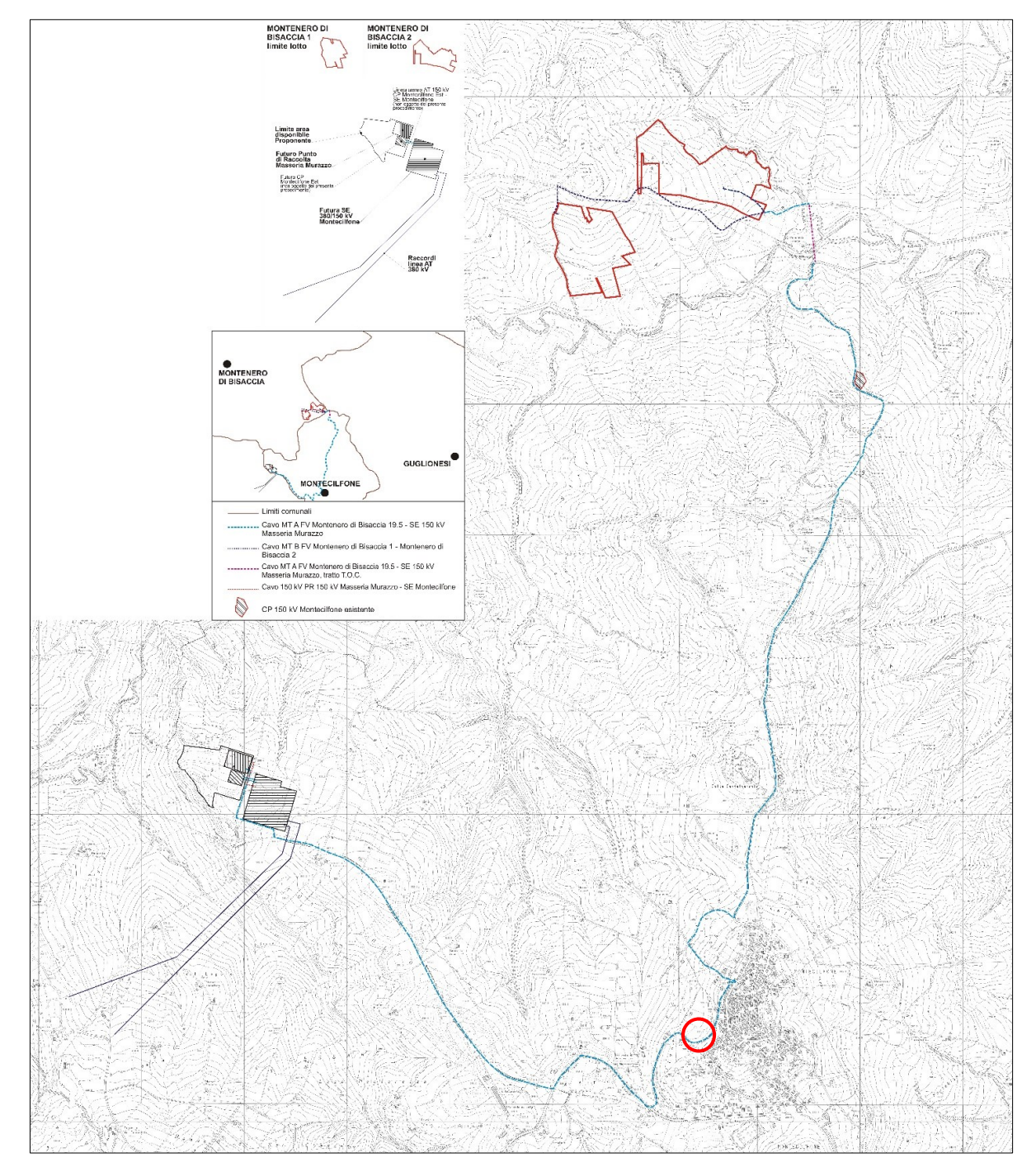


Figura 1-2: l'intero progetto, che si sviluppa sostanzialmente nei Comuni di Montecilfone e Montenero di Bisaccia e, marginalmente, Guglionesi e Palata. Cerchiata in rosso, l'area di interferenza tra il cavidotto MT A ed il graficismo PF1 del PAI, per la quale è resa necessaria la stesura dello studio.

## 2.0 ANALISI GEOLOGICA, GEOMORFOLOGICA E IDROGEOLOGICA

## 2.1 GEOLOGIA GENERALE E LOCALE

**In una visione di ampio respiro**, i siti d'interesse ricadono all'interno del dominio tettono-sedimentario dei depositi dell'Avanfossa pliocenica e pleistocenica (Successione del Pleistocene inferiore pp. e del Pliocene



	Studio	di	com	patibilità	idroged	ologica
--	--------	----	-----	------------	---------	---------

Impianto agrivoltaico Montenero di Bisaccia 19.5

Foglio 8 di Fogli 57

Dottor Geologo Di Berardino Giancarlo Rocco

04/2023

superiore), dei Bacini di top-thrust, delle Unità Sicilidi e Unità Molisane di FESTA, GHISETTI & VEZZANI (2004). Le unità dell'avanfossa sulle quali ricade parzialmente MdB 2, nell'area di studio, si trovano immediatamente al fronte di un sistema a pieghe e sovrascorrimenti che propone all'hanging-wall i depositi di top-thrust e delle molisane con scollamenti che propongono la presenza delle sicilidi (Argille scagliose o Argille varicolore AUCTT.). Le Unità Molisane costituiscono un sistema di strutture tettoniche Est-vergenti sviluppate lungo una fascia orientata NO-SE ed estese dai M. Frentani in Molise ai M. della Daunia in Puglia, alla dorsale dei Flysch esterni in Basilicata (CELLO ET ALII, 1987; BUTLER ET ALII, 2004); lungo questo fascio di strutture affiora essenzialmente la porzione terziaria di una successione originariamente ubicata ad Est della piattaforma carbonatica Campano-Lucana ed interpretata da OGNIBEN (1969) come il tetto stratigrafico della successione calcareo silico-marnosa del Bacino Lagonegrese (FESTA, GHISETTI & VEZZANI, IBIDEM). L' Unità dei Monti della Daunia è quella molisana più esterna che affiora in posizione basale lungo il fronte esterno della Catena appenninica, dove è spesso associata al Mélange tettonico dei M. Frentani; anche questa unità è scollata a livello dell'alternanza delle argille policrome e di calcareniti torbiditiche di età Miocene inferiore-Oligocene (Flysch rosso) (CIPOLLARI & COSENTINO, 1995; BUTLER ET ALII, IBIDEM). Questa formazione basale dell'Unità dei Monti della Daunia, costituita da un'alternanza in livelli centimetrici di argille marnose, marne argillose da rosso violacee a verdi, e radiolariti passa stratigraficamente verso l'alto (Casacalenda, Dogliola) alle quarzareniti gialle del Flysch Numidico, di età Langhiano-Burdigaliano, a sua volta seguito dalla Formazione Faeto (CROSTELLA & VEZZANI, 1964). La successione dell'Unità dei M. della Daunia passa verso l'alto alla Formazione di Vallone Ferrato, costituita da marne argillose grige con intercalazioni di arenarie, di età Messiniano-Tortoniano. Nella zona di Tavenna, Dogliola e Montemitro questa successione marnosa si chiude verso l'alto con un'alternanza torbiditica argilloso-arenacea, di età Messiniano (FESTA, GHISETTI & VEZZANI, IBIDEM). Tutto ciò è il risultato di una vivace tettonica di età neogenico-quaternaria che ha interessato l'area molisana con cinematismi di raccorciamento che giustappongono alcune tra le principali unità tettono-stratigrafiche dell'orogeno (DI BUCCI ET ALII, 1999). Localmente, facendo riferimento a quanto riportato in FESTA, GHISETTI & VEZZANI (IBIDEM) MdB 2 farebbe parte del dominio ascritto alla molassa pelitica delle Argille grigio-azzurre di CRESCENTI (1971), Formazione 2, e parzialmente ricadrebbe all'interno della Successione di Palombaro, Casalanguida e Larino (4b); MdB 1 rientrerebbe quasi totalmente all'interno della Formazione Argille scagliose (16) mentre la porzione marginale settentrionale nella summenzionata formazione 4b. Le opere di connessione si troverebbero principalmente in corrispondenza dei depositi sovrascorsi come da successiva Errore. L'origine riferimento non è stata trovata..

A valle dei dati pregressi, di quanto rilevato direttamente in campagna e di quanto letto nel documento "STAZIONE ELETTRICA DI MONTECILFONE (CB) – RELAZIONE DI FATTIBILITA' GEOLOGICA GEOTECNICA E SISMICA" a firma del Dottor Geologo Gennaro Carlone (2010), redatta in merito al progetto di realizzazione della SE Terna stessa e basata su indagini in situ e prove di laboratorio, i parchi FV AV insistono quasi totalmente sui terreni della Successione 4b; per il resto, è possibile affermare che la situazione corrisponde in buona sostanza a quanto indicato dalla bibliografia. La geologia di dettaglio è portata all'attenzione nella Carta Geologica originale in calce allo studio; si premette che un certo spessore di coltre eluvio-colluviale è presente sulla gran parte del territorio.



Foglio 9 di Fogli 57

# Impianto agrivoltaico Montenero di Bisaccia 19.5

Dottor Geologo Di Berardino Giancarlo Rocco

04/2023



Depositi fluviali; 1t. Depositi alluvionali terrazzati; 1l. Depositi lacustri; 1fl. Depositi fluvio-lacustri; 1b. Depositi glacio-nivali, fluvio-glaciali e morenici; 1s. Depositi delle piane costiere; 1a. Detriti di falda; 1e. Coltri eluvio-colluviali; tr. Terre rosse; tv. Travertini.
 Olocene - Pleistocene superiore.

#### DISCONTINUITÀ STRATIGRAFICA

#### 1. AVANFOSSA PLIO-PLEISTOCENICA



Ciclo trasgressivo-regressivo del Pleistocene inferiore p.p. - Pliocene superiore. Prevalenti argille azzurre con locali lenti di sabbie gialle nel livelli inferiori (b, Colle Ramignano a Sud di Cupello), passanti gradualmente verso l'alto a sabbie e conglomerati regressivi con facies da deltizie a continentali (a, Petacciato, Termoli, Campomarino, S. Martino in Pensilis, Portocannone, Guglionesi). Zone a Hyalinea balthica ed a G. inflata. Spessore complessivo: > 1000 m. Pleistocene inferiore p.p. - Pliocene superiore p.p.

#### DISCORDANZA REGIONALE

#### 2. BACINI TOP-THRUST



Successione di Palombaro, Casalanguida e Larino. Calcareniti organogene, conglomerati e sabbie giallastre talora glaucontitiche con lenti di microconglomerati (a) passanti verso l'alto e lateralmente ad argille marnose azzurre (b) con microfaune della zona a C. puncticulata ed a C. margaritae. Nel settore tra il F. Sangro ed il F. Sinello seguono in continuità stratigrafica verso l'alto argille sillose e marne argillose grigio-biancastre (c) con microfaune della zona a C. crassaformis. Spessore complessivo: > 600 m. A sud-est di Palena, in località Colle Perrone, sono presenti conglomerati poligenici anche con clasti cristallini, in alternanza con sabbie e argille (a). Spessore: 40-50 m. Zona a G. margaritae. Calcarentiti organogene e sabbie glauconitiche in strati di 10-15 cm, con livelli di microconglomerati ad elementi di derivazione sicilide (a, Roccascalegna), passanti verso l'alto ad argille siltose azzurre (b). Microfaune della zona a G. margaritae (Pennadomo) ed a Sphaeroidinellopsis spp. (Roccascalegna e Fonte Calderali nei pressi di Torricella Peligna). Calcareniti con intercalazioni di conglomerati poligenici in bancate metriche a clasti in prevalenza calcarei, ma anche di quarzo di derivazione numidica e con quarziti da affinità sicilide (a, M. Miglio). Spessore: 100-200 m. Pliocene medio - Pliocene inferiore.



Gessi di Gessopalena. Gessi e conglomerati calcarei ad abbondante matrice arenacea, a clasti arrotondati, con intercalazioni di argille griglo-oliva (S. Agata, ad Ovest di Gessopalena) con microfaune a Sphaeroidinellopsis spp. Spessore: 150-200 m. Pliocene inferiore basale-Messiniano superiore. Successione clastico-evaporitica del M. Frentani. Conglomerati ad elementi gessosi passanti verso l'alto a gessareniti ed a gessosilitti (Fonte dell'Olmo in sinistra del F. Treste). Spessore: 40-50 m. Pliocene inferiore? - Messiniano superiore. Separati da un'incerta discordanza angolare, appoggiano su gessareniti e gessoruditi con intercalazioni di gessosilitti in strati da qualche cm a 1-2 m, con alla base argille bituminose nerastre con associazioni oligotipiche a soli foraminiferi planctonici. Spessore: 50-60 m. Localmente (Gissi, Lentella) prevalgono gessi selentitici in alternanza con gessosilitti in lamine millimetriche e gessi a struttura nodulare passanti verso il basso a marne diatomitiche brune con microfaune in prevalenza planctoniche a frequente Orbulina universa, e con Clobigerina quinqueloba. Spessore: 70-120 m. Messiniano.

#### CONTATTO DI SOVRASCORRIMENTO

#### 4. UNITÀ SICILIDI

#### SCOLLAMENTO TETTONICO



Argille scagliose. Mélange tettonico costituito da prevalenti argille e argille marnose di colore da rosso-violaceo a grigio-verdastro a struttura caotica con intercalazioni da centimetriche a decametriche di calcari micritici bianco-verdognoli tipo "Alberese", calcari siliciei, quarzosilitti azumo-verdastre, radiolariti rosso-verdi, e con blocchi cartografabili di calcareniti a Pectinidi e Litotamni e di calcari a Rudiste (a). Le porzioni stratigraficamente più alte di questo mélange tettonico sono costituite da estesi volumi di Argille vari colori di età Oligocene-Miocene inferiore, confrontabili per facies ed età con le formazioni 44 e 48 sviluppate alla base delle Unità Molisane. Lungo il fronte esterno della catena appenninica tra Palombaro, Atessa, Montenero di Bisaccia e Guglionesi la formazione delle Argille scagliose si presenta intensamente caoticizzata e costituisce la matrice di un mélange tettonico con blocchi di diversa dimensione di gessi, calcari evaporitici messinani, calcarentiti a macroforaminiferi mioceniche e argille e calcarentiti plioceniche. Si tratta di affioramenti tettonicamente associati con strutture di duplex alla unità molisana dei M. della Daunia a costituire le porzioni più profonde e frontali della catena appenninica. Spessore stratigrafico non definibile; spessore tettonico fino ad alcune migliaia di m. Miocene inferiore-Cretaceo superiore.

#### CONTATTO DI SOVRASCORRIMENTO

#### 7. UNITÀ MOLISANE

#### CONTATTO DI SOVRASCORRIMENTO



Unità dei Monti della Daunia

Formazione di Vallone Ferrato. Marne e marne argillose grigie, spesso laminate, cor rare e sottili intercalazioni di arenarie e siltiti giallastre. Foraminiferi planctonici della zo-

rare e sottili intercalazioni di arenarie e siltiti giallastre. Foraminiferi planctonici della zona a *Globorotalia acostaensis*. Spessore 350-400 m. *Messiniano-Tortoniano*. Nella zona tra Tavenna e Montemitro la formazione passa verso l'alto ad una alternanza torbiditica arenaceo-argillosa (a). Spessore: 500–600 m. *Messiniano*.



Formazione Faeto. Calcari marnosi e marne bianche con sottili intercalazioni di biocalcareniti e di calciruditi torbiditiche. Alla base sono presenti grossi banchi di torbiditi calcarenitiche e calciruditiche, con sottili intercalazioni di marne chiare. Spessore: 300-400 m. Tortoniano - Serravalliano.

_	_	•			m
	. r	'   /	$\sim$ 1		m
	•	- 1 (		u	
	-	-			

Studio di compatibilità idrogeologica	Studio	di com	patibilità	idroged	logica
---------------------------------------	--------	--------	------------	---------	--------

Foglio 10 di Fogli 57

Impianto agrivoltaico Montenero di Bisaccia 19.5

Dottor Geologo Di Berardino Giancarlo Rocco

04/2023

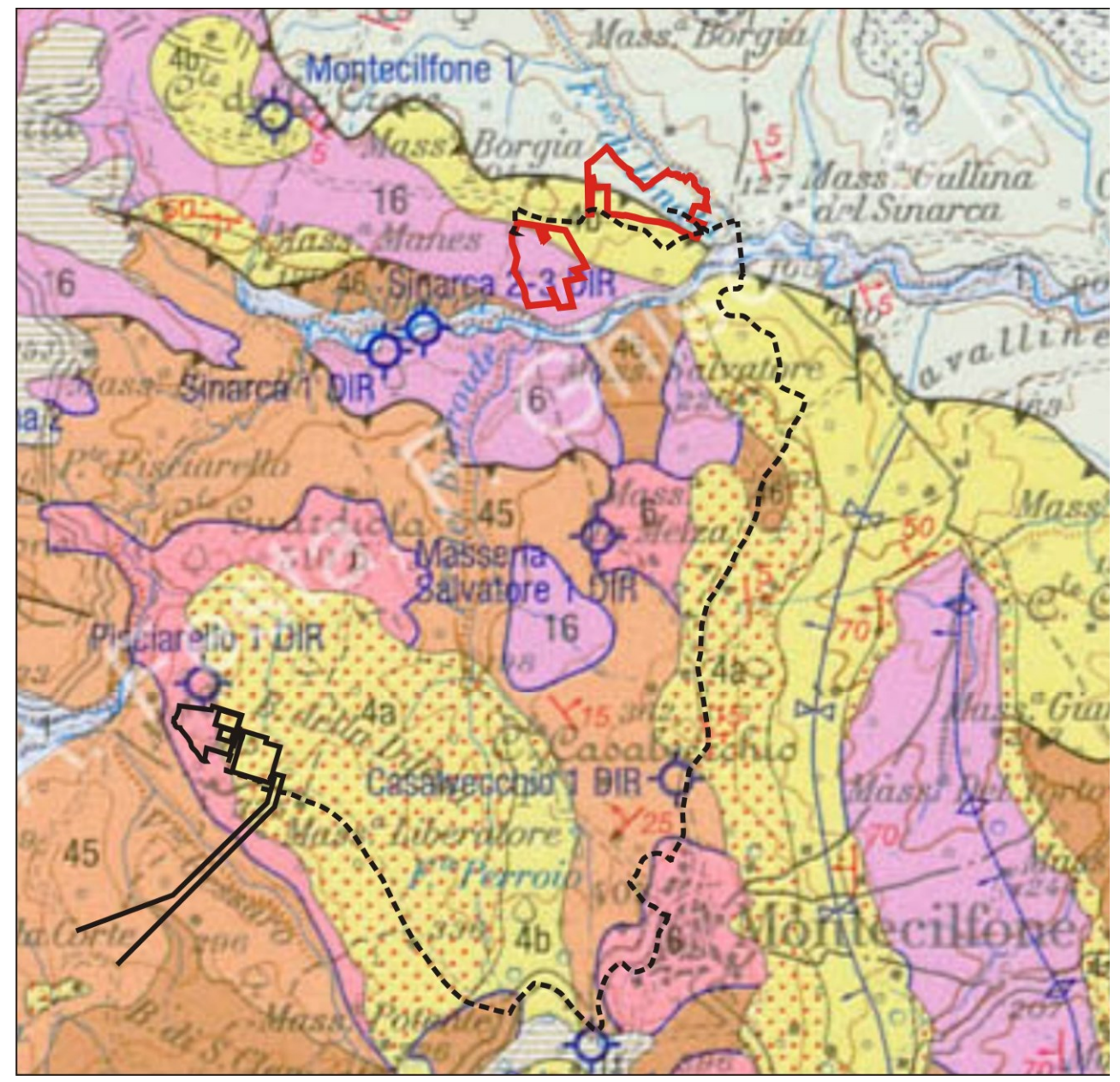


Figura 2-1: stralcio fuori scala dall'1:100.000 originale di FESTA, GHISETTI & VEZZANI (2004). In rosso, i parchi FV AV; in nero, le opere di connessione.

## 2.2 GEOMORFOLOGIA

In linea generale, il territorio in cui si inseriscono i parchi FV AV e le opere di connessione è caratterizzato da pendenze molto blande dirette verso i quadranti orientali: ciò è desumibile da una analisi delle mappe topografiche. Nel documento "Caratterizzazione geologico-ambientale del territorio molisano e delle unità territoriali (macro-aree) individuate" (UNIVERSITÀ DEGLI STUDI DEL MOLISE, 2014), l'area in cui ricade il Progetto viene definita Fascia costiera ed è dominata da dorsali poco acclivi ad eccezione del rilievo di M. Capraro (369 m) nei pressi di Guglionesi. Il territorio risulta modellato nei terreni argillosi, in genere piuttosto stabili che si raccordano con ampie aree pianeggianti; nell'area affiorano anche depositi dell'avanfossa plio-pleistocenica a composizione argillosa e sabbioso-ghiaioso-conglomeratica e depositi



Studio	di	com	patibilità	idroge	ologica

Impianto agrivoltaico Montenero di Bisaccia 19.5

Foglio 11 di Fogli 57

Dottor Geologo Di Berardino Giancarlo Rocco

04/2023

sabbiosi lungo le piane costiere. I processi morfogenetici predominanti sono costituiti da una serie di fenomeni franosi sia lenti che rapidi come scorrimenti, scivolamenti, colamenti e fenomeni complessi come la frana di Petacciato, spesso in stretta interazione con i processi di erosione idrica. Mentre, in corrispondenza delle posizioni più sommitali o lungo i versanti si sviluppano fenomeni superficiali quali *creep* e soliflusso, nonché limitati movimenti in massa superficiali lenti legati all'azione delle acque incanalate. Questi processi si rinvengono anche lungo la fascia costiera adriatica a quote tra i 50 e 200 m e sono di origine fluviomarina, legati ad oscillazioni glacio-eustatico e tettoniche quaternarie del livello del mare.

Di seguito, *in dettaglio*, il contesto geomorfologico relativo alle *opere di connessione* (si veda la cartografia in calce allo *studio*).

I tracciati dei cavidotti si snodano all'interno del paesaggio descritto in premessa del presente paragrafo. In particolare, il cavidotto MT B non intercetta alcun tipo di fenomeno di versante o alcun tipo di processo legato alle di scorrimento superficiali, le quali esplicano la propria attività, in corrispondenza del tracciato, unicamente attraverso il normale dilavamento diffuso superficiale. Circa il cavidotto MT A, in relazione ai fenomeni di versante, la porzione meridionale del tracciato, subito ad Ovest del centro abitato di Montecilfone, passa in sovrapposizione ad una estesa zona indicata a pericolosità PF1 del PAI: in tale zona a pericolosità moderata non è stata rinvenuta alcuna frana; la strada non presenta segni di danneggiamento e/o avvallamenti riconducibili a porzioni in dissesto; tutt'al più potrebbero essere presenti segni di soliflusso ma ben distanti dalla zona della viabilità dove insisterà il tracciato, deboli segni di soliflusso distanti almeno 250 m più a valle nel versante, per cui del tutto privi di qualsiasi tipo di interferenza con il progetto. Circa 350 m a Sud di Masseria Rocci, il tracciato lambisce una estesa zona a pericolosità da frana PF1, dunque moderata, ma non interferisce con essa. Tale pericolosità non è correlabile a processi franosi o deformativi in base a quanto osservato sul terreno: si ha un versante uniforme con blanda pendenza verso Est-Sudest e non sono presenti frane e/o soliflussi. In merito ai processi legati alle acque superficiali, la prima parte del tracciato MT A, procedendo da Ovest verso Est, intercetta il corso del Fosso di Ionata prima e il corso del Sinarca, con la sua piana alluvionale, poi; il PAI ed il PGRA indicano la presenza di tutti i livelli di pericolosità. Tuttavia il passaggio del cavidotto MT A non interferirà di fatto con alcuna pericolosità: come descritto in precedenza, lo scavo con ritombamento e staffatura su ponte carrabile (in corrispondenza dei vincoli su Fosso di Ionata) e l'attraversamento del Torrente Sinarca tramite una Trivellazione Orizzontale Controllata (T.O.C.), con i punti di innesto della trivellazione ubicati a Nord e a Sud del corso d'acqua ed esternamente ai vincoli di pericolosità idraulica, garantiranno una interferenza soltanto planimetrica, su carta, con i vincoli idraulici PAI e PGRA, ma in realtà non ci sarà alcun tipo di interazione tra i cavi e le normali dinamiche morfoevolutive dei due corsi d'acqua i.e. pericolosità ad esse associabili. Si aggiunge quanto segue:

- lo scavo a cielo aperto con ritombamento, in corrispondenza dei vincoli P1 e P2 ai lati di Fosso di lonata, avviene lungo la strada asfaltata principale del fondovalle (**Figura 2-2**);
- la medesima strada si trova oltre un paio di metri al di sopra della piana alluvionale e ancor di più dall'alveo del piccolo fosso (Figura 2-3);
- ai lati del piccolo canale insiste una vegetazione ripariale molto fitta e rigogliosa la quale indica una minima attività idraulica (piene molto limitate nel tempo e di entità trascurabile) e protegge le pareti della vallecola da fenomeni erosivi (**Figura 2-4**);
- in ragione di quanto su descritto, non occorre studio di compatibilità dedicato che dettagli più approfonditamente il contesto idrologico-idraulico dei luoghi in riferimento al progetto di posa in opera.

¥.		•		•				
V	r	1	$\boldsymbol{\Box}$	П		r	Y	٦
			u		u			

Studio di compatibilità idrogeologio	Studio d	di compatibilità	à idrogeologic
--------------------------------------	----------	------------------	----------------

Foglio 12 di Fogli 57

Impianto agrivoltaico Montenero di Bisaccia 19.5 Dottor Geologo Di Berardino Giancarlo Rocco

04/2023



Figura 2-2: strada asfaltata (zona vincolata P1 e P2 da PAI e PGRA con stretta fascia centrale P3 in corrispondenza del ponticello), lungo cui avverrà la posa del cavidotto MT A tramite scavo a cielo aperto e ritombamento e staffatura.



Figura 2-3: Fosso di Ionata, all'interno del proprio alveo, quasi tre metri al di sotto della strada asfaltata. La piana aluvionale è poco più elevata, oltre le piccole scarpate rese invisibili dalla vegetazione che le protegge.

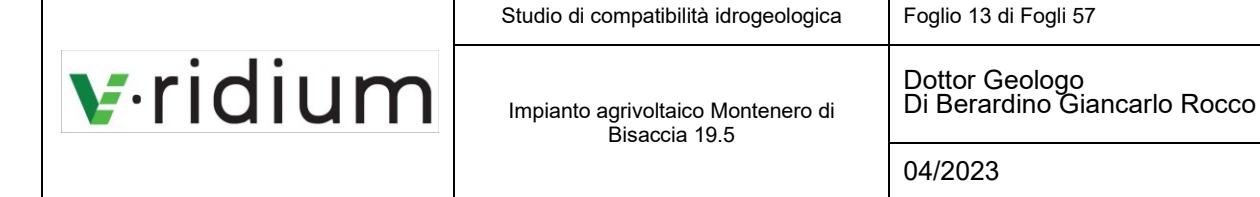




Figura 2-4: si noti la vegetazione ripariale molto fitta e rigogliosa.

**PR Masseria Murazzo**, **collegamento** e **SE Terna** si trovano su aree subpianeggianti che non presentano alcun tipo di problematica. I **raccordi** verranno posati in opera tramite sostegni con interdistanza di circa 400 m; anch'essi si rinvengono su terreni scevri da problematiche di versante; la linea dei raccordi intercetta, anche qui soltanto su carta, sulle planimetrie di progetto, una stretta fascia di pericolosità P2 del PGRA: di fatto, la posa in opera dei sostegni (tralicci) avverrà esternamente a tale fascia (in destra e sinistra idrografica) e i **raccordi** non interferiranno nella realtà con alcun tipo di pericolo di natura idraulica.

#### 2.3 IDROGEOLOGIA

A grande scala, l'area di progetto appartiene a ciò che Celico *et alli* (1978) e Celico (1983) definiscono *Complesso argilloso – sabbioso – conglomeratico* e *Calcareo – silico – marnoso*. Per la prima unità idrogeologica, si tratta sostanzialmente delle argille e sabbie marine periadriatiche plio-pleistoceniche (i *Depositi pelitici di avanfossa del Plio-Pleistocene* di Desiderio & Rusi, 2004) e dei conglomerati fluviali quaternari: possiedono una permeabilità per porosità variabile, da bassa a media, in relazione alla granulometria dei depositi. Per la seconda unità, si hanno generalmente termini prevalentemente impermeabili. I domini idrogeologici delle aree collinare e di piana alluvionale della regione molisana sono rispettivamente costituiti da marne argillose, arenarie, conglomerati e argille delle unità plio-pleistoceniche e da sabbie, ghiaie ed argille continentali, delle alluvioni terrazzate delle pianure alluvionali; nella zona collinare si individuano sorgenti a regime perenne ricaricati essenzialmente dalle acque meteoriche (NANNI & VIVALDA, 1986); le pianure alluvionali, in tutto il settore Adriatico centrale, dalle Marche al Molise, sono generalmente impostate su linee tettoniche trasversali che ne hanno fortemente condizionato l'evoluzione pleistocenica (NANNI & VIVALDA, 1987; BIGI *ET ALII*, 1997); sono costituite da corpi lenticolari ghiaiosi, ghiaioso-sabbiosi e da lenti variamente estese di depositi fini limo-sabbiosi e limoso-argillosi il cui spessore varia sensibilmente nelle diverse pianure e nell'Abruzzo meridionale e nel Molise, a sud della linea Aventino-

	Studio di compatibilità idrogeologica	Foglio 14 di Fogli 57	
<b>y</b> ∙ridium	Impianto agrivoltaico Montenero di Bisaccia 19.5	Dottor Geologo Di Berardino Giancarlo Rocco	
	Disaccia 15.5	04/2023	

Sangro (Majella), l'aquiclude plio-pleistocenico è sostituito o si inframmezza alle argille e marne della colata gravitativa (DESIDERIO & RUSI, *IBIDEM*).

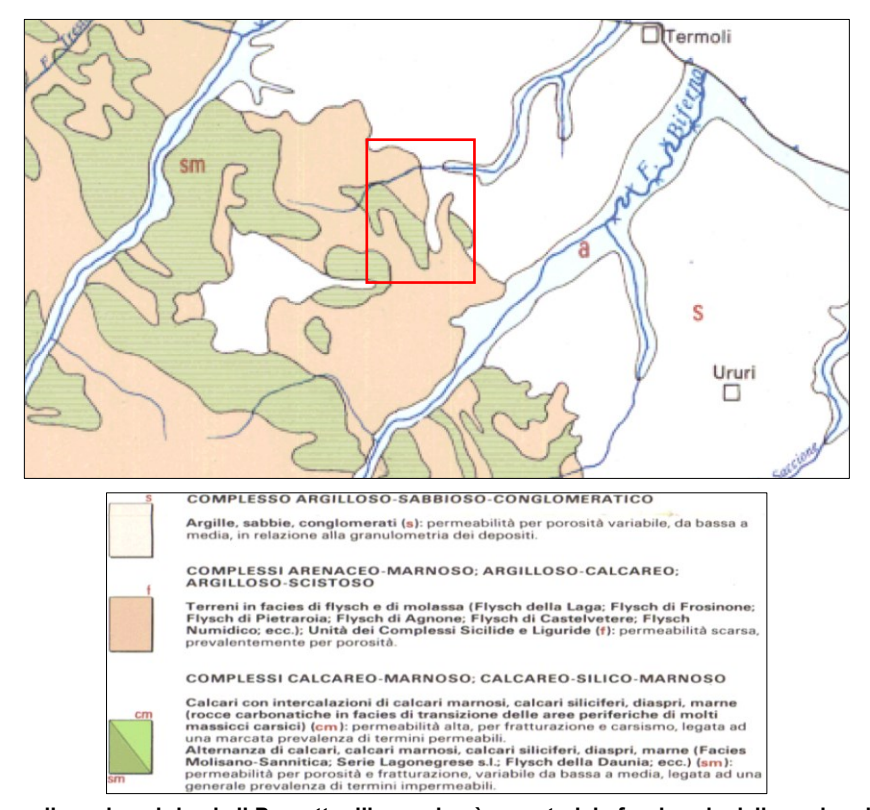


Figura 2-5: in rosso, l'area in cui ricade il Progetto; l'immagine è uno stralcio fuori scala dalla scala originale 1:400.000 (Celico, 1983).

In dettaglio, in corrispondenza dei parchi FV AV ed in corrispondenza della porzione meridionale del tracciato del cavidotto MT A, in base ai risultati delle indagini portati all'attenzione nel documento "RELAZIONE GEOLOGICA" e relativi ALLEGATI, non è presente falda in sottosuolo fino alle profondità investigate e neppure a quote inferiori, data la presenza del substrato marino impermeabile. Nel documento a firma del collega Carlone, non si riferisce di falda in corrispondenza del sottosuolo che accoglierà PR Masseria Murazzo e la SE Terna; in base ai risultati delle prove di laboratorio, in particolar modo le analisi granulometriche e le percentuali litologiche dei vari componenti (che confermano sostanzialmente quanto rilevato sul terreno e sintetizzato nella Carta Geologica originale in calce allo studio), se ne può escludere la presenza e attribuire tutt'al più ai primi metri del profilo stratigrafico una certa capacità di assorbimento, in occasione delle piogge, ed imbibizione ma non quella di contenere acqua gravifica libera di circolare.

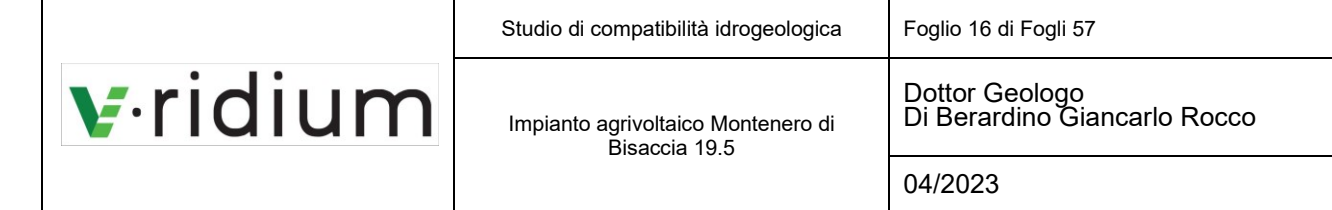
	Studio di compatibilità idrogeologica	Foglio 15 di Fogli 57
<b>v</b> ∙ridium	Impianto agrivoltaico Montenero di Bisaccia 19.5	Dottor Geologo Di Berardino Giancarlo Rocco
		04/2023

## 3.0 ANALISI GEOTECNICA

In base a quanto riportato nel documento "RELAZIONE GEOLOGICA" e relativi ALLEGATI, per l'area a pericolosità PF1, si può riportare il seguente modello di sottosuolo: fino alla quota di – 1 m da piano campagna sono presenti coltri eluvio-colluviali costituite da prevalenti limi, argille e sabbie, di colore marrone, contenenti una certa frazione di trovanti grossolani (clasti calcarei, arenacei e gessosi centimetrici) le quali coprono in discordanza una formazione gessosa clastico-evaporitica (*Successione clastico-evaporitica dei M. Frentani*) sostanziata da materiale lapideo non stratificato ad elementi gessosi e calcarei, gessareniti e gessosiltiti (**Figura 3-1**). Si puntualizza che nella *Carta geologica originale* in calce allo **studio** le coltri eluvio-colluviali sono state disegnate soltanto dove i loro spessori sono più o meno consistenti (nelle aree al piede dei versanti, dove i fossi le accumulano e nelle aree morfologicamente più "depresse"). Non è presente falda in sottosuolo.

Spessore	Orizzonte litologico	Valori caratteristici	Falda
Circa 1,0 m	Coltri eluvio-colluviali	$\gamma$ (t/mc <sup>3</sup> ) = 1,87 $\gamma_{sat}$ (t/m <sup>3</sup> ) = 1,99 c (kg/cm <sup>2</sup> ) = 1,51 c' (kg/cm <sup>2</sup> ) = 0,43 $\Phi$ ' (°) = 29,34 $E_{ed}$ (kg/cmq) = 65,64	ASSENTE
Svariati metri	Successione clastico- evaporitica dei M. Frentani	$\gamma$ (t/mc <sup>3</sup> ) = 2,28 $\gamma_{sat}$ (t/m <sup>3</sup> ) = 2,37 c (kg/cm <sup>2</sup> ) = 12,02 $\Phi'$ (°) = 43,00 $E_{ed}$ (kg/cmq) = 295,22	

Figura 3-1: colonnina litotecnica di sintesi per la zona di interferenza tra cavidotto MT A e zona PF1 del PAI.



## 4.0 ANALISI SISMICA

#### 4.1 INQUADRAMENTO MACROSISMICO

In relazione a quanto contenuto nelle **norme** (poi ripreso in sostanza dalle **nuove norme**), in particolare "ALLEGATO A ALLE NORME TECNICHE PER LE COSTRUZIONI: PERICOLOSITÀ SISMICA", in cui si riporta: [Allo stato attuale, la pericolosità sismica su reticolo di riferimento nell'intervallo di riferimento è fornita dai dati pubblicati sul sito http://esse1.mi.ingv.it/.], si è provveduto all'utilizzo della griglia in rete dell'INGV (Progetto DPC – INGV – S1), all'indirizzo http://esse1-gis.mi.ingv.it/. Dunque, sul reticolo di riferimento, sintetizzato dalla Mappa di pericolosità sismica del territorio nazionale (**Figura 4-1**), per l'area in cui ricade l'intero progetto si ha un valore di pericolosità di base ( $a_g$ ) all'interno dell'intervallo **0,125 g ≤ a\_g ≤ 0,175 g**, al 50° percentile, con probabilità di superamento del 10% in 50 anni, ovvero allo 0.0021 come frequenza annuale di superamento ed al corrispondente periodo di ritorno di 475 anni; tali condizioni al contorno rispettano la Zonazione MPS04 dell'INGV.

In base alla mappa della Presidenza del Consiglio dei Ministri, Dipartimento della Protezione Civile, Uff. prevenzione, valutazione e mitigazione del Rischio Sismico, Classificazione Sismica al 2010, i territori comunali di Guglionesi, Montecilfone, Montenero di Bisaccia e Palata sono classificati, rispettivamente, come zona 3, 2, 3 e ancora zona 2 e rientrano complessivamente, per l' OPCM n.3519 del 28\_04\_06, nel range di accelerazione attesa di 0,05 g <  $a_g \le 0,25$  g. Ai fini della caratterizzazione, per cautela, il sito rientra nel range di pericolosità sismica di base di 0,125 g  $\le a_g \le 0,25$  g.

# Mappa di pericolosità sismica del territorio nazionale

(riferimento: Ordinanza PCM del 28 aprile 2006 n.3519, All.1b)

espressa in termini di accelerazione massima del suolo con probabilità di eccedenza del 10% in 50 anni riferita a suoli rigidi (Vs<sub>30</sub>> 800 m/s; cat.A, punto 3.2.1 del D.M. 14.09.2005)

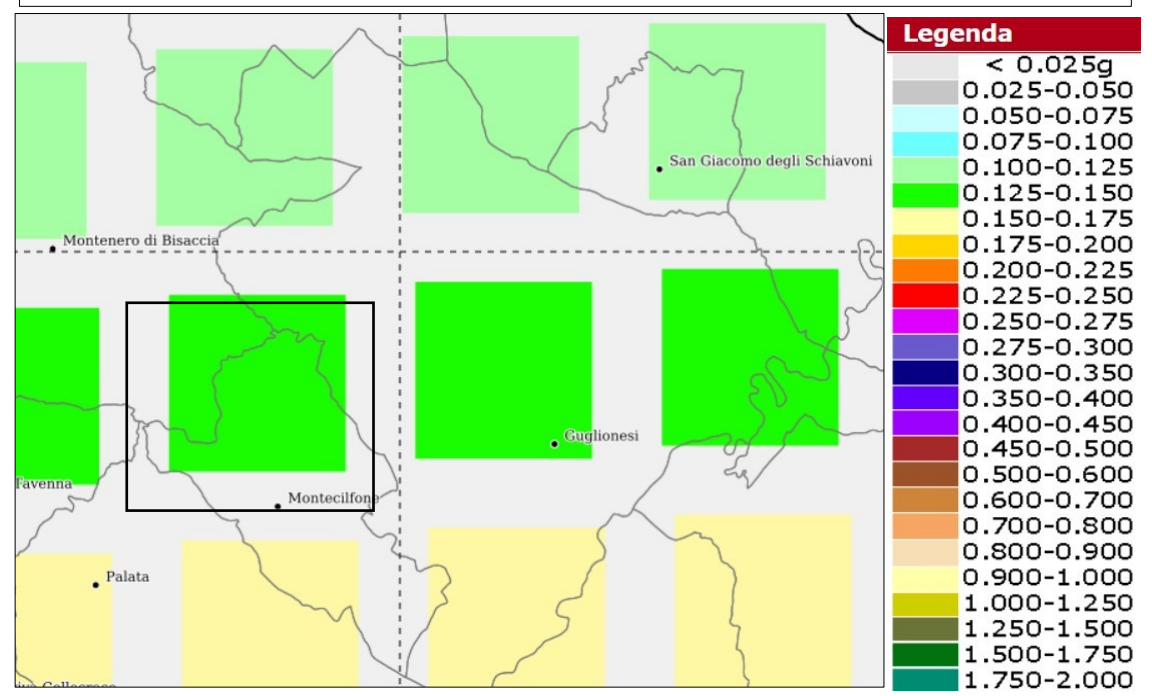
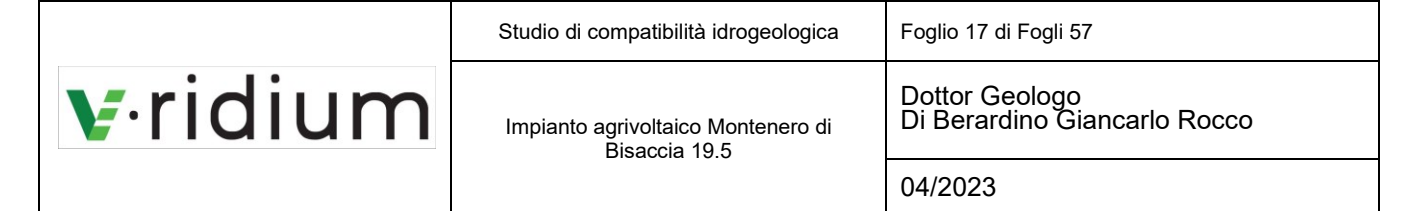


Figura 4-1: nel riquadro in nero ricade l'area di intervento, per la quale si ha una pericolosità di base 0,125 g ≤ ag ≤ 0,175 g.



#### 4.2 FAGLIE E TETTONICA

All'indirizzo http://www.6aprile.it/featured/2016/10/27/ingv-mappa-interattiva-faglie-italiane.html è presente la mappa interattiva delle faglie attive della Penisola, capaci di generare sismi con intensità minima di 5.5. A seguito della sua consultazione, **non risultano faglie attive prossime all'area di progetto**: il lineamento attivo più vicino ad essa è quello denominato *San Marco in Lamis 5*, ad oltre 60 km verso Est. La sorgente sismogenetica composita denominata più prossima è la *Tocco Casauria – Tremiti*, ad oltre 40 km a Nord.

#### 4.3 MICROZONAZIONE SISMICA

Per quanto riguarda *le opere di connessione*, la sola zona cartografata nell'ambito della Microzonazione Sismica è quella che accoglie la parte meridionale del tracciato del *cavidotto MT A*, subito fuori l'abitato di Montecilfone, e in essa ricade l'interferenza con PF1 di cui allo *studio*. In base a tale cartografia, la parte di tracciato al di sopra dei gessi (la *facies* clastico-evaporitica) è su terreni con fattore di amplificazione nullo (S = 1), vale a dire su buoni materiali che si comportano da substrato sismico rigido di riferimento, mentre la parte di tracciato al di sopra della Formazione di Vallone Ferrato (flysch messiniano) si rinviene al di sopra di materiali con fattore di amplicazione S = 1,15.

### 4.3.1 Liquefazione dei terreni

Come riportato nella RELAZIONE GEOLOGICA, i terreni in corrispondenza dell'area PF1 non sono suscettibili a liquefazione per assenza di falda e in via collaterale per ragioni litologiche. In ogni caso, per la zona di interferenza, un cedimento per liquefazione non rappresenterebbe un problema, dato che l'opera si limita al passaggio del *cavidotto MT A*.

## 4.4 CATEGORIA DI SOTTOSUOLO

Come riportato nella RELAZIONE GEOLOGICA, la categoria di sottosuolo in corrispondenza dell'interferenza con l'area PF1 è di tipo **B**.

#### 4.5 COEFFICIENTE SISMICO ORIZZONTALE

Nelle successive verifiche (paragrafo 5 dello **studio**) agli Stati Limite Ultimi, le stabilità del pendio nei confronti dell'azione sismica vengono eseguite con il metodo pseudo-statico. Ai fini della valutazione dell'azione sismica, nelle verifiche agli Stati Limite Ultimi, vengono considerate le seguenti forze statiche equivalenti:

```
FH = k_h W (eq.ne 4.5.1),
FV = k_v W (eq.ne 4.5.2),
```

con

- FH e FV rispettivamente la componente orizzontale e verticale della forza d'inerzia applicata al baricentro del concio,
- W il peso concio,

	Studio di compatibilità idrogeologica	Foglio 18 di Fogli 57
<b>v</b> ·ridium	Impianto agrivoltaico Montenero di Bisaccia 19.5	Dottor Geologo Di Berardino Giancarlo Rocco
		04/2023

- k<sub>h</sub> Coefficiente sismico orizzontale (numero puro),
- k<sub>v</sub> Coefficiente sismico verticale (numero puro).

I valori di  $k_h$  e  $k_v$  sono indicati nell' Aggiornamento delle "Norme Tecniche per le Costruzioni", D.M. 17.01.2018 (NTC\_2018) al sottoparagrafo "7.11.3.5.2 Metodi di analisi". Le equazioni che li identificano sono le seguenti:

$$k_h = \beta_s (a_{max}/g)$$
 (eq.ne 4.5.3),

$$k_v = \pm 0.5 k_h$$
 (eq.ne 4.5.4),

con

- $\beta_s$  = coefficiente di riduzione dell'accelerazione massima attesa al sito,
- a<sub>max</sub> = accelerazione orizzontale massima attesa al sito,
- g = accelerazione di gravità.

I valori di  $\beta_s$  sono riportati in tabella seguente (tabella "Tab.7.11.I – Coefficienti di riduzione dell'accelerazione massima attesa al sito", in NTC\_2018); essi variano al variare della categoria di sottosuolo e dell'accelerazione orizzontale massima attesa su sito di riferimento rigido:

	Categoria d	i sottosuolo
	Α	B, C, D, E
	βs	βs
$0.2 < a_g(g) \le 0.4$	0,30	0,28
$0.1 < a_g(g) \le 0.2$	0,27	0,24
a <sub>g</sub> (g) ≤ 0,1	0,20	0,20

Tabella 4-1: valori del coefficiente β<sub>s</sub>.

In assenza di analisi specifiche della risposta sismica locale, l'accelerazione massima attesa al sito può essere valutata con la relazione:

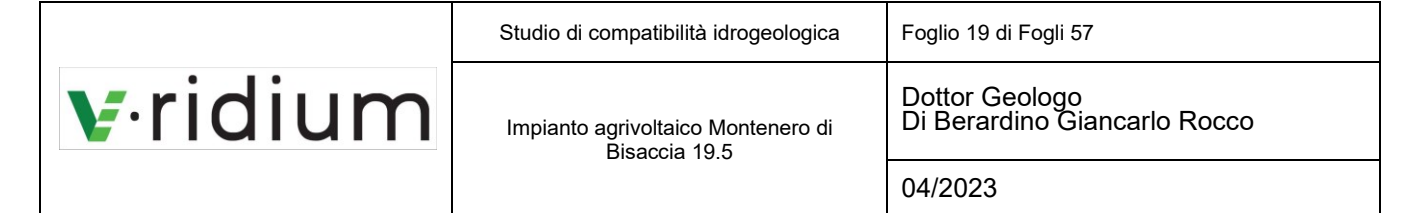
$$a_{max} = S x a_g = (S_S x S_T) x a_g$$
 (eq.ne 4.5.5),

dove

- S = coefficiente che comprende l'effetto dell'amplificazione stratigrafica ( $S_s$ ) e dell'amplificazione topografica ( $S_T$ ), di cui al § 3.2.3.2 delle NTC\_2018 (di seguito tabb.4-2 e 4-3),
- ag = accelerazione orizzontale massima attesa su sito di riferimento rigido.

Categoria di sottosuolo	S <sub>s</sub>
Α	1,00
В	$1,00 \le 1,40 - 0,40 \times F_0 \times (a_g/g) \le 1,20$
С	$1,00 \le 1,70 - 0,60 \text{ x } F_0 \text{ x } (a_g/g) \le 1,50$
D	$0.90 \le 2.40 - 1.50 \text{ x F}_0 \text{ x } (a_g/g) \le 1.80$
E	$1,00 \le 2,00 - 1,10 \text{ x F}_0 \text{ x } (a_g/g) \le 1,60$

Tabella 4-2: valori dell'amplificazione stratigrafica S<sub>s</sub>.



Categoria topografica	Ubicazione dell'opera o dell'intervento	S <sub>T</sub>
T1		1,00
T2	In corrispondenza della sommità del pendio	1,20
Т3	In corrispondenza della cresta di un rilievo con pendenza media minore o uguale a 30°	1,20
T4	In corrispondenza della cresta di un rilievo con pendenza media maggiore di 30°	1,40

Tabella 4-3: valori massimi del coefficiente di amplificazione topografica S<sub>T</sub>.

Si rammenta che le categorie topografiche sono espresse come in tabella seguente:

Categorie	Caratteristiche della superficie topografica
T1	Superficie pianeggiante, pendii e rilievi isolati con inclinazione media i ≤ 15°
T2	Pendii con inclinazione media i > 15°
Т3	Rilievi con larghezza in cresta molto minore che alla base e inclinazione media 15° ≤ i ≤ 30°
T4	Rilievi con larghezza in cresta molto minore che alla base e inclinazione media i > 30°

Tabella 4-4: categorie topografica (Tab.3.2.III in NTC\_2018).

In considerazione di quanto riportato finora, si calcola il valore di  $a_{max}$  in corrispondenza delle due sezioni di verifica (come in allegato FV19Mb\_14) premettendo che, nei due profili, le condizioni al contorno (topografiche, litologiche e sismiche) sono sostanzialmente le medesime e dunque i parametri che ne derivano.

Utilizzando la 4.5.5, si sostituiscono i seguenti valori all'interno dell'equazione per trovare a<sub>max</sub>:

- a<sub>g</sub> = 0,25 g (come da paragrafo dello 4.1 **studio**),
- S<sub>S</sub> = 1,20 (assunto cautelativamente il valore massimo per la categoria di sottosuolo **B**),
- $S_T$  = 1 (in quanto la categoria topografica è T1, avendo i due profili una pendenza minore di 15° rispetto al piano orizzontale).

Per cui, risulta:

 $a_{max} = 2,943$  per i due profili.

Ricavata  $a_{max}$ , si trova il valore di  $k_h$  per i profili, essendo  $\beta_s$  = 0,28, utilizzando la 4.5.3:

PROFILO	<b>k</b> <sub>h</sub>
A-A'	0,084
B-B'	0.084

Tabella 4-5: valori del coefficiente sismico orizzontale per i due profili di verifica.



	Studio	di	com	patibilità	idroge	ologica
--	--------	----	-----	------------	--------	---------

Impianto agrivoltaico Montenero di Bisaccia 19.5

Foglio 20 di Fogli 57

Dottor Geologo Di Berardino Giancarlo Rocco

04/2023

## 5.0 ANALISI DI STABILITA' DEI VERSANTI

L'analisi di stabilità dei versanti è definita dalle NTC\_2018 nel § 6.3.4, dove si legge "L'adeguatezza del margine di sicurezza ritenuto accettabile dal progettista deve comunque essere giustificata sulla base del livello di conoscenze raggiunto, dell'affidabilità dei dati disponibili e del modello di calcolo adottato in relazione alla complessità geologica e geotecnica, nonché sulla base delle conseguenze di un'eventuale frana.". Dunque, non esiste più un valore predefinito del fattore di sicurezza; ne andrà invece fissato uno, volta per volta, in base al grado di sicurezza ritenuto accettabile.

Nei casi in esame, data la relativa semplicità della geologia dei luoghi, la quantità di dati disponibili sulla scorta delle indagini e delle informazioni pregresse, in ragione quindi del grado di conoscenza raggiunto (del modello geologico-tecnico di sottosuolo) e nondimeno delle caratteristiche dell'opera da portare a termine (la quale, lo si rammenta, nella fattispecie consiste nel passaggio di un elettrodotto interrato sotto strada), si ritiene opportuno utilizzare un Fattore di sicurezza Fs pari a: Fs ≥ 1,1.

Attraverso l'utilizzo del software SSAP – Slope Stability Analysis Program – release 5.0 (Dottor Lorenzo Borselli PhD ©), sono state condotte verifiche di stabilità del pendio su due sezioni significative per l'area PF1 (come definito in precedenza, A-A' e B-B'). Attraverso il programma, le analisi sono state effettuate con il metodo "qFEM" agli elementi finiti. Inoltre si puntualizza che nelle analisi di stabilità dei versanti, per rendere il problema staticamente determinato occorrono diverse ipotesi semplificative, diverse da metodo a metodo; cosicchè a parità di geometria e di caratteristiche fisico-meccaniche del terreno, il risultato dell'analisi non è unico ma diverso da metodo a metodo in termini di superficie di scorrimento critica e di coefficiente di sicurezza. E' per tale motivo che vegono riportati i risultati condotti con cinque metodi diversi di analisi.

#### 5.1 CONDIZIONI AL CONTORNO

Nella fattispecie, le analisi numeriche per le fasi *ante operam*, in corso d'opera e *post operam* coincidono: i lavori non prevedono alcun intervento e neppure realizzazione di alcun tipo di struttura significativa, all'interno dell'area PF1, che possano rappresentare un aggravio per il versante. La posa in opera del *cavidotto MT A* è del tutto ininfluente nel computo dei fattori di sicurezza, essendo il carico trasmesso nullo. Inoltre, la trincea di scavo in corso d'opera, per la posa del cavo, è talmente minimale lungo i profili verificati che non causerebbe alcuna variazione nei risultati. Il calcolo dei fattori di sicurezza lungo le due sezioni (si vedano allegati FV19Mb\_14 e FV19Mb\_16 ed APPENDICE I in calce allo *studio*) prevede quindi l'inserimento di un solo modello litotecnico valevole per le tre fasi del progetto (*ante*, durante e *post operam*). Le verifiche di stabilità sono basate sulle seguenti condizioni al contorno:

- modello litostratigrafico e litotecnico del sottosuolo come da Figura 3-1 nel precedente paragrafo 3
  dello studio e come definito nel profilo litotecnico di sintesi allegato allo studio;
- cinematismo elaborato in automatico dal calcolatore;
- coesione drenata (condizione cautelativa): la ricostruzione dello stress-path (estensione per scarico) dipinge una situazione più sfavorevole in condizione di tensioni efficaci; per tale motivo è bene ragionare in termini di c' e Φ' (DI FRANCESCO, corso professionale 2011);
- assenza di falda nelle coltri (gli spessori rintracciati sono piuttosto esigui, troppo limitati);
- parametri sismici proposti nel precedente paragrafo 4.5 dello **studio**.



Studio di compatibilità idrogeologica	Foglio 21 di Fogli 57
Impianto agrivoltaico Montenero di	Dottor Geologo
Bisaccia 19.5	Di Berardino Giancarlo Rocco

04/2023

### 5.2 RISULTATI

Sintetizzando quanto desunto dai calcoli, si riportano i risultati dei valori in base ai vari AUCTT (Tabella 5-1):

PROFILO	METODO	Fs (fattore di sicurezza)
	BORSELLI 2016	1,504
	CHEN- MORGENSTERN	1,503
A-A'	JANBU RIGOROSO	1,500
	MORGENSTERN E PRICE	1,470
	SARMA 1979	1,485
	BORSELLI 2016	1,854
	CHEN- MORGENSTERN	1,866
B-B'	JANBU RIGOROSO	1,863
	MORGENSTERN E PRICE	1,867
	SARMA 1979	1,871

Tabella 5-1: valori dei fattori di sicurezza calcolati lungo i profili (all. FV19Mb\_14 per ubicazione).

In calce allo **studio** (APPENDICE I), sono esposti i report dei processi di calcolo che hanno restituito i Fs più bassi lungo i due profili verificati.

Analizzando i dati, risulta quanto segue:

- lungo i profili non sono previsti fenomeni di tipo franoso: le modellazioni numeriche hanno restituito un quadro piuttosto stabile;
- la pericolosità indicata dal PAI non è dunque associabile ad eventuali fenomeni franosi

In considerazione di quanto risultato sopra, la situazione geomorfologica-idrogeologica non costituisce in alcun modo elemento critico nei confronti del progetto in predicato di realizzazione, in ulteriore considerazione del fatto che i lavori si limiterrano ad una semplice posa in opera sotto il tracciato stradale esistente di un cavidotto interrato, con totale ripristino dello stato *quo ante*.



Studio di compatibilità idrogeologio
--------------------------------------

Impianto agrivoltaico Montenero di Bisaccia 19.5

Foglio 22 di Fogli 57

Dottor Geologo Di Berardino Giancarlo Rocco

04/2023

## 6.0 CONCLUSIONI

Da un punto di vista geomorfologico-idrogeologico, il paesaggio che accoglierà l'intervento non rappresenta in alcun modo una criticità nei confronti di esso e viceversa: il livello di pericolosità attualmente indicato dal PAI non subirà alcuna modifica e/o aggravamento derivanti dal compimento del progetto.

### 6.1 CONSIDERAZIONI FINALI

In base a tutto quanto riportato sopra nello *studio* e nel materiale ad esso allegato, si può concludere che vi è una totale compatibilità geomorfologica-idrogeologica tra il progetto ed i luoghi che lo accoglieranno.

Chieti, lì aprile 2023

Il tecnico

Dottor Geologo Di Berardino Giancarlo Rocco

	Studio di compatibilità idrogeologica	Foglio 23 di Fogli 57
<b>v</b> ·ridium	Impianto agrivoltaico Montenero di Bisaccia 19.5	Dottor Geologo Di Berardino Giancarlo Rocco
		04/2023

## 7.0 BIBLIOGRAFIA

#### In ordine di citazione

- FESTA A., VEZZANI L. & GHISETTI F. (2004) Carta Geologica del Molise. S.E.L.C.A., Firenze, 2004.
- Cello G., Paltrinieri W. & Tortorici I. (1987) Caratterizzazione strutturale delle zone esterne dell'Appennino molisano. Mem. Soc. Geol. It., 38 (1987), 155-161, 2 ff.
- BUTLER R. W. H., MAZZOLI S., CORRADO S., DE DONATIS M., DI BUCCI D., GAMBINI R., NASO G., NICOLAI C., SCROCCA D., SHINER P., ZUCCONI V. (2004) Applying Thick-skinned Tectonic Models to the Apennine Thrust Belt of Italy—Limitations and Implications. K. R. McClay, ed., Thrust tectonics and hydrocarbon systems: AAPG Memoir82, p. 647-667.
- OGNIBEN L. (1969) Schema Introduttivo Alla Geologia Del Confine Calabro-Lucano. Mem. Soc. Geol. It., 8 (1969), 453-763.
- CIPOLLARI P. & COSENTINO D. (1995) Miocene unconformities in the Central Apennines: geodynamic signicance and sedimentary basin evolution. Tectonophysics, 252, 375-389.
- CROSTELLA A. & VEZZANI L. (1964) La geologia dell'Appennino foggiano. Boll. Soc. Geol. It., 83 (1), 121-141.
- DI BUCCI D., CORRADO S., NASO G., PAROTTO M. & PRATURLON A. (1999) Evoluzione tettonica neogenico-quaternaria dell'area molisana. Boll. Soc. Geol. It., 118 (1999), 13-30, 12 ff.
- CRESCENTI U. (1971) Osservazioni sul Pliocene degli Abruzzi settentrionali: la trasgressione del Pliocene medio e superiore. Boll. Soc. Geol. It., 90 (1971), 3-21, 3 ff.
- UNIVERSITA' DEGLI STUDI DEL MOLISE (2014) Caratterizzazione geologico-ambientale del territorio molisano e delle unità territoriali (macro-aree) individuate.
- CELICO F., STANGANELLI V. & DEL FALCO F. M. (1978) SCHEMA IDROGEOLOGICO DELL'AREA DI INTERVENTO DEL P.S. 29. 1978. Cassa per il mezzogiorno, Progetto speciale n.29, Utilizzazione delle acque degli schemi idrici intersettoriali del Lazio Meridionale, Tronto, Abruzzo, Molise e Campania. Litografia Artistica Cartografica - Firenze, 1978.
- CELICO F. (1983) CARTA IDROGEOLOGICA DELL'ITALIA CENTRO-MERIDIONALE-MARCHE E LAZIO MERIDIONALI, ABRUZZO, MOLISE E CAMPANIA. Cassa per il mezzogiorno, Progetto speciale n.29, Schemi idrici dell'Appennino centro-meridionale. Grafiche Magliana, Roma, 1983.
- DESIDERIO G. & RUSI S. (2004) Idrogeologia e idrogeochimica delle acque mineralizza te dell'Avanfossa Abruzzese Molisana. Boll. Soc. Geol. It., 123 (2004), 373-389, 14 ff., 4 tabb.
- NANNI T. & VIVALDA P. (1986) Caratteri idrogeologici schematici della successione pliopleistocenica e delle pianure alluvionali delle Marche. Mem. Soc. Geol. It., 35, 957-978.
- NANNI T. & VIVALDA P. (1987) Influenza della tettonica trasversale sulla morfogenesi delle pianure alluvionali marchigiane. Geogr. Fis. Din. Quat., 10, 180-192.
- BIGI S., CENTAMORE E. & NISIO S. (1997) Elementi di tettonica quaternaria nell'area pedeappenninica marchigiano-abruzzese. Il Quaternario, 10 (2), 359-362.
- GRUPPO DI LAVORO MS (2008) Indirizzi e criteri per la microzonazione sismica. Conferenza delle Regioni e delle Province autonome Dipartimento della protezione civile, Roma, 3 vol. e Dvd.
- DI FRANCESCO R. (2011) Corso di Geotecnica per aggiornamento professionale. Teramo, 2011.



Studio di compatibilità idrogeologica	Foglio 24 di Fogli 57
Impianto agrivoltaico Montenero di	Dottor Geologo
Bisaccia 19.5	Di Berardino Giancarlo Rocco

04/2023

## 8.0 ALLEGATI

ALLEGATO	TITOLO
APPENDICE I	Relazioni di calcolo
FV19Mb_11	Carta Topografica su base IGM
FV19Mb_12	Carta Topografica su base CTR
FV19Mb_13	Inquadramento su Ortofotocarta
FV19Mb_23	Vincolo PAI Pericolosità-Rischio Frana con ubicazione profili di verifica
FV19Mb_31 a/b	Carta Geologica originale
FV19Mb_32 a/b	Carta Geomorfologica originale
FV19Mb_24	Carta Idrogeologica originale
FV19Mb_25	Profili morfostratigrafici e litotecnici



Studio di compatibilità idrogeologica	Foglio 25 di Fogli 57
Impianto agrivoltaico Montenero di Bisaccia 19.5	Dottor Geologo Di Berardino Giancarlo Rocco
	04/2023

## **APPENDICE I**

## Relazioni di calcolo

(si riportano le relazioni di calcolo per i Fs minimi lungo i due profili A-A' e B-B')



Studio di compatibilità idrogeologica

Foglio 26 di Fogli 57

Impianto agrivoltaico Montenero di Bisaccia 19.5

**Dottor Geologo** Di Berardino Giancarlo Rocco

04/2023

#### **PROFILO A-A'**

```
# Report elaborazioni #
```

```
SSAP 5.0 - Slope Stability Analysis Program (1991,2020)
            WWW.SSAP.EU
           Build No. 11719
               BY
      Dr. Geol. LORENZO BORSELLI *,**
       *UASLP, San Luis Potosi, Mexico
       e-mail: lborselli@gmail.com
```

```
CV e WEB page personale: WWW.LORENZO-BORSELLI.EU
    ** Gia' Ricercatore CNR-IRPI fino a Luglio 2011
Ultima Revisione struttura tabelle del report: 12 settembre 2020
 File report: C:\Users\Giancarlo\Desktop\A2\ 08\CAVIDOTTO MT A\MORGESTERN-PRICE (1965).txt
     Data: 12/10/2021
 Localita': Montecilfone (CB)
 Descrizione: Cavidotto MT A_A-A'
Modello pendio: A-A'_rev6.mod
      ---- PARAMETRI DEL MODELLO DEL PENDIO ------
      __ PARAMETRI GEOMETRICI - Coordinate X Y (in m) ___
     SUP T.
                 SUP 2
                            SUP 3
                                       SUP 4
    Χ
         Υ
              Χ
                  Υ
                        Χ
                             Υ
                                  Х
                                       Υ
   10.00 10.00 300.00 56.00 289.50 55.00
   67.50 20.00 304.00 49.25 304.00 55.55
   90.00 25.00 318.40 44.50 329.30 57.95
   161.00 40.00 335.00 46.40 339.75
                                   59.00
   223.50 50.00 356.65 50.65 346.50
                                    61.65
   285.43 54.50 365.85 50.65 354.00 65.00
   289.50 55.00 376.90 54.15 336.50
                                    60.00
   300.00 56.00 406.85 55.95 300.00
                                   56.00
   336.50 60.00 419.15 55.00 289.50
                                   55.00
   354.00 65.00 455.65 55.00
   362.75 67.50 -
   371.00 70.00
   387.00 75.00
   401.00 80.00
   455.65 85.00
## ASSENZA DI FALDA ##
 ----- PARAMETRI GEOMECCANICI ------
                  C,
                          Cu
                                Gamm
                                       Gamm_sat STR_IDX
                                                               sgci
                                                                     GSI mi
                                                                 STRATO 1
                43.00
                         0.00
                                0.00
                                        22.35
                                                23.24
                                                        3.504
                                0.00
  STRATO 2
                24.24
                        0.00
                                        19.31
                                                20.79
                                                        1.336
                                 0.00
                                                 19.51
                                                         4.335
                                                                  0.00 0.00 0.00 0.00
  STRATO 3
               29.34
                        42.16
                                        18.33
```

LEGENDA: fi`\_ Angolo di attrito interno efficace(in gradi) C, Coesione efficace (in Kpa) Cu Resistenza al taglio Non drenata (in Kpa) Peso di volume terreno fuori falda (in KN/m^3) Gamm\_sat \_\_ Peso di volume terreno immerso (in KN/m^3) Indice di resistenza (usato in solo in 'SNIFF ŚEARCH) (adimensionale) ---- SOLO Per AMMASSI ROCCIOSI FRATTURATI - Parametri Critério di Rottura di Hoek (2002)sigci \_\_\_\_\_ Resistenza Compressione Uniassiale Roccia Intatta (in MPa) Geological Strenght Index ammasso(adimensionale) GSI Indice litologico ammasso(adimensionale) Fattore di disturbo ammasso(adimensionale) Fattore di riduzione NTC2018: gammaPHI=1.25 e gammaC=1.25 - DISATTIVATO (solo per ROCCE)

Uso CRITERIO DI ROTTURA Hoek et al. (2002, 2006) - non-lineare - Generalizzato, secondo Lei et al. (2016)



Studio	di	compatibilità	idroae	ologica

Foglio 27 di Fogli 57

Impianto agrivoltaico Montenero di Bisaccia 19.5

Dottor Geologo Di Berardino Giancarlo Rocco

04/2023

```
--- INFORMAZIONI GENERAZIONE SUPERFICI RANDOM ------
*** PARAMETRI PER LA GENERAZIONE DELLE SUPERFICI
  METODO DI RICERCA: RANDOM SEARCH
                                            - Siegel (1981)
  FILTRAGGIO SUPERFICI: ATTIVATO
  COORDINATE X1,X2,Y OSTACOLO:
                                            0.00
                                                    0.00
                                                             0.00
  LUNGHEZZA MEDIA SEGMENTI (m):
                                                    17.8 (+/-) 50%
  INTERVALLO ASCISSE RANDOM STARTING POINT (Xmin .. Xmax):
                                                                     18.91
                                                                             420.00
  LIVELLO MINIMO CONSIDERATO (Ymin):
                                                    0.00
  INTERVALLO ASCISSE AMMESSO PER LA TERMINAZIONE (Xmin .. Xmax):
                                                                              63.48
                                                                                      446.74
*** TOTALE SUPERFICI GENERATE:
                                           500
     ---- INFORMAZIONI PARAMETRI DI CALCOLO ----
  METODO DI CALCOLO: MORGENSTERN - PRICE (Morgenstern & Price, 1965)
  METODO DI ESPLORAZIONE CAMPO VALORI (lambda0,Fs0) ADOTTATO : A (rapido)
  COEFFICIENTE SISMICO UTILIZZATO Kh: 0.0840
  COEFFICIENTE SISMICO UTILIZZATO Kv (assunto Positivo): 0.0420
  COEFFICIENTE c=Kv/Kh UTILIZZATO: 0.5000
  FORZA ORIZZONTALE ADDIZIONALE IN TESTA (kN/m): 0.00
  FORZA ORIZZONTALE ADDIZIONALE ALLA BASE (kN/m): 0.00
  N.B. Le forze orizzontali addizionali in testa e alla base sono poste uguali a 0
     durante le tutte le verifiche globali.
     I valori >0 impostati dall'utente sono utilizzati solo in caso di verifica singola
     ---- RISULTATO FINALE ELABORAZIONI ------
 * DATI RELATIVI ALLE 10 SUPERFICI GENERATE CON MINOR Fs *
Fattore di sicurezza (FS) 1.4709 - Min. - X
                                          Υ
                                               Lambda= 0.3576
```

64.76 19.52 67.00 19.70 68.16 19.79 68.99 19.85 69.73 19.91 70.39 19.96 71.06 20.01 71.74 20.07 72.42 20.12 73.12 20.17 73.77 20.24 74.41 20.31 75.04 20.40 75.69 20.51 76.31 20.63 76.95 20.77 77.61 20.92 78.30 21.10 78.99 21.27 79.66 21.45 80.33 21.62 80.99 21.79 81.66 21.96 82.33 22.13 83.01 22.30 83.70 22.48 84.36 22.66 85.00 22 85 85.63 23.05 86.29 23.27 87 00 23.53 87.81 23.84 88.96 24.31 91.26 25.27

Fattore di sicurezza (FS) 1.4895 - N.2 -- X Y Lambda= 0.3755 68.90 20.31



Studio di compatibilità idrogeologic
--------------------------------------

Bisaccia 19.5

Impianto agrivoltaico Montenero di

Foglio 28 di Fogli 57

Dottor Geologo Di Berardino Giancarlo Rocco

04/2023

```
74.24 20.82
76.97 21.10
78.91 21.31
80.63 21.51
82.18 21.71
83.73 21.92
85.29 22.15
86.88 22.39
88.53
      22.66
90.10 22.93
91.64
      23.23
93.15 23.54
94.69
      23.89
96.19 24.25
97.72
      24.64
99.27 25.07
100.89 25.54
102.49 26.00
104.07 26.45
105.64 26.89
107.20 27.33
108.76 27.77
110.33 28.20
111.89 28.64
113.46 29.07
115.03 29.50
116.59 29.92
118.15 30.33
119.71 30.74
121.46 31.20
123.41 31.71
126.15 32.41
131.43 33.75
```

```
Fattore di sicurezza (FS) 1.5071 - N.3 -- X Y Lambda= 0.3583
```

68.59 20.24 74.36 20.34 77.20 20.42 79.16 20.54 80.86 20.69 82.45 20.90 83.97 21.14 85.55 21.44 87.17 21.79 88.94 22.22 90.64 22.62 92.29 22.99 93.91 23.35 95.53 23.69 97.14 24.02 98.76 24.33 100.38 24.64 102.04 24.94 103.69 25.24 105.33 25.54 106.97 25.83 108.60 26.13 110.26 26.43 111.93 26.73 113.64 27.03 115.41 27.35 117.01 27.68 118.56 28.06 120.06 28.48 121.64 28.98 123.33 29.60 125.28 30.39 128.12 31.63



#### Studio di compatibilità idrogeologica

Foglio 29 di Fogli 57

Impianto agrivoltaico Montenero di Bisaccia 19.5

**Dottor Geologo** Di Berardino Giancarlo Rocco

04/2023

133.92 34.28

```
Fattore di sicurezza (FS) 1.5266 - N.4 --
                                                  Lambda= 0.3567
                          44.05 15.92
                          50.63 16.44
                          53.96 16.72
                          56.30 16.96
                          58.37
                                17.20
                          60.26 17.45
                         62.10 17.73
                         63.98 18.04
                          65.89
                               18.38
                          67.88
                                18.76
                         69.83 19.12
                          71.74 19.46
                          73.63
                               19.79
                          75.53 20.11
                          77.42 20.42
                          79.33
                                20.71
                          81.26 21.00
                         83.24 21.28
85.15 21.58
                          87.04 21.89
                          88.91
                                22.22
                         90.79 22.57
                          92.67 22.94
                          94.57
                                23.33
                          96.52 23.76
                         98.55 24.23
                         100.47 24.70
                         102.34 25.19
                         104.18 25.71
                         106.06 26.28
                         108.12 26.94
                         110.45 27.75
                         113.78 28.96
                         120.39 31.42
Fattore di sicurezza (FS) 1.5267 - N.5 -- X
                                                  Lambda= 0.3435
                          89.62 24.91
                          90.93 24.98
                         91.61 25.01
                         92.10 25.04
                          92.53 25.06
                          92.91
                                25.09
                         93.30 25.12
                         93.69 25.15
                          94.09
                                25.18
                                25.21
                          94.50
                         94.89
                                25.25
                          95.27
                                25.30
                          95.64 25.35
                         96.02
                                25.41
                         96.39 25.48
                          96.76 25.55
                          97.15
                                25.64
                         97.55
                                25.73
                          97.95 25.83
                          98.35
                                25.92
                         98.74 26.02
                          99.12 26.11
                          99.52
                                26.21
                         99.91 26.30
                         100.32 26.40
                         100.73 26.50
                         101.11 26.60
                         101.48 26.70
```



Studio di compatibilità idrogeologica	Studio	di compatibilit	à idrogeologica
---------------------------------------	--------	-----------------	-----------------

Foglio 30 di Fogli 57

Impianto agrivoltaico Montenero di Bisaccia 19.5

Dottor Geologo Di Berardino Giancarlo Rocco

04/2023

```
    101.85
    26.82

    102.23
    26.95

    102.64
    27.11

    103.11
    27.30

    103.78
    27.59

    105.14
    28.20
```

```
Fattore di sicurezza (FS) 1.5300 - N.6 -- X Y Lambda= 0.3542
```

123.56 32.09 125.61 32.29 126.67 32.39 127.43 32.47 128.11 32.53 128.71 32.60 129.32 32.66 129.93 32.72 130.54 32.79 131.15 32.85 131.76 32.92 132.36 32.99 132.96 33.06 133.57 33.13 134.17 33.21 134.78 33.29 135.40 33.37 136.03 33.46 136.64 33.55 137.23 33.65 137.82 33.76 138.42 33.88 139.01 34.01 139.61 34.14 140.23 34.29 140.90 34.46 141.51 34.63 142.10 34.81 142.67 35.00 143.27 35.22 143.91 35.47 144.65 35.78 145.71 36.25 147.83 37.22

Fattore di sicurezza (FS) 1.5344 - N.7 -- X Y Lambda= 0.3498

64.12 19.41 66.55 19.35 67.79 19.32 68.66 19.31 69.44 19.31 70.14 19.32 70.84 19.34 71.54 19.37 72.26 19.40 73.01 19.44 73.72 19.49 74.42 19.55 75.11 19.61 75.81 19.69 76.49 19.78 77.19 19.88 77.90 19.99 78.64 20.12 79.36 20.24 80.07 20.37 80.77 20.51 81.47 20.64 82.18 20.79



Studio di compatibilità idrogeolog	ica
------------------------------------	-----

Foglio 31 di Fogli 57

Impianto agrivoltaico Montenero di Bisaccia 19.5

Dottor Geologo Di Berardino Giancarlo Rocco

04/2023

```
82.91 20.94
                          83.67 21.11
84.47 21.28
                          85.17 21.47
                          85.83 21.68
                          86.45 21.92
                          87.13 22.21
                          87.83 22.58
                          88.66
                                23.06
                          89.89 23.83
                          92.46 25.52
Fattore di sicurezza (FS) 1.5411 - N.8 -- X
                                                  Lambda= 0.3600
                          64.11 19.41
                          69.14 18.69
                          71.61 18.37
                          73.32 18.20
                          74.81 18.10
                          76.20
                                18.05
                          77.53
                                18.05
                          78.93 18.09
                          80.39 18.17
                          82.03 18.30
                          83.49
                                18.46
                          84.87 18.64
                          86.20 18.87
                          87.59
                                19.15
                          88.90
                                19.45
                          90.27
                                19.82
                          91.67 20.23
                          93.20 20.73
                          94.69 21.21
                          96.14 21.67
                          97.58 22.13
                          99.00 22.58
                         100.43 23.04
                         101.88 23.49
                         103.35 23.95
                         104.84 24.41
                         106.25 24.88
                         107.63 25.37
                         108.98 25.88
                         110.38 26.45
                         111.90 27.11
                         113.64 27.91
                         116.12 29.11
                         121.08 31.57
                        1.5490 - N.9 -- X
Fattore di sicurezza (FS)
                                                  Lambda= 0.3477
                         105.71 28.32
                         108.04 28.46
                         109.25 28.54
                         110.12 28.59
                         110.89 28.63
                         111.58 28.67
                         112.27
                                28.71
                         112.97 28.74
                         113.67 28.78
                         114.39 28.81
                         115.07 28.85
                         115.75 28.90
                         116.42 28.96
                         117.10 29.02
                         117.77 29.10
                         118.46 29.19
                         119.16 29.29
                         119.90 29.40
```



Studio di compatibilità idrogeologica
---------------------------------------

Foglio 32 di Fogli 57

Impianto agrivoltaico Montenero di Bisaccia 19.5

Dottor Geologo Di Berardino Giancarlo Rocco

04/2023

```
120.59 29.52
121.27
       29.64
121.94
       29.78
122.62 29.93
123.29 30.08
123.98
       30.26
124.69 30.44
125.46 30.66
126.15
       30.87
126.82 31.09
127.47
       31.33
128.14 31.60
128.87 31.92
129.70 32.31
130.91 32.91
133.33 34.15
```

```
Fattore di sicurezza (FS) 1.5567 - N.10 -- X Y Lambda= 0.3390
```

82.67 23.37 87.06 22.78 89.21 22.53 90.69 22.40 91.97 22.33 93.17 22.32 94.32 22.34 95.52 22.41 96.77 22.52 98.16 22.68 99.44 22.84 100.67 23.02 101.87 23.22 103.08 23.45 104.26 23.70 105.47 23.98 106.69 24.28 107.98 24.62 109.26 24.96 110.51 25.29 111.76 25.63 113.00 25.95 114.26 26.29 115.52 26.63 116.82 26.97 118.16 27.33 119.37 27.68 120.55 28.08 121.68 28.50 122.89 28.99 124.17 29.58 125.65 30.32 127.80 31.48

------ ANALISI DEFICIT DI RESISTENZA ------ # DATI RELATIVI ALLE 10 SUPERFICI GENERATE CON MINOR Fs \* # Analisi Deficit in riferimento a FS(progetto) = 1.100

132.19 33.91

Sup N. FS FTR(kN/m) FTA(kN/m) Bilancio(kN/m) ESITO 1.471 194.7 132.3 49.1 1 Surplus 1.489 417.5 162.6 Surplus 2 621.8 3 1.507 1240.0 822.8 335.0 Surplus 4 1.527 1056.8 692.3 295.3 Surplus 5 1.527 79.8 52.2 22.3 Surplus 1.530 6 177.2 1158 498 Surplus 7 1.534 413.2 269.3 117.0 Surplus 8 1.541 1706.8 1107.5 488.5 Surplus 1.549 300.9 194.3 87.2 Surplus



Studio di compatibilità idrogeologica

Foglio 33 di Fogli 57

Impianto agrivoltaico Montenero di Bisaccia 19.5

Dottor Geologo Di Berardino Giancarlo Rocco

04/2023

10 1.557 1318.3 846.8 386.8 Surplus

Esito analisi: SURPLUS di RESISTENZA!

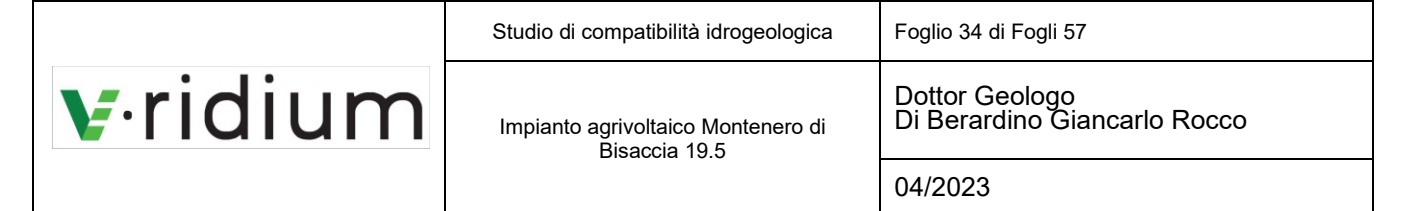
Valore minimo di SURPLUS di RESISTENZA (kN/m): 22.3

Note: FTR --> Forza totale Resistente lungo la superficie di scivolamento FTA --> Forza totale Agente lungo la superficie di scivolamento

IMPORTANTE!: Il Deficit o il Surplus di resistenza viene espresso in kN per metro di LARGHEZZA rispetto al fronte della scarpata

#### TABELLA PARAMETRI CONCI DELLA SUPERFICIE INDIVIDUATA CON MINOR FS

X	dx	alpha	 W	 ru	U ph	i' (c',Cı	1)
(m)	(m)	(°) (kN				°) (kPa	
64.765	0.279	4.44	0.08	0.00	0.00	24.24	0.00
65.044	0.279	4.44	0.23	0.00	0.00	24.24	0.00
65.322	0.279	4.44	0.38	0.00	0.00	24.24	0.00
65.601	0.279	4.44	0.53	0.00	0.00	24.24	0.00
65.880	0.279	4.44	0.68	0.00	0.00	24.24	0.00
66.159	0.279	4.44	0.83	0.00	0.00	24.24	0.00
66.437	0.279	4.44	0.98	0.00	0.00	24.24	0.00
66.716	0.279	4.44	1.13	0.00	0.00	24.24	0.00
66.995	0.000	4.44	0.00	0.00	0.00	24.24	0.00
66.995	0.279	4.44	1.28	0.00	0.00	24.24	0.00
67.274	0.226	4.44	1.15	0.00	0.00	24.24	0.00
67.500	0.279	4.44	1.59	0.00	0.00	24.24	0.00
67.779	0.279	4.44	1.82	0.00	0.00	24.24	0.00
68.057	0.099	4.44	0.70	0.00	0.00	24.24	0.00
68.157	0.279	4.44	2.12	0.00	0.00	24.24	0.00
68.436	0.279	4.44	2.35	0.00	0.00	24.24	0.00
68.714	0.271	4.44	2.50	0.00	0.00	24.24	0.00
68.985	0.279	4.44	2.79	0.00	0.00	24.24	0.00
69.264	0.279	4.44	3.02	0.00	0.00	24.24	0.00
69.543	0.191	4.44	2.20	0.00	0.00	24.24	0.00
69.733	0.279	4.44	3.40	0.00	0.00	24.24	0.00
70.012	0.279	4.44	3.63	0.00	0.00	24.24	0.00
70.291	0.103	4.44	1.40	0.00	0.00	24.24	0.00
70.394	0.279	4.44	3.94	0.00	0.00	24.24	0.00
70.673	0.279	4.44	4.16	0.00	0.00	24.24	0.00
70.952	0.113	4.44	1.75	0.00	0.00	24.24	0.00
71.064	0.279	4.44	4.48	0.00	0.00	24.24	0.00
71.343	0.279	4.44	4.71	0.00	0.00	24.24	0.00
71.622	0.116	4.44	2.02	0.00	0.00	24.24	0.00
71.738	0.279	4.44	5.03	0.00	0.00	24.24	0.00
72.016	0.279	4.44	5.25	0.00	0.00	24.24	0.00
72.295	0.128	4.44	2.49	0.00	0.00	24.24	0.00
72.423	0.279	4.44	5.58	0.00	0.00	24.24	0.00
72.702	0.279	4.44	5.81	0.00	0.00	24.24	0.00
72.980	0.139	4.44	2.98	0.00	0.00	24.24	0.00
73.119	0.279	5.59	6.13	0.00	0.00	24.24	0.00
73.398	0.279	5.59	6.33	0.00	0.00	24.24	0.00
73.677	0.095	5.59	2.21	0.00	0.00	24.24	0.00
73.772	0.279	6.84	6.57	0.00	0.00	24.24	0.00
74.051	0.279	6.84	6.73	0.00	0.00	24.24	0.00
74.330	0.083	6.84	2.03	0.00	0.00	24.24	0.00
74.412	0.279	8.16	6.92	0.00	0.00	24.24	0.00
74.691	0.279	8.16	7.04	0.00	0.00	24.24	0.00
74.970	0.068	8.16	1.74	0.00	0.00	24.24	0.00
75.038	0.279	9.46	7.18	0.00	0.00	24.24	0.00
75.317	0.279	9.46	7.26	0.00	0.00	24.24	0.00
75.595 75.687	0.091 0.279	9.46 10.74	2.40 7.36	0.00	0.00 0.00	24.24 24.24	0.00 0.00
75.965	0.279	10.74	7.30 7.41	0.00	0.00	24.24 24.24	0.00
10.000	0.210	10.74	7.71	0.00	0.00	∠¬.∠¬т	0.00



76.244	0.069	10.74	1.83	0.00	0.00	24.24	0.00
76.313	0.279	12.04	7.46	0.00	0.00	24.24	0.00
76.591	0.279	12.04	7.47	0.00	0.00	24.24	0.00
76.870	0.083	12.04	2.23	0.00	0.00	24.24	0.00
76.953	0.279	13.24	7.47	0.00	0.00	24.24	0.00
77.232	0.279	13.24	7.45	0.00	0.00	24.24	0.00
77.511	0.096	13.24	2.56	0.00	0.00	24.24	0.00
77.607	0.279	14.33	7.41	0.00	0.00	24.24	0.00
77.885	0.279	14.33	7.36	0.00	0.00	24.24	0.00
78.164	0.139	14.33	3.64	0.00	0.00	24.24	0.00
78.303	0.279	14.34	7.28	0.00	0.00	24.24	0.00
78.581	0.279	14.34	7.23	0.00	0.00	24.24	0.00
78.860	0.128	14.34	3.29	0.00	0.00	24.24	0.00
78.988	0.279	14.35	7.15	0.00	0.00	24.24	0.00
79.267	0.279	14.35	7.10	0.00	0.00	24.24	0.00
79.545	0.116	14.35	2.93	0.00	0.00	24.24	0.00
79.661	0.279	14.35	7.02	0.00	0.00	24.24	0.00
79.940	0.279	14.35	6.97	0.00	0.00	24.24	0.00
80.218	0.113	14.35	2.80	0.00	0.00	24.24	0.00
80.331	0.279	14.36	6.90	0.00	0.00	24.24	0.00
80.610	0.279	14.36	6.84	0.00	0.00	24.24	0.00
80.889	0.103	14.36	2.52	0.00	0.00	24.24	0.00
80.992	0.279	14.36	6.77	0.00	0.00	24.24	0.00
81.271	0.279	14.36	6.72	0.00	0.00	24.24	0.00
81.549	0.112	14.36	2.68	0.00	0.00	24.24	0.00
					0.00		
81.661	0.279	14.37	6.64	0.00		24.24	0.00
81.940	0.279	14.37	6.59	0.00	0.00	24.24	0.00
82.218	0.114	14.37	2.68	0.00	0.00	24.24	0.00
82.332	0.279	14.38	6.52	0.00	0.00	24.24	0.00
82.611	0.279	14.38	6.46	0.00	0.00	24.24	0.00
82.890	0.124	14.38	2.86	0.00	0.00	24.24	0.00
						24.24	
83.014	0.279	14.38	6.39	0.00	0.00		0.00
83.293	0.279	14.38	6.33	0.00	0.00	24.24	0.00
83.571	0.133	14.38	3.00	0.00	0.00	24.24	0.00
83.704	0.279	15.37	6.24	0.00	0.00	24.24	0.00
83.983	0.279	15.37	6.16	0.00	0.00	24.24	0.00
84.261	0.097	15.37	2.12	0.00	0.00	24.24	0.00
84.358	0.279	16.43	6.03	0.00	0.00	24.24	0.00
84.637	0.279	16.43	5.92	0.00	0.00	24.24	0.00
84.916	0.086	16.43	1.81	0.00	0.00	24.24	0.00
85.002	0.279	17.52	5.75	0.00	0.00	24.24	0.00
85.281	0.279	17.52	5.61	0.00	0.00	24.24	0.00
85.560	0.075	17.52	1.48	0.00	0.00	24.24	0.00
85.634	0.279	18.59	5.40	0.00	0.00	24.24	0.00
85.913	0.279	18.59	5.23	0.00	0.00	24.24	0.00
86.192	0.094	18.59	1.73	0.00	0.00	24.24	0.00
86.286	0.279	19.99	4.97	0.00	0.00	24.24	0.00
86.565	0.279	19.99	4.74	0.00	0.00	24.24	0.00
86.844	0.153	19.99	2.52	0.00	0.00	24.24	0.00
86.997	0.279	21.09	4.38	0.00	0.00	24.24	0.00
87.276	0.279	21.09	4.13	0.00	0.00	24.24	0.00
87.554	0.251	21.09	3.49	0.00	0.00	24.24	0.00
87.805	0.279	22.09	3.63	0.00	0.00	24.24	0.00
88.084	0.279	22.09	3.34	0.00	0.00	24.24	0.00
88.363	0.279	22.09	3.05	0.00	0.00	24.24	0.00
88.641	0.279	22.09	2.77	0.00	0.00	24.24	0.00
88.920	0.040	22.09	0.37	0.00	0.00	24.24	0.00
88.960	0.279	22.61	2.43	0.00	0.00	24.24	0.00
89.239	0.279	22.61	2.13	0.00	0.00	24.24	0.00
			1.82	0.00	0.00	24.24	
89.518	0.279	22.61					0.00
89.796	0.204	22.61	1.14	0.00	0.00	24.24	0.00
90.000	0.279	22.61	1.29	0.00	0.00	24.24	0.00
90.279	0.279	22.61	0.97	0.00	0.00	24.24	0.00
90.557	0.279	22.61	0.65	0.00	0.00	24.24	0.00
90.836	0.279	22.61	0.33	0.00	0.00	24.24	0.00
91.115	0.144	22.61	0.04	0.00	0.00	24.24	0.00
51.110	J. 1-7-T	-2.01	5.54	5.00	3.00	_ 7.27	5.50

-----



Impianto agrivoltaico Montenero di Bisaccia 19.5

Dottor Geologo Di Berardino Giancarlo Rocco

04/2023

Foglio 35 di Fogli 57

X(m) : Ascissa sinistra concio

dx(m) : Larghezza concio
alpha(°) : Angolo pendenza base concio
W(kN/m) : Forza peso concio
ru(-) : Coefficiente locale pressione interstiziale
U(kPa) : Pressione totale dei pori base concio
phi'(°) : Angolo di attrito efficace base concio

c'/Cu (kPa) : Coesione efficace o Resistenza al taglio in condizioni non drenate

### TABELLA DIAGRAMMA DELLE FORZE DELLA SUPERFICIE INDIVIDUATA CON MINOR FS

Χ	ht y		E(x)		` ' —	FEM FS_srmFEM		
(m) 64.765	(m) 0.000	(m) () 19.524	,	N/m) (kN/m) 0.0000000000E+000	(kN) () 0.0000000000E+000	() () 3.6580942158E-002	0.049	9.134
1.324	0.007	40 550	0.400	4 70452222005 002	2.04570070505.005	0.00470042025.002	0.040	0.404
65.044 1.324	0.007	19.553	0.102	1.7615323208E-002	2.8157887959E-005	8.9817991383E-002	0.049	9.134
65.322 1.346	0.014	19.581	0.102	5.0069186623E-002	3.4187768758E-004	1.6899772254E-001	0.049	12.224
65.601	0.021	19.610	0.103	1.1182338084E-001	2.0210496979E-003	2.7507870200E-001	0.059	17.579
1.435 65.880	0.028	19.639	0.118	2.0341226026E-001	6.2189806645E-003	3.9452465788E-001	0.100	12.207
1.572 66.159	0.043	19.675	0.119	3.3175179851E-001	1.5029784627E-002	4.1545877926E-001	0.148	7.702
1.753			0.400	4.05040400005.004				
66.437 1.893	0.051	19.705	0.106	4.3501043823E-001	2.4479384702E-002	3.7820642878E-001	0.184	6.093
66.716 2.011	0.059	19.735	0.103	5.4258359260E-001	3.5260731028E-002	3.9064826563E-001	0.212	5.256
66.995	0.065	19.762	0.100	6.5277795468E-001	4.7705317276E-002	3.8996325667E-001	0.239	4.659
2.123 66.995	0.065	19.762	0.099	6.5288537683E-001	4.7717850758E-002	3.9000880803E-001	0.239	4.658
2.123 67.274	0.071	19.790	0.101	7.7593878247E-001	6.3695107195E-002	4.8388044025E-001	0.268	4.167
2.231 67.500	0.077	19.813	0.105	8.9320054031E-001	8.0459981226E-002	5.5926228385E-001	0.294	3.828
2.310								
67.779 2.391	0.085	19.843	0.110	1.0631493350E+000	1.0640400577E-001	6.8169649602E-001	0.327	3.483
68.057 2.446	0.095	19.875	0.117	1.2732133702E+000	1.4050681045E-001	9.0217892461E-001	0.361	3.194
68.157	0.100	19.887	0.127	1.3682332209E+000	1.5697395778E-001	9.7667339913E-001	0.375	3.090
2.456 68.436	0.113	19.923	0.132	1.6572379041E+000	2.0889590867E-001	1.1413344471E+000	0.412	2.846
2.462 68.714	0.130	19.961	0.138	2.0044719805E+000	2.7534262498E-001	1.3417791386E+000	0.449	2.638
2.436 68.985	0.147	19.998	0.137	2.3932067620E+000	3.5594304558E-001	1.4788076782E+000	0.486	2.465
2.373								
69.264 2.297	0.163	20.036	0.140	2.8179334600E+000	4.4894323946E-001	1.6465974650E+000	0.520	2.323
69.543 2.209	0.182	20.077	0.144	3.3111052197E+000	5.6437736176E-001	1.8012466269E+000	0.557	2.195
69.733	0.194	20.104	0.134	3.6587201555E+000	6.4890672087E-001	1.7889572424E+000	0.579	2.121
2.151 70.012	0.208	20.140	0.130	4.1434594726E+000	7.7260236359E-001	1.8226568856E+000	0.609	2.034
2.075 70.291	0.223	20.177	0.133	4.6747632261E+000	9.1587241504E-001	1.9740695312E+000	0.640	1.955
1.998 70.394	0.229	20.191	0 120	4.8813002912E+000	9 7324321457E-001	1.9913532593E+000	0.651	1.927
1.971								
70.673 1.904	0.243	20.226	0.131	5.4304188661E+000	1.1307346754E+000	2.0846836728E+000	0.680	1.862
70.952 1.838	0.259	20.264	0.133	6.0434106240E+000	1.3161786955E+000	2.1596082592E+000	0.711	1.799
71.064 1.814	0.265	20.278	0.133	6.2851749835E+000	1.3918095482E+000	2.1977047353E+000	0.723	1.777
1.014								



Studio	di	com	patibilità	idroge	ologica

Foglio 36 di Fogli 57

Impianto agrivoltaico Montenero di Bisaccia 19.5 Dottor Geologo Di Berardino Giancarlo Rocco

04/2023

71.343	0.281	20.316	0.138	6.9350263631E+000	1.6004803765E+000	2.4341496775E+000	0.754	1.723
1.755 71.622	0.298	20.355	0.140	7.6420957139E+000	1.8393419128E+000	2.5541293319E+000	0.786	1.673
1.698 71.738	0.306	20.371	0.142	7.9388145937E+000	1.9419356620E+000	2.6053140050E+000	0.799	1.654
1.676 72.016	0.324	20.411	0.146	8.6944758330E+000	2.2112172664E+000	2.7895728762E+000	0.831	1.610
1.624 72.295	0.344	20.452	0.148	9.4938665692E+000	2.5097180734E+000	2.8725970852E+000	0.864	1.569
1.575 72.423	0.353	20.471	0.150	9.8614838167E+000	2.6499570499E+000	2.8991980502E+000	0.878	1.552
1.554 72.702	0.373	20.513	0.154	1.0684449181E+001	2.9705615600E+000	2.9725138672E+000	0.908	1.515
1.511 72.980	0.395	20.557	0.157	1.1518516548E+001	3.3075270286E+000	2.9584195728E+000	0.938	1.481
1.471 73.119	0.406	20.579	0.161	1.1927112557E+001	3.4762420765E+000	2.9396360001E+000	0.952	1.464
1.453 73.398	0.424	20.624	0.163	1.2745439292E+001	3.8208116409E+000	2.8353435759E+000	0.979	1.433
1.419 73.677	0.443	20.670	0.163	1.3507679484E+001	4.1513844352E+000	2.6077817528E+000	1.004	1.404
1.389 73.772	0.449	20.685	0.168	1.3752092853E+001	4.2593125579E+000	2.5582351730E+000	1.012	1.394
1.380 74.051	0.463	20.733	0.170	1.4460137772E+001	4.5770505407E+000	2.3995684922E+000	1.034	1.368
1.354 74.330	0.477	20.780	0.171	1.5089736245E+001	4.8671928461E+000	2.1936834712E+000	1.054	1.343
1.333 74.412	0.481	20.795	0.178	1.5269645385E+001	4.9513061222E+000	2.1392393602E+000	1.059	1.336
1.326 74.691	0.491	20.845	0.181	1.5832950216E+001	5.2196328859E+000	1.8877177207E+000	1.077	1.314
1.308 74.970	0.502	20.895	0.183	1.6321956725E+001	5.4578045552E+000	1.6735244566E+000	1.092	1.293
1.292 75.038	0.505	20.908	0.191	1.6434603440E+001	5.5133989454E+000	1.6222892131E+000	1.096	1.288
1.288 75.317	0.512	20.962	0.195	1.6850894124E+001	5.7227729706E+000	1.3675663915E+000	1.109	1.269
1.275 75.595	0.521	21.017	0.197	1.7196955568E+001	5.9008482779E+000	1.1082875861E+000	1.121	1.252
1.263 75.687	0.523	21.034	0.200	1.7294124077E+001	5.9518251394E+000	1.0235258527E+000	1.124	1.246
1.260 75.965	0.527	21.091	0.203	1.7544411066E+001	6.0868133120E+000	7.6394719382E-001	1.133	1.231
1.250 76.244	0.530	21.147	0.203	1.7719987694E+001	6.1858942056E+000	4.9082260685E-001	1.140	1.218
1.243 76.313	0.531	21.161	0.214	1.7751313797E+001	6.2046539847E+000	4.2736043374E-001	1.142	1.215
1.242 76.591	0.532	21.222	0.217	1.7837342869E+001	6.2615802868E+000	1.7914203939E-001	1.147	1.204
1.236 76.870	0.533	21.282	0.217	1.7851176821E+001	6.2835729768E+000	-7.5420424550E-002	1.150	1.195
1.233 76.953	0.534	21.300	0.220	1.7841808233E+001	6.2835572626E+000	-1.4266410771E-001	1.151	1.193
1.232 77.232	0.530	21.362	0.226	1.7774049720E+001	6.2662580898E+000	-3.5603315585E-001	1.152	1.186
1.230 77.511	0.528	21.426	0.228	1.7643336967E+001	6.2176957147E+000	-5.3711735868E-001	1.151	1.182
1.230 77.607	0.527	21.448	0.231	1.7589512743E+001	6.1963957219E+000	-5.9274842923E-001	1.151	1.181
1.230 77.885	0.521	21.513	0.238	1.7398280725E+001	6.1178575195E+000	-7.6442940886E-001	1.149	1.179
1.232 78.164	0.517	21.580	0.242	1.7163380315E+001	6.0156352457E+000	-8.7179893513E-001	1.145	1.180
1.234 78.303	0.515	21.614	0.242	1.7040613011E+001	5.9608440876E+000	-9.0439608972E-001	1.143	1.181
1.236 78.581	0.512	21.681	0.243	1.6778346045E+001	5.8413038422E+000	-9.5969713743E-001	1.137	1.184
1.241								



Studio di compatibilità idrogeologio
--------------------------------------

Foglio 37 di Fogli 57

# Impianto agrivoltaico Montenero di Bisaccia 19.5

Dottor Geologo Di Berardino Giancarlo Rocco

78.860 1.246	0.508	21.749	0.241	1.6505628267E+001	5.7133064196E+000	-9.7573919358E-001	1.131	1.189
78.988 1.249	0.506	21.779	0.241	1.6381216937E+001	5.6543218032E+000	-9.8029176192E-001	1.128	1.191
79.267 1.255	0.502	21.847	0.241	1.6104459902E+001	5.5221386602E+000	-9.8449363129E-001	1.120	1.197
79.545 1.262	0.498	21.913	0.237	1.5832409347E+001	5.3906165623E+000	-9.5561962457E-001	1.112	1.204
79.661 1.265	0.495	21.940	0.236	1.5722784926E+001	5.3376237843E+000	-9.5050753099E-001	1.109	1.207
79.940 1.273	0.490	22.006	0.237	1.5455590538E+001	5.2087427684E+000	-9.5610600874E-001	1.101	1.215
80.218 1.281	0.484	22.073	0.237	1.5189802063E+001	5.0814874411E+000	-9.4762132699E-001	1.093	1.223
80.331 1.284	0.482	22.099	0.236	1.5083365356E+001	5.0308118993E+000	-9.4384357068E-001	1.090	1.226
80.610 1.293	0.477	22.165	0.236	1.4821236151E+001	4.9066418215E+000	-9.3738592592E-001	1.081	1.235
80.889 1.302	0.471	22.231	0.237	1.4560818034E+001	4.7845512483E+000	-9.3882104162E-001	1.073	1.243
80.992 1.305	0.470	22.256	0.237	1.4463703968E+001	4.7392385160E+000	-9.3664364060E-001	1.070	1.247
81.271	0.464	22.322	0.237	1.4205530941E+001	4.6193193683E+000	-9.2246797351E-001	1.062	1.256
1.314 81.549	0.459	22.387	0.237	1.3949472683E+001	4.5011029850E+000	-9.1919104226E-001	1.054	1.266
1.324 81.661 1.328	0.457	22.414	0.238	1.3846796299E+001	4.4537662476E+000	-9.1821754238E-001	1.051	1.270
81.940 1.339	0.451	22.480	0.238	1.3591686590E+001	4.3362088684E+000	-9.1134614040E-001	1.042	1.281
82.218 1.350	0.446	22.546	0.237	1.3338764898E+001	4.2187756631E+000	-9.0215276084E-001	1.033	1.293
82.332 1.354	0.444	22.573	0.239	1.3236259535E+001	4.1709818633E+000	-9.0540555776E-001	1.029	1.298
82.611 1.367	0.439	22.640	0.241	1.2980212460E+001	4.0510155799E+000	-9.3433978871E-001	1.020	1.311
82.890 1.381	0.436	22.708	0.243	1.2715410287E+001	3.9259390532E+000	-9.5873231276E-001	1.009	1.325
83.014 1.387	0.434	22.738	0.244	1.2595948476E+001	3.8694267582E+000	-9.7316359000E-001	1.004	1.332
83.293 1.402	0.430	22.806	0.246	1.2318090018E+001	3.7380991856E+000	-1.0384363243E+000	0.991	1.348
83.571 1.419	0.428	22.875	0.249	1.2017070443E+001	3.5976387535E+000	-1.1228389994E+000	0.978	1.365
83.704	0.427	22.908	0.253	1.1865409197E+001	3.5281393834E+000	-1.1676029108E+000	0.971	1.373
1.428 83.983	0.422	22.979	0.253	1.1525698145E+001	3.3756059828E+000	-1.2669922647E+000	0.957	1.392
1.448 84.261	0.415	23.049	0.252	1.1159122280E+001	3.2163714250E+000	-1.3649626611E+000	0.942	1.413
1.469 84.358	0.413	23.074	0.256	1.1025239397E+001	3.1595654302E+000	-1.4062923030E+000	0.936	1.420
1.477 84.637	0.402	23.145	0.256	1.0613994091E+001	2.9888149655E+000	-1.5242757176E+000	0.920	1.444
1.501 84.916	0.391	23.217	0.258	1.0175529398E+001	2.8131606762E+000	-1.6585786005E+000	0.903	1.471
1.527 85.002	0.389	23.239	0.260	1.0029825221E+001	2.7559583911E+000	-1.6890014638E+000	0.898	1.480
1.535 85.281	0.373	23.312	0.260	9.5555466648E+000	2.5737096032E+000	-1.7507831893E+000	0.880	1.512
1.564 85.560	0.358	23.384	0.264	9.0538482604E+000	2.3871349312E+000	-1.8848016938E+000	0.861	1.550
1.595 85.634	0.355	23.405	0.272	8.9113328216E+000	2.3350237186E+000	-1.9132820797E+000	0.856	1.561
1.604 85.913	0.336	23.480	0.271	8.3720811748E+000	2.1416148687E+000	-1.9537736413E+000	0.836	1.608
1.639 86.192 1.676	0.318	23.556	0.273	7.8221985005E+000	1.9497330201E+000	-2.0262313903E+000	0.814	1.663



O: 1:		421 212			
Studio	aı	compatibilit	וחו בי	noloano	ıra
Otaalo	u	COMPANDIN	la iui	oquolog	ıoa

Foglio 38 di Fogli 57

Impianto agrivoltaico Montenero di Bisaccia 19.5

Dottor Geologo Di Berardino Giancarlo Rocco

04/2023

86.286 1.690	0.313	23.582	0.285	7.6293880131E+000	1.8835735384E+000	-2.0620846157E+000	0.807	1.684
86.565 1.735	0.292	23.662	0.288	7.0399799120E+000	1.6854994958E+000	-2.1193722755E+000	0.782	1.755
86.844	0.271	23.743	0.293	6.4479404617E+000	1.4919292955E+000	-2.1532224468E+000	0.756	1.838
1.784 86.997	0.261	23.789	0.313	6.1149852572E+000	1.3851072823E+000	-2.2129693699E+000	0.740	1.891
1.815 87.276	0.243	23.878	0.335	5.4760517749E+000	1 1953133/13⊑±000	-2.3426770295E+000	0.707	2.011
1.882	0.243	23.070	0.333	3.4700317749L+000	1.1033132412E+000	-2.3420770293L+000	0.707	2.011
87.554	0.233	23.976	0.353	4.8090561045E+000	9.8670029643E-001	-2.3753297906E+000	0.670	2.171
1.965	0.000	04.005	0.050	4.04704044005+000	0.4740007000 004	0.07005007045+000	0.000	0.004
87.805 2.052	0.226	24.065	0.352	4.2178181482E+000	8.1/1336/333E-001	-2.2796583784E+000	0.633	2.361
88.084	0.209	24.162	0.346	3.6071492463E+000	6.5060989386E-001	-2.1044221534E+000	0.589	2.632
2.155								
88.363 2.257	0.192	24.258	0.343	3.0447045669E+000	5.0743751944E-001	-1.9450664378E+000	0.544	2.992
88.641	0.174	24.354	0.327	2.5228687701E+000	3.8333384874E-001	-1.7060682195E+000	0.496	3.480
2.348	• • • • • • • • • • • • • • • • • • • •		****					
88.920	0.148	24.440	0.314	2.0936540395E+000	2.9095396454E-001	-1.5614605695E+000	0.454	4.034
2.399 88.960	0.145	24.454	0.316	2.0308807999E+000	2 7006202706E 004	-1.5380869790E+000	0.447	4.127
2.405	0.143	24.434	0.510	2.0300007999E+000	2.7000392700E-001	-1.5560609790E+000	0.447	4.121
89.239	0.117	24.541	0.318	1.6534391655E+000	2.0682113268E-001	-1.2907211369E+000	0.409	4.749
2.404								
89.518	0.091	24.631	0.329	1.3113661850E+000	1.4907188268E-001	-1.2317528599E+000	0.371	5.490
2.369 89.796	0.068	24.725	0.350	9.6679651332E-001	9.3800969198F-002	-1.2237711356E+000	0.317	6.531
2.271	0.000	24.720	0.000	0.00700010022 001	0.0000000100L 00Z	1.22017 110002 1000	0.017	0.001
90.000	0.058	24.800	0.376	7.1932527040E-001	5.8801850917E-002	-1.1457689858E+000	0.267	6.611
2.121 90.279	0.048	24.906	0.378	4.2624031113E-001	2 22067756905 002	-9.0425138606E-001	0.179	4.616
1.904	0.046	24.900	0.376	4.2024031113E-001	2.3290773009E-002	-9.0423130000E-001	0.179	4.010
90.557	0.037	25.011	0.369	2.1524885201E-001	6.0506355742E-003	-6.2334720256E-001	0.092	2.665
1.696								
90.836 1.523	0.022	25.112	0.363	7.8754390601E-002	9.4767980700E-004	-3.7214334229E-001	0.049	1.879
91.115	0.007	25.213	0.363	7.7969354289E-003	3 5816764480F-005	-1.2243369379E-001	0.049	12.485
8.300	0.007	20.210	0.000	7.1.30000-2001-000	3.33 101 04400L-000	1.22 1000007 02 001	3.0-0	12.400

# LEGENDA SIMBOLI

: Ascissa sinistra concio X(m)

: Altezza linea di thrust da nodo sinistro base concio ht(m)

yt(m) : coordinata Y linea di trust

: gradiente pendenza locale linea di trust yt'(-) E(x)(kN/m): Forza Normale interconcio T(x)(kN/m): Forza Tangenziale interconcio

E' (kN) : derivata Forza normale interconcio
Rho(x) (-) : fattore mobilizzazione resistenza al taglio verticale interconcio ZhU et al.(2003)
FS\_qFEM(x)(-) : fattore di sicurezza locale stimato (locale in X) by qFEM

FS\_srmFEM(x)(-): fattore di sicurezza locale stimato (locale in X) by SRM Procedure

### TABELLA SFORZI DI TAGLIO DISTRIBUITI LUNGO SUPERFICIE INDIVIDUATA CON MINOR FS

Χ	dx	dl al	pha TauS	Stress Ta	auF Tau	Strength	TauS
(m)	(m)	(m)	(°) (kPa	a) (kN/r	n) (kPa	a) (kN/n	n)
64.765	0.279	0.280	4.438	0.043	0.012	0.120	0.034
65.044	0.279	0.280	4.438	0.130	0.036	0.361	0.101
65.322	0.279	0.280	4.438	0.217	0.061	0.602	0.168
65.601	0.279	0.280	4.438	0.304	0.085	0.846	0.236
65.880	0.279	0.280	4.438	0.390	0.109	1.091	0.305
66.159	0.279	0.280	4.438	0.477	0.133	1.332	0.372
66.437	0.279	0.280	4.438	0.564	0.158	1.574	0.440
66.716	0.279	0.280	4.438	0.651	0.182	1.816	0.508
66.995	0.000	0.000	4.438	0.694	0.000	1.936	0.001



Impianto agrivoltaico Montenero di Bisaccia 19.5 Foglio 39 di Fogli 57

Dottor Geologo Di Berardino Giancarlo Rocco

66.995	0.279	0.280	4.438	0.738	0.206	2.061	0.576
67.274	0.226	0.227	4.438	0.816	0.185	2.284	0.518
67.500	0.279	0.280	4.438	0.917	0.256	2.568	0.718
67.779	0.279	0.280	4.438	1.047	0.293	2.938	0.821
	0.099	0.100	4.438	1.135	0.113	3.197	0.319
68.057							
68.157	0.279	0.280	4.438	1.224	0.342	3.449	0.964
68.436	0.279	0.280	4.438	1.354	0.378	3.827	1.070
68.714	0.271	0.272	4.438	1.482	0.403	4.202	1.142
68.985	0.279	0.280	4.438	1.611	0.450	4.570	1.278
69.264	0.279	0.280	4.438	1.741	0.487	4.957	1.386
69.543	0.191	0.191	4.438	1.851	0.354	5.271	1.008
							1.558
69.733	0.279	0.280	4.438	1.960	0.548	5.575	
70.012	0.279	0.280	4.438	2.091	0.584	5.959	1.666
70.291	0.103	0.104	4.438	2.180	0.226	6.220	0.644
70.394	0.279	0.280	4.438	2.269	0.634	6.470	1.809
70.673	0.279	0.280	4.438	2.400	0.671	6.864	1.919
70.952	0.113	0.113	4.438	2.491	0.282	7.119	0.805
71.064	0.279	0.280	4.438	2.583	0.722	7.399	2.068
71.343	0.279	0.280	4.438	2.713	0.758	7.795	2.179
71.622	0.116	0.116	4.438	2.805	0.326	8.060	0.937
71.738	0.279	0.280	4.438	2.897	0.810	8.342	2.332
72.016	0.279	0.280	4.438	3.028	0.846	8.738	2.443
72.295	0.128	0.128	4.438	3.123	0.401	9.010	1.156
72.423	0.279	0.280	4.438	3.218	0.900	9.290	2.597
72.702	0.279	0.280	4.438	3.348	0.936	9.671	2.704
72.980	0.139	0.139	4.438	3.446	0.480	9.943	1.385
73.119	0.279	0.280	5.586	3.962	1.109	10.106	2.830
73.398	0.279	0.280	5.586	4.087	1.145	10.400	2.912
73.677	0.095	0.096	5.586	4.172	0.400	10.590	1.014
73.772	0.279	0.281	6.841	4.739	1.330	10.665	2.994
74.051	0.279	0.281	6.841	4.855	1.363	10.890	3.057
74.330	0.083	0.083	6.841	4.930	0.411	11.047	0.921
74.412	0.279	0.282	8.162	5.531	1.558	11.045	3.110
74.691	0.279	0.282	8.162	5.630	1.585	11.213	3.157
74.970	0.068	0.069	8.162	5.691	0.392	11.323	0.779
75.038	0.279	0.283	9.457	6.278	1.774	11.273	3.185
75.317	0.279	0.283	9.457	6.354	1.796	11.386	3.217
75.595	0.091	0.093	9.457	6.405	0.593	11.459	1.060
75.687	0.279	0.284	10.744	6.979	1.980	11.376	3.227
75.965	0.279	0.284	10.744	7.027	1.994	11.432	3.243
76.244	0.069	0.070	10.744	7.057	0.493	11.467	0.801
76.313	0.279	0.285	12.035	7.606	2.168	11.343	3.233
76.591	0.279	0.285	12.035	7.620	2.172	11.348	3.234
76.870	0.083	0.085	12.035	7.629	0.648	11.352	0.965
76.953	0.279	0.286	13.243	8.112	2.323	11.205	3.208
77.232	0.279	0.286	13.243	8.090	2.316	11.163	3.197
77.511	0.096	0.099	13.243	8.075	0.796	11.138	1.099
77.607	0.279	0.288	14.335	8.472	2.437	10.973	3.157
77.885	0.279	0.288	14.335	8.412	2.420	10.890	3.133
78.164	0.139	0.143	14.335	8.368	1.196	10.830	1.548
78.303	0.279	0.288	14.341	8.325	2.395	10.769	3.098
78.581	0.279	0.288	14.341	8.265	2.378	10.690	3.075
78.860	0.128	0.132	14.341	8.222	1.083	10.633	1.401
78.988	0.279	0.288	14.346	8.180	2.353	10.575	3.042
79.267	0.279	0.288	14.346	8.120	2.336	10.497	3.020
79.545	0.116	0.119	14.346	8.078	0.965	10.443	1.248
79.661	0.279	0.288	14.352	8.037	2.312	10.387	2.988
79.940	0.279	0.288	14.352	7.977	2.295	10.309	2.966
80.218	0.113	0.116	14.352	7.935	0.922	10.255	1.192
80.331	0.279	0.288	14.358	7.895	2.271	10.200	2.935
80.610	0.279	0.288	14.358	7.834	2.254	10.122	2.912
80.889	0.103	0.107	14.358	7.793	0.831	10.069	1.073
80.992	0.279	0.288	14.364	7.754	2.231	10.015	2.881
81.271	0.279	0.288	14.364	7.693	2.213	9.937	2.859
81.549	0.112	0.115	14.364	7.650	0.882	9.882	1.139
81.661	0.279	0.288	14.370	7.610	2.190	9.826	2.827
81.940	0.279	0.288	14.370	7.549	2.172	9.748	2.805
82.218	0.114	0.118	14.370	7.506	0.883	9.692	1.140
82.332	0.279	0.288	14.375	7.465	2.148	9.635	2.772



Studio	di	com	patibilità	idroged	logica

Foglio 40 di Fogli 57

Impianto agrivoltaico Montenero di Bisaccia 19.5 Dottor Geologo Di Berardino Giancarlo Rocco

04/2023

82.611	0.279	0.288	14.375	7.404	2.130	9.555	2.749
82.890	0.124	0.128	14.375	7.360	0.943	9.498	1.217
83.014	0.279	0.288	14.381	7.318	2.106	9.439	2.716
83.293	0.279	0.288	14.381	7.257	2.088	9.357	2.692
83.571	0.133	0.137	14.381	7.212	0.988	9.297	1.273
83.704	0.279	0.289	15.370	7.469	2.159	9.131	2.639
83.983	0.279	0.289	15.370	7.371	2.131	9.009	2.604
84.261	0.097	0.100	15.370	7.304	0.734	8.927	0.897
84.358	0.279	0.291	16.427	7.541	2.191	8.731	2.537
84.637	0.279	0.291	16.427	7.399	2.150	8.566	2.489
84.916	0.086	0.090	16.427	7.306	0.659	8.458	0.762
85.002	0.279	0.292	17.522	7.501	2.192	8.234	2.407
85.281	0.279	0.292	17.522	7.310	2.137	8.025	2.346
85.560	0.075	0.078	17.522	7.190	0.563	7.893	0.618
85.634	0.279	0.294	18.593	7.323	2.153	7.649	2.249
85.913	0.279	0.294	18.593	7.081	2.082	7.397	2.175
86.192	0.094	0.100	18.593	6.919	0.688	7.229	0.719
86.286	0.279	0.297	19.989	7.045	2.089	6.921	2.053
86.565	0.279	0.297	19.989	6.731	1.996	6.614	1.962
86.844	0.153	0.163	19.989	6.487	1.060	6.376	1.041
86.997	0.279	0.299	21.095	6.432	1.921	6.038	1.804
87.276	0.279	0.299	21.095	6.057	1.809	5.690	1.700
87.554	0.251	0.269	21.095	5.700	1.531	5.356	1.438
87.805	0.279	0.301	22.091	5.473	1.646	4.934	1.484
88.084	0.279	0.301	22.091	5.040	1.516	4.539	1.365
88.363	0.279	0.301	22.091	4.607	1.386	4.146	1.247
88.641	0.279	0.301	22.091	4.174	1.255	3.747	1.127
88.920	0.040	0.043	22.091	3.926	0.170	3.526	0.153
88.960	0.279	0.302	22.607	3.717	1.122	3.263	0.985
89.239	0.279	0.302	22.607	3.252	0.982	2.853	0.861
89.518	0.279	0.302	22.607	2.788	0.842	2.448	0.739
89.796	0.204	0.221	22.607	2.386	0.527	2.096	0.462
90.000	0.279	0.302	22.607	1.971	0.595	1.729	0.522
90.279	0.279	0.302	22.607	1.480	0.447	1.294	0.391
90.557	0.279	0.302	22.607	0.990	0.299	0.862	0.260
90.836	0.279	0.302	22.607	0.499	0.151	0.434	0.131
91.115	0.144	0.156	22.607	0.127	0.020	0.110	0.017

LEGENDA SIMBOLI

X(m) : Ascissa sinistra concio
dx(m) : Larghezza concio
dl(m) : lunghezza base concio
alpha(°) : Angolo pendenza base concio
TauStress(kPa) : Sforzo di taglio su base concio
TauF (kN/m) : Forza di taglio su base concio
TauStrength(kPa) : Resistenza al taglio su base concio
TauS (kN/m) : Forza resistente al taglio su base concio

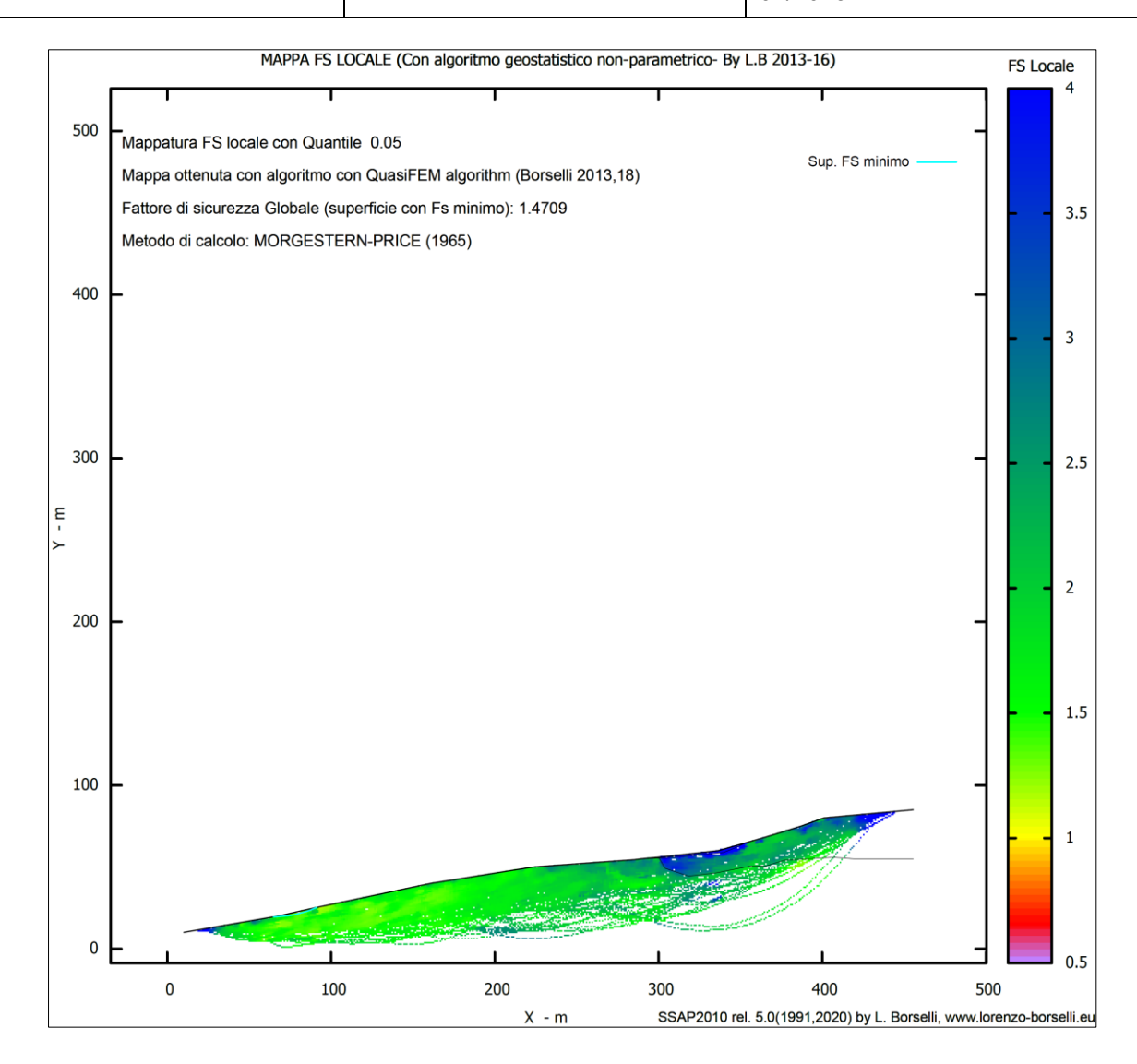
------



Studio di compatibilità idrogeologica	Studio	di	compatibilità	idrogeologica
---------------------------------------	--------	----	---------------	---------------

Foglio 41 di Fogli 57

Impianto agrivoltaico Montenero di Bisaccia 19.5 Dottor Geologo Di Berardino Giancarlo Rocco





#### Studio di compatibilità idrogeologica

Foglio 42 di Fogli 57

Impianto agrivoltaico Montenero di Bisaccia 19.5

**Dottor Geologo** Di Berardino Giancarlo Rocco

04/2023

```
PROFILO B-B'
```

```
# Report elaborazioni #
```

SSAP 5.0 - Slope Stability Analysis Program (1991,2020) WWW.SSAP.EU Build No. 11719 BY Dr. Geol. LORENZO BORSELLI \*,\*\*

\*UASLP, San Luis Potosi, Mexico e-mail: lborselli@gmail.com

CV e WEB page personale: WWW.LORENZO-BORSELLI.EU

\*\* Gia' Ricercatore CNR-IRPI fino a Luglio 2011

Ultima Revisione struttura tabelle del report: 12 settembre 2020

```
File report: C:\Users\Giancarlo\Desktop\A2\_08\CAVIDOTTO MT A\BORSELLI(2016).txt
```

SUP 4

Data: 12/10/2021 Localita': Montecilfone (CB) Descrizione: Cavidotto MT A B-B' Modello pendio: B-B'\_rev1.mod

SUP 2

--- PARAMETRI DEL MODELLO DEL PENDIO -----

\_\_\_ PARAMETRI GEOMETRICI - Coordinate X Y (in m) \_\_\_

SUP 3

Х Υ Χ Υ Χ Υ Х Υ 10.00 10.00 297.35 43.80 288.35 42.50 172.50 30.00 301.30 41.00 298.20 42.95 203.00 35.00 305.10 38.40 306.30 44.05 271.50 40.00 309.10 36.55 331.95 49.85 288.35 42.50 317.05 34.85 345.35 54.20 297.35 43.80 328.65 35.80 361.50 60.00 305.50 45.00 341.55 40.30 344.00 55.00 327.00 50.00 359.25 42.20 327.00 50.00 344.00 55.00 362.55 42.70 305.50 45.00 361.50 60.00 371.50 42.45 297.35 43.80 387.50 65.00 387.50 45.70 288.35 42.50

## ASSENZA DI FALDA ##

SUP T.

#### ----- PARAMETRI GEOMECCANICI ------

fi`	C,	Cu	Gamm	Gamm	_sat STF	R_IDX	sgci	GSI	mi	D
STRATO 1	43.00	0.00	0.00	22.35	23.24	3.504	0.00	0.00	0.00	0.00
STRATO 2	24.24	0.00	0.00	19.31	20.79	1.336	0.00	0.00	0.00	0.00
STRATO 3	29.34	42.16	0.00	18.33	19.51	4.335	0.00	0.00	0.00	0.00

LEGENDA: fi`\_ Angolo di attrito interno efficace(in gradi)

Coesione efficace (in Kpa) Cu

Resistenza al taglio Non drenata (in Kpa) Peso di volume terreno fuori falda (in KN/m^3) Gamm Gamm\_sat \_\_ Peso di volume terreno immerso (in KN/m^3)

Indice di resistenza (usato in solo in 'SNIFF SEARCH) (adimensionale)

---- SOLO Per AMMASSI ROCCIOSI FRATTURATI - Parametri Critério di Rottura di Hoek (2002)-

\_\_ Resistenza Compressione Uniassiale Roccia Intatta (in MPa) Geological Strenght Index ammasso(adimensionale)

Indice litologico ammasso(adimensionale)

Fattore di disturbo ammasso(adimensionale)

Fattore di riduzione NTC2018: gammaPHI=1.25 e gammaC=1.25 - DISATTIVATO (solo per ROCCE) Uso CRITERIO DI ROTTURA Hoek et al. (2002, 2006) - non-lineare - Generalizzato, secondo Lei et al. (2016)

-- INFORMAZIONI GENERAZIONE SUPERFICI RANDOM --\*\*\* PARAMETRI PER LA GENERAZIONE DELLE SUPERFICI METODO DI RICERCA: RANDOM SEARCH

FILTRAGGIO SUPERFICI: ATTIVATO



#### Studio di compatibilità idrogeologica

Foglio 43 di Fogli 57

Impianto agrivoltaico Montenero di Bisaccia 19.5

Dottor Geologo Di Berardino Giancarlo Rocco

04/2023

COORDINATE X1,X2,Y OSTACOLO : 0.00 0.00 0.00 LUNGHEZZA MEDIA SEGMENTI (m): 15.1 (+/-) 50%

INTERVALLO ASCISSE RANDOM STARTING POINT (Xmin .. Xmax): 17.55 357.30

LIVELLO MINIMO CONSIDERATO (Ymin): 0.00

INTERVALLO ASCISSE AMMESSO PER LA TERMINAZIONE (Xmin .. Xmax): 55.30 379.95

\*\*\* TOTALE SUPERFICI GENERATE: 500

----- INFORMAZIONI PARAMETRI DI CALCOLO ------

METODO DI CALCOLO: BORSELLI (Borselli, 2016)

METODO DI ESPLORAZIONE CAMPO VALORI (lambda0,Fs0) ADOTTATO : B (piu' accurato)

COEFFICIENTE SISMICO UTILIZZATO Kh : 0.0840

COEFFICIENTE SISMICO UTILIZZATO Kv (assunto Positivo): 0.0420

COEFFICIENTE c=Kv/Kh UTILIZZATO: 0.5000

FORZA ORIZZONTALE ADDIZIONALE IN TESTA (kN/m): 0.00 FORZA ORIZZONTALE ADDIZIONALE ALLA BASE (kN/m): 0.00

N.B. Le forze orizzontali addizionali in testa e alla base sono poste uguali a 0 durante le tutte le verifiche globali.

I valori >0 impostati dall'utente sono utilizzati solo in caso di verifica singola

----- RISULTATO FINALE ELABORAZIONI ------

```
Fattore di sicurezza (FS) 1.8542 - Min. - X
                                                 Lambda= 0.2512
                         182.47 31.63
                         184.35 31.44
                         185.30 31.35
                         185.96 31.29
                         186.54 31.26
                         187.08 31.24
                         187.60 31.23
                         188.14 31.23
                         188.70 31.24
                         189.30 31.26
                         189.84 31.29
                         190.37
                                31.33
                         190.89 31.38
                         191.42 31.45
                         191.93 31.53
                         192.45 31.62
                         193.00 31.74
                         193.59 31.87
                         194.15 32.01
                         194.69
                                32.14
                         195.22 32.29
                         195.76 32.44
                         196.28 32.59
                         196.82 32.76
                         197.36 32.93
                         197.92
                                33.12
                         198.47 33.31
                         199.02 33.49
                         199.56 33.66
                         200.10 33.83
                         200.71 34.03
                         201.38 34.24
                         202.33 34.53
                         204.17 35.09
```

Fattore di sicurezza (FS) 1.8551 - N.2 -- X Y Lambda= 0.2520

172.86 30.06 174.79 29.77 175.72 29.65 176.36 29.59 176.90 29.57

<sup>\*</sup> DATI RELATIVI ALLE 10 SUPERFICI GENERATE CON MINOR Fs \*



Studio	di compatibilità	à idrogeologica

Foglio 44 di Fogli 57

Impianto agrivoltaico Montenero di Bisaccia 19.5

Dottor Geologo Di Berardino Giancarlo Rocco

04/2023

```
177.41 29.58
177.90 29.61
178.41
       29.66
178.94 29.73
179.56 29.84
180.12
       29.93
180.66 30.01
181.19 30.08
181.72 30.14
182.24 30.19
182.78 30.23
183.33 30.27
183.93 30.30
184.47
       30.34
184.99 30.39
185.49 30.46
186.01
       30.55
186.51 30.66
187.03 30.78
187.57
       30.93
188.17 31.10
188.73 31.28
189.26 31.45
189.79 31.64
190.31
       31.83
190.89 32.06
191.55 32.34
192.49 32.75
194.35 33.58
```

Fattore di sicurezza (FS) 1.8961 - N.3 -- X

```
.8961 - N.3 -- X Y Lambda= 0.2780
174.49 30.33
```

```
177.32 30.51
178.79 30.61
179.83 30.68
180.77
       30.74
181.60 30.81
182.44
       30.87
183.27
       30.94
184.12 31.02
184.98 31.09
185.81 31.17
186.64 31.26
187.46 31.35
188.29 31.45
189.11
       31.56
189.95 31.68
190.79 31.80
191.66 31.94
192.51 32.06
193.33 32.18
194.15 32.28
194.98 32.38
195.81 32.46
196.66 32.54
197.53 32.62
198.47
       32.69
199.30 32.78
200.09 32.89
200.86 33.03
201.67 33.21
202.52 33.44
203.52 33.76
204.97 34.26
207.95 35.36
```



Studio di compatibilità idroge
--------------------------------

Impianto agrivoltaico Montenero di Bisaccia 19.5

Foglio 45 di Fogli 57

Dottor Geologo Di Berardino Giancarlo Rocco

04/2023

```
156.10 27.98
159.19 28.17
160.78 28.26
161.91 28.32
162.93 28.37
163.84 28.41
164.74 28.45
165.65 28.48
166.57
       28.50
167.49 28.53
168.41 28.56
169.31 28.59
170.21 28.63
171.12 28.67
172.02 28.72
172.93 28.78
173.85 28.84
174.79 28.91
175.71 28.98
176.61 29.06
177.50 29.15
178.40 29.25
179.30 29.36
180.22 29.48
181.17
       29.61
182.18 29.76
183.09 29.92
183.96 30.10
184.79 30.31
185.68 30.56
186.62 30.87
187.71 31.28
189.29 31.92
192.52 33.28
```

```
Fattore di sicurezza (FS) 1.9260 - N.5 -- X Y Lambda= 0.2472
```

181.19 31.42 182.76 30.93 183.53 30.70 184.07 30.55 184.53 30.44 184.97 30.35 185.39 30.28 185.83 30.21 186.29 30.16 186.82 30.11 187.27 30.09 187.70 30.08 188.10 30.09 188.53 30.12 188.93 30.16 189.35 30.23 189.78 30.32 190.28 30.43 190.75 30.54 191.20 30.64 191.66 30.74 192.10 30.83 192.55 30.93 193.00 31.03 193.47 31.12 193.95 31.22 194.39 31.33 194.81 31.44 195.22 31.57 195.65 31.72 196.07 31.87

196.49 32.05



Studio di compatibilità idrogeologica	dio di com	patibilità i	drogeologica
---------------------------------------	------------	--------------	--------------

Foglio 46 di Fogli 57

Impianto agrivoltaico Montenero di Bisaccia 19.5

Dottor Geologo Di Berardino Giancarlo Rocco

04/2023

```
196.93 32.25
                         197.41 32.48
                         197.87 32.71
                         198.33 32.92
                         198.78 33.14
                         199.22 33.35
                         199.73 33.59
                         200.28 33.85
                         201.06 34.22
                         202.57 34.93
Fattore di sicurezza (FS) 1.9441 - N.6 -- X
                                                 Lambda= 0.2495
                         171.50 29.88
                         174.76 29.42
                         176.42 29.20
                         177.58 29.06
                         178.62 28.96
                         179.55 28.87
                         180.48 28.80
                         181.43 28.74
                         182.40 28.70
                         183.43 28.66
                         184.39 28.64
                         185.31
                                28.65
                         186.21 28.67
                         187.14 28.72
                         188.05 28.79
                         188.99 28.88
                         189.97 29.00
                         191.06 29.16
                         192.02 29.32
                         192.93 29.51
                         193.81 29.73
                         194.72 29.99
                         195.59 30.27
                         196.50 30.60
                         197.45 30.98
                         198.50 31.44
                         199.49 31.85
                         200.45 32.25
                         201.39 32.62
                         202.33 32.98
                         203.37
                                33.37
                         204.54 33.79
                         206.20 34.36
                         209.45 35.47
Fattore di sicurezza (FS)
                       1.9475 - N.7 -- X
                                                 Lambda= 0.2416
                         164.51 29.02
                         167.77 27.76
                         169.33 27.19
                         170.39 26.86
                         171.27 26.62
                         172.13 26.45
                         172.93 26.34
                         173.78 26.26
                         174.69 26.22
                         175.77 26.22
                         176.71 26.23
                         177.60 26.27
                         178.45 26.34
                         179.33 26.43
                         180.16 26.54
                         181.02 26.69
                         181.91 26.86
```

182.88 27.07 183.82 27.28



Studio di compatibilità idrogeologica	dio di com	patibilità i	drogeologica
---------------------------------------	------------	--------------	--------------

Foglio 47 di Fogli 57

Impianto agrivoltaico Montenero di Bisaccia 19.5

Dottor Geologo Di Berardino Giancarlo Rocco

04/2023

```
184.73 27.49
                         185.63 27.70
                         186.52 27.91
                         187.42 28.13
                         188.33 28.35
                         189.25 28.58
                         190.20 28.82
                         191.09 29.07
                         191.96
                                29.33
                         192.82 29.60
                         193.70 29.90
                         194.56 30.21
                         195.44 30.55
                         196.33 30.91
                         197.28 31.31
                         198.21 31.70
                         199.11
                                32.07
                         200.00 32.43
                         200.90 32.79
                         201.90 33.18
                         203.01 33.61
                         204.58 34.20
                         207.64 35.34
Fattore di sicurezza (FS) 1.9580 - N.8 -- X
                                                 Lambda= 0.2388
                         155.71 27.93
                         160.37 27.88
                         162.78 27.85
                         164.49 27.84
                         166.03 27.83
                         167.40 27.83
                         168.78 27.83
                         170.16 27.83
                         171.57 27.84
                         172.99 27.85
                         174.36 27.88
                         175.71 27.92
                         177.04 27.98
                         178.40 28.06
                         179.74 28.16
                         181.09 28.27
                         182.47 28.40
                         183.89 28.56
                         185.29 28.71
                         186.67 28.87
                         188.05 29.04
                         189.41 29.21
                         190.80 29.38
                         192.20 29.57
                         193.66 29.76
                         195.17 29.97
                         196.52
                                30.20
                         197.82 30.48
                         199.07 30.79
                         200.40 31.18
                         201.80 31.67
                         203.43 32.32
                         205.82 33.35
                         210.74 35.56
Fattore di sicurezza (FS)
                       1.9699 - N.9 -- X
                                                 Lambda= 0.2313
                         164.84 29.06
                         166.18 29.07
                         166.88 29.07
                         167.38 29.08
```

167.83 29.08 168.23 29.09



Foglio 48 di Fogli 57

Impianto agrivoltaico Montenero di Bisaccia 19.5

Dottor Geologo Di Berardino Giancarlo Rocco

04/2023

```
168.63 29.09
                         169.03 29.09
                         169.43 29.10
                         169.83 29.10
                         170.23 29.10
                         170.62 29.11
                         171.02 29.12
                         171.41 29.13
                         171.81 29.14
                         172.21 29.16
                         172.62 29.17
                         173.04 29.19
                         173.44 29.22
                         173.83 29.25
                         174.20 29.29
                         174.60 29.34
                         174.98 29.39
                         175.37 29.46
                         175.79 29.53
                         176.23 29.62
                         176.64 29.72
                         177.02 29.82
                         177.39 29.93
                         177.78 30.05
                         178.19 30.21
                         178.67 30.41
                         179.36 30.71
                         180.77 31.36
Fattore di sicurezza (FS) 1.9864 - N.10 -- X
                                                  Lambda= 0.2392
                         156.04 27.97
                         160.84 27.05
                         163.18 26.64
                         164.80 26.40
                         166.20 26.24
                         167.51 26.15
                         168.76 26.11
                         170.05 26.10
                         171.38 26.14
                         172.84 26.22
                         174.25 26.30
                         175.63 26.38
                         177.00 26.46
                         178.34 26.54
                         179.71 26.62
                         181.10 26.71
                         182.53 26.81
```

184.01 26.91 185.33 27.04 186.61 27.22 187.83 27.44 189.13 27.72 190.36 28.05 191.64 28.43 192.97 28.89 194.45 29.44 195.87 29.98 197.26 30.50 198.63 31.03 199.97 31.54 201.49 32.13 203.17 32.79 205.54 33.72 210.11 35.52



Foglio 49 di Fogli 57

Impianto agrivoltaico Montenero di Bisaccia 19.5

Dottor Geologo Di Berardino Giancarlo Rocco

04/2023

# Analisi Deficit in riferimento a FS(progetto) = 1.100

Sup I	N. FS	FTR(kN/m	) FTA(	kN/m) Bila	ancio(kN/m)	<b>ESITO</b>
1	1.854	196.1	105.8	79.8	Surplus	
2	1.855	212.9	114.8	86.7	Surplus	
3	1.896	289.3	152.6	121.5	Surplus	
4	1.922	333.4	173.5	142.5	Surplus	
5	1.926	321.4	166.9	137.8	Surplus	
6	1.944	811.0	417.2	352.1	Surplus	
7	1.948	1207.3	619.9	525.4	Surplus	
8	1.958	1155.8	590.3	506.5	Surplus	
9	1.970	86.1	43.7	38.0	Surplus	
10	1.986	1572.0	791.4	701.5	Surplus	

Esito analisi: SURPLUS di RESISTENZA!

Valore minimo di SURPLUS di RESISTENZA (kN/m): 38.0

Note: FTR --> Forza totale Resistente lungo la superficie di scivolamento

FTA --> Forza totale Agente lungo la superficie di scivolamento

IMPORTANTE!: Il Deficit o il Surplus di resistenza viene espresso in kN per metro di LARGHEZZA rispetto al fronte della scarpata

### TABELLA PARAMETRI CONCI DELLA SUPERFICIE INDIVIDUATA CON MINOR FS

X	dx	alpha		W	ru	ι		phi'	(c',Cu)	
(m)	(m)	(°)	(kN	l/m)	(-)	(kF	Pa)	(°)	(kPa)	
182.471	0.248		.00	0.17		.00		0.00	24.24	0.00
182.719	0.248	-6	.00	0.50	C	0.00		0.00	24.24	0.00
182.967	0.248		.00	0.83		.00		0.00	24.24	0.00
183.215	0.248	-6	.00	1.17	C	.00		0.00	24.24	0.00
183.463	0.248		.00	1.50		.00		0.00	24.24	0.00
183.712	0.248	-6	.00	1.83	C	0.00		0.00	24.24	0.00
183.960	0.248		.00	2.16		.00		0.00	24.24	0.00
184.208	0.144		.00	1.41		.00		0.00	24.24	0.00
184.352	0.248	-5	.49	2.69	C	.00		0.00	24.24	0.00
184.600	0.248	-5	.49	3.01	C	0.00		0.00	24.24	0.00
184.848	0.248	-5	.49	3.33	C	.00		0.00	24.24	0.00
185.096	0.202		.49	2.94		.00		0.00	24.24	0.00
185.298	0.248	-4	.51	3.90	C	0.00		0.00	24.24	0.00
185.546	0.248		.51	4.20		0.00		0.00	24.24	0.00
185.794	0.166		.51	2.99		.00		0.00	24.24	0.00
185.960	0.248		.44	4.69		.00		0.00	24.24	0.00
186.208	0.248		.44	4.97	C	0.00		0.00	24.24	0.00
186.456	0.087		.44	1.82		0.00		0.00	24.24	0.00
186.543	0.248		.11	5.33		.00		0.00	24.24	0.00
186.791	0.248		.11	5.58	C	0.00		0.00	24.24	0.00
187.040	0.038		.11	0.88		0.00		0.00	24.24	0.00
187.078	0.248		.07	5.86		.00		0.00	24.24	0.00
187.326	0.248		.07	6.08		.00		0.00	24.24	0.00
187.574	0.028		.07	0.70		.00		0.00	24.24	0.00
187.602	0.248		.05	6.32		0.00		0.00	24.24	0.00
187.850	0.248		.05	6.53		.00		0.00	24.24	0.00
188.098	0.042		.05	1.13		.00		0.00	24.24	0.00
188.140	0.248		.93	6.75		.00		0.00	24.24	0.00
188.388	0.248		.93	6.94		.00	(	0.00	24.24	0.00
188.636	0.061		.93	1.72		.00		0.00	24.24	0.00
188.697	0.248		.80	7.16		.00		0.00	24.24	0.00
188.945	0.248		.80	7.32		.00		0.00	24.24	0.00
189.193	0.104		.80	3.10		.00		0.00	24.24	0.00
189.296	0.248		.03	7.54		.00		0.00	24.24	0.00
189.544	0.248	3.	.03	7.68		.00	(	0.00	24.24	0.00
189.792	0.052		.03	1.62		.00		0.00	24.24	0.00
189.844	0.248	4.	.43	7.83	0	.00	(	0.00	24.24	0.00



Studio di compatibilità idrogeologica

Impianto agrivoltaico Montenero di Bisaccia 19.5 Foglio 50 di Fogli 57

Dottor Geologo Di Berardino Giancarlo Rocco

400 000	0.040	4.40	7.00	0.00	0.00	04.04	0.00
190.092	0.248	4.43	7.93	0.00	0.00	24.24	0.00
190.340	0.033	4.43	1.06	0.00	0.00	24.24	0.00
190.373	0.248	5.92	8.04	0.00	0.00	24.24	0.00
190.621	0.248	5.92	8.11	0.00	0.00	24.24	0.00
190.869	0.016	5.92	0.51	0.00	0.00	24.24	0.00
190.885	0.248	7.40	8.18	0.00	0.00	24.24	0.00
191.133	0.248	7.40	8.22	0.00	0.00	24.24	0.00
191.381	0.034	7.40	1.13	0.00	0.00	24.24	0.00
191.415	0.248	8.87	8.25	0.00	0.00	24.24	0.00
191.663	0.248	8.87	8.26	0.00	0.00	24.24	0.00
191.911	0.015	8.87	0.50	0.00	0.00	24.24	0.00
191.926	0.248	10.33 10.33	8.25 8.23	0.00	0.00	24.24	0.00
192.174 192.422	0.248 0.031	10.33	0.23 1.04	0.00	0.00	24.24 24.24	0.00
192.422	0.031	11.68	8.19	0.00 0.00	0.00	24.24	0.00
192.434	0.248	11.68	8.14	0.00	0.00	24.24	0.00
192.762	0.049	11.68	1.59	0.00	0.00	24.24	0.00
192.999	0.248	12.87	8.06	0.00	0.00	24.24	0.00
193.247	0.248	12.87	7.98	0.00	0.00	24.24	0.00
193.495	0.096	12.87	3.08	0.00	0.00	24.24	0.00
193.591	0.248	13.54	7.86	0.00	0.00	24.24	0.00
193.839	0.248	13.54	7.77	0.00	0.00	24.24	0.00
194.087	0.062	13.54	1.93	0.00	0.00	24.24	0.00
194.149	0.248	14.26	7.64	0.00	0.00	24.24	0.00
194.397	0.248	14.26	7.53	0.00	0.00	24.24	0.00
194.645	0.046	14.26	1.38	0.00	0.00	24.24	0.00
194.691	0.248	15.01	7.39	0.00	0.00	24.24	0.00
194.939	0.248	15.01	7.26	0.00	0.00	24.24	0.00
195.187	0.035	15.01	1.01	0.00	0.00	24.24	0.00
195.222	0.248	15.77	7.10	0.00	0.00	24.24	0.00
195.470	0.248	15.77	6.96	0.00	0.00	24.24	0.00
195.718	0.040	15.77	1.10	0.00	0.00	24.24	0.00
195.758	0.248	16.50	6.78	0.00	0.00	24.24	0.00
196.006 196.254	0.248	16.50	6.61	0.00	0.00	24.24 24.24	0.00
196.234	0.031 0.248	16.50 17.23	0.81 6.42	0.00 0.00	0.00 0.00	24.24 24.24	0.00
196.533	0.248	17.23	6.24	0.00	0.00	24.24	0.00
196.781	0.038	17.23	0.93	0.00	0.00	24.24	0.00
196.818	0.248	17.93	6.02	0.00	0.00	24.24	0.00
197.066	0.248	17.93	5.83	0.00	0.00	24.24	0.00
197.314	0.045	17.93	1.04	0.00	0.00	24.24	0.00
197.360	0.248	18.58	5.59	0.00	0.00	24.24	0.00
197.608	0.248	18.58	5.37	0.00	0.00	24.24	0.00
197.856	0.066	18.58	1.39	0.00	0.00	24.24	0.00
197.921	0.248	18.38	5.10	0.00	0.00	24.24	0.00
198.169	0.248	18.38	4.90	0.00	0.00	24.24	0.00
198.418	0.056	18.38	1.07	0.00	0.00	24.24	0.00
198.473	0.248	18.18	4.64	0.00	0.00	24.24	0.00
198.721	0.248	18.18	4.44	0.00	0.00	24.24	0.00
198.970	0.049	18.18	0.84	0.00	0.00	24.24	0.00
199.018	0.248	17.97	4.20	0.00	0.00	24.24	0.00
199.266 199.514	0.248 0.046	17.97 17.97	4.00 0.71	0.00 0.00	0.00	24.24 24.24	0.00
199.514	0.046	17.97	3.77	0.00	0.00	24.24	0.00
199.808	0.248	17.75	3.57	0.00	0.00	24.24	0.00
200.056	0.044	17.75	0.61	0.00	0.00	24.24	0.00
200.099	0.248	17.48	3.35	0.00	0.00	24.24	0.00
200.348	0.248	17.48	3.16	0.00	0.00	24.24	0.00
200.596	0.110	17.48	1.35	0.00	0.00	24.24	0.00
200.706	0.248	17.25	2.90	0.00	0.00	24.24	0.00
200.954	0.248	17.25	2.71	0.00	0.00	24.24	0.00
201.202	0.179	17.25	1.85	0.00	0.00	24.24	0.00
201.381	0.248	17.04	2.40	0.00	0.00	24.24	0.00
201.629	0.248	17.04	2.23	0.00	0.00	24.24	0.00
201.877	0.248	17.04	2.05	0.00	0.00	24.24	0.00
202.125	0.206	17.04	1.57	0.00	0.00	24.24	0.00
202.331	0.248	16.92	1.73	0.00	0.00	24.24	0.00
202.579	0.248	16.92	1.56	0.00	0.00	24.24	0.00
202.827	0.173	16.92	0.98	0.00	0.00	24.24	0.00



Studio di co	mpatibilità	idrogeolo	gica
--------------	-------------	-----------	------

Foglio 51 di Fogli 57

Impianto agrivoltaico Montenero di Bisaccia 19.5

Dottor Geologo Di Berardino Giancarlo Rocco

04/2023

203.000	0.248	16.92	1.21	0.00	0.00	24.24	0.00
203.248	0.248	16.92	0.92	0.00	0.00	24.24	0.00
203.496	0.248	16.92	0.63	0.00	0.00	24.24	0.00
203.744	0.248	16.92	0.35	0.00	0.00	24.24	0.00
203.992	0.177	16.92	0.07	0.00	0.00	24.24	0.00

.....

LEGENDA SIMBOLI

X(m) : Ascissa sinistra concio dx(m) : Larghezza concio alpha(°) : Angolo pendenza base concio

alpha(°) : Angolo pendenza base concio

W(kN/m) : Forza peso concio

ru(-) : Coefficiente locale pressione interstiziale
U(kPa) : Pressione totale dei pori base concio

phi'(°): Angolo di attrito efficace base concio c'/Cu (kPa): Coesione efficace o Resistenza al taglio in condizioni non drenate

## TABELLA DIAGRAMMA DELLE FORZE DELLA SUPERFICIE INDIVIDUATA CON MINOR FS

X	ht yt					 FEM FS srmFEM		
(m)	(m) (	m) ()	(kl	N/m) (kN/m)	E' rho(x) FS_c (kN) ()	() ()		
182.471 2.230	0.000	31.635	-0.037	0.000000000E+000	0.0000000000E+000	5.1040439117E-002	0.072	7.642
182.719	0.017	31.625	-0.037	3.2646562945E-002	5.6965823725E-004	2.1219218410E-001	0.072	7.642
2.230								
182.967 2.540	0.034	31.616	-0.034	1.0526575939E-001	3.0328892415E-003	4.8674850241E-001	0.119	6.641
183.215	0.052	31.608	-0.030	2.7411611072E-001	1.2887662108E-002	8.9166853461E-001	0.194	5.247
2.961	0.074	04.000	0.004	5 47040004455 004	0.07004400005.000	4.0570050005.000	0.000	4.000
183.463 3.138	0.071	31.602	-0.024	5.4761082415E-001	3.9792410969E-002	1.2579352893E+000	0.299	4.383
183.712	0.092	31.596	-0.018	8.9816130849E-001	8.2464484273E-002	1.5579584485E+000	0.378	3.907
3.153	0.444	04.500	0.044	4 000 400 5700 5 . 000	4 00054075075 004	4 00000005045 . 000	0.400	0.000
183.960 3.110	0.114	31.593	-0.014	1.3204935760E+000	1.3895437567E-001	1.8009996584E+000	0.433	3.606
184.208	0.137	31.589	-0.012	1.7916136168E+000	2.0515382570E-001	2.1166611180E+000	0.472	3.386
3.058 184.352	0.151	31.588	0.007	2 11/1867/1512E±000	2.5255766385E-001	2 4042338031⊑±000	0.492	3.270
3.015	0.131	31.300	-0.007	2.1140074312E+000	2.3233700303E-001	2.4042330931L+000	0.492	3.270
184.600	0.173	31.587	-0.003	2.7800831809E+000	3.5721826519E-001	2.9334063204E+000	0.529	3.085
2.917 184.848	0.197	31.587	0.002	3 5700018517E±000	4.9102550370E-001	3.3574996871E+000	0.566	2.917
2.806	0.197	31.307	0.002	3.37009103172+000	4.9102330370E-001	3.3374990071L+000	0.500	2.917
185.096	0.222	31.588	0.008	4.4456947382E+000	6.4929808272E-001	3.9034867225E+000	0.601	2.771
2.697 185.298	0.244	31.590	0.014	5 2940824748F+000	8.1507856847E-001	4.2772317834E+000	0.634	2.655
2.601			0.011	0.201002171021000	0.10070000172 001	1.277207700727000	0.001	
185.546	0.268	31.594	0.020	6.3764203335E+000	1.0369710895E+000	4.4900881698E+000	0.670	2.534
2.495 185.794	0.293	31.600	0.025	7.5215563231E+000	1.2875911573E+000	4.5651783085E+000	0.705	2.429
2.399								
185.960 2.341	0.311	31.605	0.030	8.2751796905E+000	1.4604987669E+000	4.5088393412E+000	0.727	2.370
186.208	0.333	31.612	0.036	9.3855024990E+000	1.7251564053E+000	4.6287571408E+000	0.757	2.293
2.264								
186.456 2.190	0.358	31.623	0.042	1.0571445397E+001	2.0218144403E+000	4.6968502768E+000	0.788	2.224
186.543	0.368	31.626	0.046	1.0979466782E+001	2.1269259230E+000	4.6050268883E+000	0.798	2.203
2.167								
186.791 2.108	0.388	31.638	0.050	1.2078012259E+001	2.4168589154E+000	4.4782479856E+000	0.824	2.151
187.040	0.411	31.651	0.054	1.3201066870E+001	2.7244873175E+000	4.4438330730E+000	0.850	2.103
2.051	0.444	04.050	0.050	4 0070070045 004	0.77400000405.000	4 40 400075 405 - 222	0.054	0.00=
187.078 2.043	0.414	31.653	0.058	1.33/02/6281E+001	2.7719688246E+000	4.424233/546E+000	0.854	2.097
187.326	0.433	31.668	0.062	1.4456892715E+001	3.0826839393E+000	4.3851333618E+000	0.878	2.055
1.993								



	Studio	di	com	patibilità	idroge	ologica
--	--------	----	-----	------------	--------	---------

Foglio 52 di Fogli 57

# Impianto agrivoltaico Montenero di Bisaccia 19.5

Dottor Geologo Di Berardino Giancarlo Rocco

187.574	0.454	31.684	0.066	1.5545683426E+001	3.4076547716E+000	4.6505634244E+000	0.903	2.015
1.944 187.602	0.457	31.686	0.071	1.5676527498E+001	3.4475051977E+000	4.6413099846E+000	0.906	2.011
1.939 187.850	0.475	31.704	0.074	1.6742659599E+001	3.7791109273E+000	4.2689845198E+000	0.930	1.973
1.894 188.098	0.494	31.723	0.077	1.7794314726E+001	4.1211687862E+000	4.0901725795E+000	0.954	1.934
1.851 188.140	0.497	31.726	0.083	1.7965273037E+001	4.1775189396E+000	4.0869077538E+000	0.958	1.928
1.844 188.388	0.514	31.747	0.089	1.9011342341E+001	4.5326643203E+000	4.2482945230E+000	0.982	1.889
1.802 188.636	0.533	31.770	0.093	2.0072796228E+001	4.9082774207E+000	4.1009031008E+000	1.007	1.850
1.762 188.697	0.538	31.776	0.098	2.0318942481E+001	4.9965979317E+000	4.0699295667E+000	1.013	1.841
1.752 188.945	0.555	31.800	0.104	2.1341302226E+001	5.3725048806E+000	4.0645333691E+000	1.037	1.802
1.714 189.193	0.574	31.827	0.109	2.2335304175E+001	5.7489275828E+000	3.8515157274E+000	1.060	1.764
1.679 189.296	0.582	31.838	0.114	2.2727434356E+001	5.8995901389E+000	3.7631411416E+000	1.069	1.749
1.666 189.544	0.597	31.867	0.116	2.3647012560E+001	6.2577622017E+000	3.4687109226E+000	1.090	1.713
1.635 189.792	0.613	31.896	0.116	2.4448216348E+001	6.5752701516E+000	2.9019956492E+000	1.108	1.680
1.609 189.844	0.616	31.902	0.122	2.4595244757E+001	6.6342425060E+000	2.8399114961E+000	1.111	1.674
1.604 190.092	0.628	31.933	0.123	2.5307439102E+001	6.9224090870E+000	2.5906107205E+000	1.126	1.642
1.582 190.340	0.639	31.963	0.122	2.5880412757E+001	7.1585494013E+000	1.9585265221E+000	1.139	1.614
1.564 190.373	0.640	31.967	0.130	2.5943488364E+001	7.1850347214E+000	1.9142700548E+000	1.140	1.611
1.563 190.621	0.647	32.000	0.130	2.6422955115E+001	7.3890942265E+000	1.7070789593E+000	1.152	1.584
1.548 190.869	0.653	32.031	0.128	2.6790347846E+001	7.5502968568E+000	1.3428115934E+000	1.161	1.560
1.536 190.885	0.654	32.033	0.143	2.6811195771E+001	7.5596432208E+000	1.3201762866E+000	1.161	1.558
1.536 191.133	0.657	32.069	0.144	2.7083855867E+001	7.6869361990E+000	8.9610370758E-001	1.169	1.536
1.526 191.381	0.660	32.105	0.144	2.7255741067E+001	7.7743088925E+000	4.8496344101E-001	1.175	1.515
1.520 191.415	0.661	32.110	0.157	2.7271256456E+001	7.7830650989E+000	4.2931747740E-001	1.175	1.513
1.519 191.663	0.662	32.149	0.159	2.7328615898E+001	7.8253377283E+000	3.5514501077E-002	1.179	1.495
1.514 191.911	0.662	32.189	0.159	2.7288874734E+001	7.8272698868E+000	-3.7728950623E-001	1.181	1.480
1.512 191.926	0.662	32.191	0.174	2.7282959875E+001	7.8259722175E+000	-3.9962007211E-001	1.181	1.479
1.512 192.174	0.661	32.234	0.174	2.7146964499E+001	7.7890233498E+000	-7.4434547635E-001	1.182	1.467
1.511 192.422	0.658	32.277	0.171	2.6913699848E+001	7.7115241379E+000	-1.0316879067E+000	1.180	1.458
1.513 192.454	0.658	32.282	0.172	2.6880934496E+001	7.7002097737E+000	-1.0707362782E+000	1.180	1.457
1.513 192.702	0.649	32.325	0.181	2.6561489750E+001	7.5871846886E+000	-1.4979766825E+000	1.176	1.451
1.517 192.950	0.645	32.372	0.187	2.6137807911E+001	7.4307121437E+000	-1.7026823673E+000	1.171	1.448
1.523 192.999	0.643	32.381	0.189	2.6055147797E+001	7.3998861890E+000	-1.7494024036E+000	1.170	1.448
1.525 193.247	0.634	32.428	0.198	2.5560704053E+001	7.2139999151E+000	-2.1714987130E+000	1.162	1.449
1.533 193.495	0.628	32.479	0.204	2.4977895767E+001	6.9910564666E+000	-2.3979764348E+000	1.153	1.453
1.544								



Studio	di	com	patibilità	idroge	ologica

Foglio 53 di Fogli 57

Impianto agrivoltaico Montenero di Bisaccia 19.5 Dottor Geologo Di Berardino Giancarlo Rocco

193.591 1.549	0.626	32.498	0.205	2.4745063376E+001	6.9015924723E+000	-2.4568534744E+000	1.149	1.456
193.839	0.617	32.550	0.207	2.4110050741E+001	6.6575687822E+000	-2.6297850343E+000	1.137	1.464
1.563 194.087	0.609	32.601	0.206	2.3440461514E+001	6.4005277942E+000	-2.7307254668E+000	1.124	1.474
1.578 194.149	0.607	32.613	0.209	2.3270389321E+001	6.3357752831E+000	-2.7620632562E+000	1.121	1.477
1.583 194.397	0.596	32.666	0.208	2.2561980590E+001	6.0676455383E+000	-2.8721076466E+000	1.107	1.490
1.600 194.645	0.584	32.717	0.204	2.1845574389E+001	5.8003328013E+000	-2.8426842247E+000	1.093	1.505
1.620 194.691	0.581	32.726	0.209	2.1715651322E+001	5.7524967393E+000	-2.8667845084E+000	1.091	1.508
1.623 194.939	0.567	32.778	0.212	2.0960920338E+001	5.4765970360E+000	-3.0808221562E+000	1.076	1.524
1.645 195.187	0.553	32.831	0.214	2.0187295859E+001	5.1989064231E+000	-3.3037239804E+000	1.061	1.544
1.669 195.222	0.551	32.838	0.220	2.0071721888E+001	5.1577560356E+000	-3.3232688905E+000	1.058	1.547
1.672 195.470	0.536	32.893	0.220	1.9258606099E+001	4.8716385522E+000	-3.3029162359E+000	1.042	1.569
1.699 195.718	0.521	32.948	0.222	1.8433188465E+001	4.5866349893E+000	-3.4640228368E+000	1.025	1.594
1.726 195.758	0.518	32.957	0.228	1.8294916132E+001	4.5393578896E+000	-3.4814853144E+000	1.022	1.599
1.731 196.006	0.501	33.013	0.229	1.7438081898E+001	4.2497099917E+000	-3.4780350033E+000	1.004	1.628
1.762 196.254	0.485	33.070	0.231	1.6569508585E+001	3.9621474405E+000	-3.6037500922E+000	0.985	1.662
1.795 196.285	0.483	33.078	0.233	1.6457929805E+001	3.9256616780E+000	-3.6047553089E+000	0.982	1.666
1.799 196.533	0.464	33.135	0.236	1.5587102612E+001	3.6441555360E+000	-3.5571495374E+000	0.963	1.704
1.835 196.781	0.447	33.195	0.242	1.4693274576E+001	3.3622632068E+000	-3.7311844893E+000	0.942	1.748
1.873 196.818	0.444	33.204	0.242	1.4552426100E+001	3.3184892392E+000	-3.7253618582E+000	0.939	1.756
1.879 197.066	0.424	33.264	0.246	1.3669581562E+001	3.0472292963E+000	-3.6063761793E+000	0.918	1.805
1.919 197.314	0.406	33.326	0.253	1.2763350179E+001	2.7760237007E+000	-3.6642719960E+000	0.896	1.862
1.964 197.360	0.403	33.338	0.253	1.2597596193E+001	2.7270869400E+000	-3.6505525919E+000	0.891	1.874
1.972 197.608	0.383	33.401	0.258	1.1713437922E+001	2.4696665139E+000	-3.5659572085E+000	0.868	1.938
2.020 197.856	0.364	33.466	0.265	1.0828571594E+001	2.2192911121E+000	-3.5960119788E+000	0.844	2.009
2.072 197.921	0.360	33.484	0.263			-3.5590123085E+000	0.837	2.030
2.087	0.342	33.549	0.261		1.9222075981E+000		0.812	2.110
2.143 198.418	0.325	33.613			1.7112736295E+000		0.787	2.196
2.200 198.473	0.322	33.629		8.7700935511E+000			0.781	2.217
2.213 198.721	0.305	33.694			1.4701449831E+000		0.756	2.314
2.273 198.970	0.288	33.758		7.3106551449E+000			0.732	2.418
2.329					1.2670477272E+000			
199.018 2.340	0.285	33.771	0.258	7.1734883531E+000			0.727	2.440
199.266 2.394	0.268	33.834	0.254	6.5159558531E+000		-2.5402683779E+000	0.704	2.558
199.514 2.441	0.250	33.897	0.250	5.9132945294E+000		-2.3615505359E+000	0.683	2.683
199.560 2.450	0.246	33.908	0.252	5.8061830010E+000	9.5709803545E-001	-2.3426094335E+000	0.679	2.708



Studio	di	com	patibilità	idroge	ologica

Foglio 54 di Fogli 57

Impianto agrivoltaico Montenero di Bisaccia 19.5

Dottor Geologo Di Berardino Giancarlo Rocco

04/2023

199.808 2.493	0.230	33.971	0.249	5.2337770812E+000	8.3599680022E-001	-2.1945591199E+000	0.658	2.852
200.056 2.530	0.211	34.031	0.247	4.7174910058E+000	7.3196400138E-001	-2.1338644974E+000	0.639	3.001
200.099 2.537	0.208	34.043	0.255	4.6238407470E+000	7.1339491431E-001	-2.1245176919E+000	0.635	3.031
200.348 2.575	0.193	34.106	0.250	4.1230329804E+000	6.1644998013E-001	-1.9154821920E+000	0.616	3.203
200.596 2.615	0.176	34.167	0.244	3.6735951553E+000	5.3279480810E-001	-1.7590199366E+000	0.597	3.374
200.706 2.635	0.168	34.194	0.261	3.4820029497E+000	4.9779538106E-001	-1.7595066413E+000	0.589	3.453
200.954 2.695	0.158	34.260	0.264	3.0321731566E+000	4.1734750742E-001	-1.7147509862E+000	0.567	3.651
201.202 2.774	0.145	34.325	0.264	2.6313374764E+000	3.4840813542E-001	-1.5906124854E+000	0.545	3.836
201.381 2.849	0.138	34.373	0.269	2.3500571178E+000	3.0132463477E-001	-1.5286979301E+000	0.528	3.972
201.629 2.978	0.128	34.440	0.272	1.9858724301E+000	2.4241607084E-001	-1.4189392415E+000	0.503	4.148
201.877 3.147	0.120	34.507	0.274	1.6461399711E+000	1.9008556733E-001	-1.3203727757E+000	0.476	4.319
202.125 3.358	0.112	34.576	0.265	1.3308528143E+000	1.4392324636E-001	-1.1607759338E+000	0.445	4.497
202.331 3.551	0.102	34.628	0.254	1.1105402465E+000	1.1397664138E-001	-1.0264452744E+000	0.423	4.643
202.579 3.806	0.089	34.691	0.250	8.6867987579E-001	8.3281610485E-002	-9.1423975203E-001	0.395	4.849
202.827 4.172	0.075	34.752	0.246	6.5699789685E-001	5.8422639678E-002	-8.4143113055E-001	0.366	5.120
203.000 4 445	0.065	34.794	0.249	5.1308054653E-001	4.2196617370E-002	-8.0119929941E-001	0.339	5.378
203.248 4.883	0.052	34.857	0.254	3.2570642918E-001	2.3637261730E-002	-6.8520811114E-001	0.299	6.051
203.496 5.352	0.040	34.920	0.250	1.7315778988E-001	1.0908678510E-002	-5.1909109391E-001	0.259	8.223
203.744 4.969	0.025	34.981	0.245	6.8192145971E-002	3.6961707215E-003	-3.2839140352E-001	0.223	20.649
203.992 2.925	0.010	35.042	0.245	1.0247121832E-002	4.4351888881E-004	-1.3106068422E-001	0.178	4.024

## LEGENDA SIMBOLI

: Ascissa sinistra concio X(m)

: Altezza linea di thrust da nodo sinistro base concio ht(m)

yt(m) : coordinata Y linea di trust

: gradiente pendenza locale linea di trust yt'(-) E(x)(kN/m): Forza Normale interconcio T(x)(kN/m): Forza Tangenziale interconcio

E' (kN) : derivata Forza normale interconcio
Rho(x) (-) : fattore mobilizzazione resistenza al taglio verticale interconcio ZhU et al.(2003)
FS\_qFEM(x)(-) : fattore di sicurezza locale stimato (locale in X) by qFEM

FS\_srmFEM(x)(-): fattore di sicurezza locale stimato (locale in X) by SRM Procedure

### TABELLA SFORZI DI TAGLIO DISTRIBUITI LUNGO SUPERFICIE INDIVIDUATA CON MINOR FS

X	dx	dl	alpha	TauSt	ress	TauF	TauSt	rength	TauS
(m)	(m)	(m)	(°)	(kPa)	(kl	N/m)	(kPa)	(kN/m	1)
182.471	0.248	0.24	9 .	-5.999	-0.01	4 -0.0	003	0.303	0.076
182.719	0.248	0.24	9 -	-5.999	-0.04	2 -0.0	010	0.911	0.227
182.967	0.248	0.24	9 -	-5.999	-0.07	0.0-	017	1.533	0.382
183.215	0.248	0.24	9 -	-5.999	-0.09	0.0-	024	2.180	0.544
183.463	0.248	0.24	9 -	-5.999	-0.12	.6 -0.0	031	2.824	0.704
183.712	0.248	0.24	9 -	-5.999	-0.15	4 -0.0	038	3.463	0.864
183.960	0.248	0.24	9 -	-5.999	-0.18	2 -0.0	045	4.091	1.020
184.208	0.144	0.14	5 -	-5.999	-0.20	4 -0.0	030	4.608	0.668
184.352	0.248	0.24	.9 -	-5.488	-0.13	0.0-	032	5.132	1.279



Impianto agrivoltaico Montenero di Bisaccia 19.5 Foglio 55 di Fogli 57

Dottor Geologo Di Berardino Giancarlo Rocco

184.600							
104.000	0.248	0.249	-5.488	-0.145	-0.036	5.789	1.443
101010							
184.848	0.248	0.249	-5.488	-0.161	-0.040	6.434	1.603
185.096	0.202	0.203	-5.488	-0.175	-0.035	7.078	1.434
185.298	0.248	0.249	-4.510	0.080	0.020	7.617	1.895
185.546	0.248	0.249	-4.510	0.086	0.021	8.231	2.048
185.794	0.166	0.167	-4.510	0.091	0.015	8.705	1.452
185.960	0.248	0.248	-3.441	0.450	0.112	9.129	2.269
186.208	0.248	0.248	-3.441	0.477	0.118	9.706	2.412
186.456	0.087	0.088	-3.441	0.495	0.043	10.050	0.880
186.543	0.248	0.248	-2.109	1.013	0.251	10.300	2.557
186.791	0.248	0.248	-2.109	1.060	0.263	10.789	2.678
187.040	0.038	0.038	-2.109	1.087	0.042	11.051	0.422
187.078	0.248	0.248	-1.074	1.540	0.382	11.250	2.791
187.326	0.248	0.248	-1.074	1.599	0.397	11.689	2.900
187.574	0.028	0.028	-1.074	1.633	0.046	11.973	0.335
187.602	0.248	0.248	-0.047	2.120	0.526	12.081	2.997
187.850	0.248	0.248	-0.047	2.188	0.543	12.471	3.093
188.098	0.042	0.042	-0.047	2.228	0.094	12.670	0.533
188.140	0.248	0.248	0.926	2.727	0.676	12.843	3.186
188.388	0.248	0.248	0.926	2.801	0.695	13.209	3.277
188.636	0.061	0.061	0.926	2.847	0.173	13.391	0.812
188.697	0.248	0.248	1.800	3.327	0.826	13.535	3.359
						13.833	
188.945	0.248	0.248	1.800	3.403	0.844		3.433
189.193	0.104	0.104	1.800	3.457	0.358	14.019	1.453
189.296	0.248	0.248	3.030	4.150	1.031	14.093	3.501
189.544	0.248	0.248	3.030	4.226	1.050	14.283	3.548
189.792	0.052	0.052	3.030	4.272	0.222	14.382	0.747
189.844	0.248	0.249	4.426	5.063	1.260	14.386	3.579
190.092	0.248	0.249	4.426	5.132	1.277	14.514	3.611
190.340	0.033	0.033	4.426	5.172	0.171	14.577	0.482
190.373	0.248	0.249	5.919	6.018	1.501	14.523	3.622
190.621	0.248	0.249	5.919	6.074	1.515	14.611	3.644
190.869	0.016	0.016	5.919	6.104	0.096	14.669	0.230
190.885	0.248	0.250	7.403	6.935	1.735	14.543	3.638
191.133	0.248	0.250	7.403	6.971	1.744	14.584	3.648
191.381	0.034	0.034	7.403	6.991	0.240	14.607	0.501
191.415	0.248	0.251	8.870	7.796	1.957	14.456	3.629
101 663	0.248	O 251	2 27N	/ XIII5	1 050	1/1 // // 🛛	3 627
191.663	0.248	0.251	8.870	7.805	1.959	14.448	3.627
191.911	0.015	0.015	8.870	7.810	0.120	14.442	0.221
191.911 191.926	0.015 0.248	0.015 0.252	8.870 10.331	7.810 8.577	0.120 2.163	14.442 14.264	0.221 3.596
191.911 191.926 192.174	0.015 0.248 0.248	0.015 0.252 0.252	8.870 10.331 10.331	7.810 8.577 8.553	0.120 2.163 2.157	14.442 14.264 14.207	0.221 3.596 3.582
191.911 191.926 192.174 192.422	0.015 0.248 0.248 0.031	0.015 0.252 0.252 0.032	8.870 10.331 10.331 10.331	7.810 8.577 8.553 8.540	0.120 2.163 2.157 0.273	14.442 14.264 14.207 14.180	0.221 3.596 3.582 0.453
191.911 191.926 192.174 192.422 192.454	0.015 0.248 0.248 0.031 0.248	0.015 0.252 0.252 0.032 0.253	8.870 10.331 10.331 10.331 11.682	7.810 8.577 8.553 8.540 9.208	0.120 2.163 2.157 0.273 2.332	14.442 14.264 14.207 14.180 13.983	0.221 3.596 3.582 0.453 3.542
191.911 191.926 192.174 192.422	0.015 0.248 0.248 0.031	0.015 0.252 0.252 0.032	8.870 10.331 10.331 10.331	7.810 8.577 8.553 8.540	0.120 2.163 2.157 0.273	14.442 14.264 14.207 14.180	0.221 3.596 3.582 0.453
191.911 191.926 192.174 192.422 192.454 192.702	0.015 0.248 0.248 0.031 0.248 0.248	0.015 0.252 0.252 0.032 0.253 0.253	8.870 10.331 10.331 10.331 11.682 11.682	7.810 8.577 8.553 8.540 9.208 9.149	0.120 2.163 2.157 0.273 2.332 2.317	14.442 14.264 14.207 14.180 13.983 13.881	0.221 3.596 3.582 0.453 3.542 3.516
191.911 191.926 192.174 192.422 192.454 192.702 192.950	0.015 0.248 0.248 0.031 0.248 0.248 0.049	0.015 0.252 0.252 0.032 0.253 0.253 0.050	8.870 10.331 10.331 10.331 11.682 11.682 11.682	7.810 8.577 8.553 8.540 9.208 9.149 9.113	0.120 2.163 2.157 0.273 2.332 2.317 0.452	14.442 14.264 14.207 14.180 13.983 13.881 13.826	0.221 3.596 3.582 0.453 3.542 3.516 0.686
191.911 191.926 192.174 192.422 192.454 192.702 192.950 192.999	0.015 0.248 0.248 0.031 0.248 0.248 0.049 0.248	0.015 0.252 0.252 0.032 0.253 0.253 0.050 0.254	8.870 10.331 10.331 10.331 11.682 11.682 11.682 12.867	7.810 8.577 8.553 8.540 9.208 9.149 9.113 9.650	0.120 2.163 2.157 0.273 2.332 2.317 0.452 2.455	14.442 14.264 14.207 14.180 13.983 13.881 13.826 13.622	0.221 3.596 3.582 0.453 3.542 3.516 0.686 3.466
191.911 191.926 192.174 192.422 192.454 192.702 192.950 192.999 193.247	0.015 0.248 0.248 0.031 0.248 0.248 0.049	0.015 0.252 0.252 0.032 0.253 0.253 0.050	8.870 10.331 10.331 10.331 11.682 11.682 11.682	7.810 8.577 8.553 8.540 9.208 9.149 9.113	0.120 2.163 2.157 0.273 2.332 2.317 0.452 2.455 2.431	14.442 14.264 14.207 14.180 13.983 13.881 13.826	0.221 3.596 3.582 0.453 3.542 3.516 0.686
191.911 191.926 192.174 192.422 192.454 192.702 192.950 192.999	0.015 0.248 0.248 0.031 0.248 0.248 0.049 0.248	0.015 0.252 0.252 0.032 0.253 0.253 0.050 0.254	8.870 10.331 10.331 10.331 11.682 11.682 11.682 12.867	7.810 8.577 8.553 8.540 9.208 9.149 9.113 9.650	0.120 2.163 2.157 0.273 2.332 2.317 0.452 2.455	14.442 14.264 14.207 14.180 13.983 13.881 13.826 13.622	0.221 3.596 3.582 0.453 3.542 3.516 0.686 3.466
191.911 191.926 192.174 192.422 192.454 192.702 192.950 192.999 193.247 193.495	0.015 0.248 0.248 0.031 0.248 0.248 0.049 0.248 0.248 0.096	0.015 0.252 0.252 0.032 0.253 0.253 0.050 0.254 0.254 0.099	8.870 10.331 10.331 10.331 11.682 11.682 11.682 12.867 12.867	7.810 8.577 8.553 8.540 9.208 9.149 9.113 9.650 9.555 9.488	0.120 2.163 2.157 0.273 2.332 2.317 0.452 2.455 2.431 0.938	14.442 14.264 14.207 14.180 13.983 13.881 13.826 13.622 13.483 13.388	0.221 3.596 3.582 0.453 3.542 3.516 0.686 3.466 3.430 1.323
191.911 191.926 192.174 192.422 192.454 192.702 192.950 192.999 193.247 193.495 193.591	0.015 0.248 0.248 0.031 0.248 0.248 0.049 0.248 0.096 0.248	0.015 0.252 0.252 0.032 0.253 0.253 0.050 0.254 0.254 0.099 0.255	8.870 10.331 10.331 10.331 11.682 11.682 11.682 12.867 12.867 12.867 13.537	7.810 8.577 8.553 8.540 9.208 9.149 9.113 9.650 9.555 9.488 9.731	0.120 2.163 2.157 0.273 2.332 2.317 0.452 2.455 2.431 0.938 2.483	14.442 14.264 14.207 14.180 13.983 13.881 13.826 13.622 13.483 13.388 13.215	0.221 3.596 3.582 0.453 3.542 3.516 0.686 3.466 3.430 1.323 3.372
191.911 191.926 192.174 192.422 192.454 192.702 192.950 192.999 193.247 193.495 193.591 193.839	0.015 0.248 0.248 0.031 0.248 0.049 0.248 0.096 0.248 0.248	0.015 0.252 0.252 0.032 0.253 0.253 0.050 0.254 0.254 0.099 0.255 0.255	8.870 10.331 10.331 11.682 11.682 11.682 12.867 12.867 12.867 13.537	7.810 8.577 8.553 8.540 9.208 9.149 9.113 9.650 9.555 9.488 9.731 9.613	0.120 2.163 2.157 0.273 2.332 2.317 0.452 2.455 2.431 0.938 2.483 2.483	14.442 14.264 14.207 14.180 13.983 13.881 13.826 13.622 13.483 13.388 13.215 13.055	0.221 3.596 3.582 0.453 3.542 3.516 0.686 3.466 3.430 1.323 3.372 3.331
191.911 191.926 192.174 192.422 192.454 192.702 192.950 192.999 193.247 193.495 193.591	0.015 0.248 0.248 0.031 0.248 0.049 0.248 0.248 0.096 0.248 0.248 0.062	0.015 0.252 0.252 0.032 0.253 0.253 0.050 0.254 0.254 0.099 0.255 0.255	8.870 10.331 10.331 11.682 11.682 11.682 12.867 12.867 12.867 13.537 13.537	7.810 8.577 8.553 8.540 9.208 9.149 9.113 9.650 9.555 9.488 9.731 9.613 9.540	0.120 2.163 2.157 0.273 2.332 2.317 0.452 2.455 2.431 0.938 2.483 2.453 0.609	14.442 14.264 14.207 14.180 13.983 13.881 13.826 13.622 13.483 13.388 13.215 13.055 12.955	0.221 3.596 3.582 0.453 3.542 3.516 0.686 3.466 3.430 1.323 3.372 3.331 0.828
191.911 191.926 192.174 192.422 192.454 192.702 192.950 192.999 193.247 193.495 193.591 193.839	0.015 0.248 0.248 0.031 0.248 0.049 0.248 0.096 0.248 0.248	0.015 0.252 0.252 0.032 0.253 0.253 0.050 0.254 0.254 0.099 0.255 0.255	8.870 10.331 10.331 11.682 11.682 11.682 12.867 12.867 12.867 13.537 13.537	7.810 8.577 8.553 8.540 9.208 9.149 9.113 9.650 9.555 9.488 9.731 9.613 9.540	0.120 2.163 2.157 0.273 2.332 2.317 0.452 2.455 2.431 0.938 2.483 2.453 0.609	14.442 14.264 14.207 14.180 13.983 13.881 13.826 13.622 13.483 13.388 13.215 13.055 12.955	0.221 3.596 3.582 0.453 3.542 3.516 0.686 3.466 3.430 1.323 3.372 3.331 0.828
191.911 191.926 192.174 192.422 192.454 192.702 192.950 192.999 193.247 193.495 193.839 194.087 194.149	0.015 0.248 0.248 0.031 0.248 0.049 0.248 0.049 0.248 0.048 0.062 0.248	0.015 0.252 0.252 0.032 0.253 0.253 0.050 0.254 0.254 0.099 0.255 0.255 0.064 0.256	8.870 10.331 10.331 11.682 11.682 11.682 12.867 12.867 12.867 13.537 13.537 14.261	7.810 8.577 8.553 8.540 9.208 9.149 9.113 9.650 9.555 9.488 9.731 9.613 9.540 9.785	0.120 2.163 2.157 0.273 2.332 2.317 0.452 2.455 2.431 0.938 2.483 2.453 0.609 2.504	14.442 14.264 14.207 14.180 13.983 13.881 13.622 13.483 13.388 13.215 13.055 12.955 12.771	0.221 3.596 3.582 0.453 3.542 3.516 0.686 3.466 3.430 1.323 3.372 3.331 0.828 3.269
191.911 191.926 192.174 192.422 192.454 192.702 192.950 192.999 193.247 193.495 193.591 193.839 194.087 194.149 194.397	0.015 0.248 0.248 0.031 0.248 0.049 0.248 0.049 0.248 0.062 0.248 0.062 0.248	0.015 0.252 0.252 0.032 0.253 0.253 0.050 0.254 0.254 0.099 0.255 0.255 0.064 0.256	8.870 10.331 10.331 11.682 11.682 11.682 12.867 12.867 12.867 13.537 13.537 14.261 14.261	7.810 8.577 8.553 8.540 9.208 9.149 9.113 9.650 9.555 9.488 9.731 9.613 9.540 9.785 9.642	0.120 2.163 2.157 0.273 2.332 2.317 0.452 2.455 2.431 0.938 2.483 2.453 0.609 2.504 2.468	14.442 14.264 14.207 14.180 13.983 13.881 13.826 13.622 13.483 13.388 13.215 13.055 12.955 12.771 12.585	0.221 3.596 3.582 0.453 3.542 3.516 0.686 3.466 3.430 1.323 3.372 3.331 0.828 3.269 3.221
191.911 191.926 192.174 192.422 192.454 192.702 192.950 192.999 193.247 193.495 193.591 193.839 194.087 194.149 194.397 194.645	0.015 0.248 0.248 0.031 0.248 0.049 0.248 0.096 0.248 0.062 0.248 0.062 0.248 0.046	0.015 0.252 0.252 0.032 0.253 0.253 0.050 0.254 0.254 0.099 0.255 0.255 0.064 0.256 0.256	8.870 10.331 10.331 11.682 11.682 11.682 12.867 12.867 12.867 13.537 13.537 14.261 14.261	7.810 8.577 8.553 8.540 9.208 9.149 9.113 9.650 9.555 9.488 9.731 9.613 9.540 9.785 9.642 9.557	0.120 2.163 2.157 0.273 2.332 2.317 0.452 2.455 2.431 0.938 2.453 0.609 2.504 2.468 0.452	14.442 14.264 14.207 14.180 13.983 13.881 13.826 13.622 13.483 13.388 13.215 13.055 12.955 12.771 12.585 12.474	0.221 3.596 3.582 0.453 3.542 3.516 0.686 3.466 3.430 1.323 3.372 3.331 0.828 3.269 3.221 0.590
191.911 191.926 192.174 192.422 192.454 192.702 192.950 192.999 193.247 193.495 193.591 193.839 194.087 194.149 194.397 194.645 194.691	0.015 0.248 0.248 0.031 0.248 0.049 0.248 0.096 0.248 0.062 0.248 0.248 0.046 0.248	0.015 0.252 0.252 0.032 0.253 0.253 0.050 0.254 0.099 0.255 0.255 0.255 0.256 0.256 0.256	8.870 10.331 10.331 11.682 11.682 11.682 12.867 12.867 12.867 13.537 13.537 14.261 14.261 14.261 15.012	7.810 8.577 8.553 8.540 9.208 9.149 9.113 9.650 9.555 9.488 9.731 9.540 9.785 9.642 9.557 9.786	0.120 2.163 2.157 0.273 2.332 2.317 0.452 2.455 2.431 0.938 2.483 2.483 2.463 0.609 2.504 2.468 0.452 2.513	14.442 14.264 14.207 14.180 13.983 13.881 13.826 13.622 13.483 13.388 13.215 13.055 12.955 12.771 12.585 12.474 12.278	0.221 3.596 3.582 0.453 3.542 3.516 0.686 3.466 3.430 1.323 3.372 3.372 3.331 0.828 3.269 3.221 0.590 3.153
191.911 191.926 192.174 192.422 192.454 192.702 192.950 192.999 193.247 193.495 193.591 193.839 194.087 194.149 194.397 194.645 194.691	0.015 0.248 0.248 0.031 0.248 0.049 0.248 0.096 0.248 0.062 0.248 0.248 0.046 0.248	0.015 0.252 0.252 0.032 0.253 0.253 0.050 0.254 0.099 0.255 0.255 0.255 0.256 0.256 0.256	8.870 10.331 10.331 11.682 11.682 11.682 12.867 12.867 12.867 13.537 13.537 14.261 14.261	7.810 8.577 8.553 8.540 9.208 9.149 9.113 9.650 9.555 9.488 9.731 9.540 9.785 9.642 9.557 9.786	0.120 2.163 2.157 0.273 2.332 2.317 0.452 2.455 2.431 0.938 2.483 2.483 2.463 0.609 2.504 2.468 0.452 2.513	14.442 14.264 14.207 14.180 13.983 13.881 13.826 13.622 13.483 13.388 13.215 13.055 12.955 12.771 12.585 12.474 12.278	0.221 3.596 3.582 0.453 3.542 3.516 0.686 3.466 3.430 1.323 3.372 3.372 3.331 0.828 3.269 3.221 0.590 3.153
191.911 191.926 192.174 192.422 192.454 192.702 192.950 192.999 193.247 193.495 193.591 193.839 194.087 194.149 194.397 194.645 194.691 194.939	0.015 0.248 0.248 0.031 0.248 0.248 0.248 0.248 0.096 0.248 0.062 0.248 0.248 0.046 0.248	0.015 0.252 0.252 0.032 0.253 0.050 0.254 0.254 0.099 0.255 0.265 0.256 0.256 0.257	8.870 10.331 10.331 11.682 11.682 11.682 12.867 12.867 12.867 13.537 13.537 14.261 14.261 14.261 15.012	7.810 8.577 8.553 8.540 9.208 9.149 9.113 9.650 9.555 9.488 9.731 9.613 9.785 9.642 9.557 9.786 9.615	0.120 2.163 2.157 0.273 2.332 2.317 0.452 2.455 2.431 0.938 2.483 2.453 0.609 2.504 2.468 0.452 2.513 2.469	14.442 14.264 14.207 14.180 13.983 13.881 13.622 13.483 13.388 13.215 13.055 12.955 12.771 12.585 12.474 12.278 12.065	0.221 3.596 3.582 0.453 3.542 3.516 0.686 3.466 3.430 1.323 3.372 3.331 0.828 3.269 3.221 0.590 3.153 3.098
191.911 191.926 192.174 192.422 192.454 192.702 192.950 192.999 193.247 193.495 193.591 193.839 194.087 194.149 194.397 194.645 194.939 195.187	0.015 0.248 0.248 0.031 0.248 0.049 0.248 0.096 0.248 0.062 0.248 0.062 0.248 0.046 0.248 0.046 0.248	0.015 0.252 0.252 0.253 0.253 0.254 0.254 0.255 0.255 0.255 0.064 0.256 0.256 0.257 0.257	8.870 10.331 10.331 11.682 11.682 11.682 12.867 12.867 12.867 13.537 13.537 14.261 14.261 14.261 15.012 15.012	7.810 8.577 8.553 8.540 9.208 9.149 9.113 9.650 9.555 9.488 9.731 9.613 9.540 9.785 9.642 9.557 9.786 9.615 9.517	0.120 2.163 2.157 0.273 2.332 2.317 0.452 2.455 2.431 0.938 2.483 2.453 0.609 2.504 2.468 0.452 2.513 2.469 0.342	14.442 14.264 14.207 14.180 13.983 13.881 13.826 13.622 13.483 13.215 13.055 12.955 12.771 12.585 12.474 12.278 12.065 11.946	0.221 3.596 3.582 0.453 3.542 3.516 0.686 3.430 1.323 3.372 3.331 0.828 3.269 3.221 0.590 3.153 3.098 0.429
191.911 191.926 192.174 192.422 192.454 192.702 192.950 192.999 193.247 193.495 193.591 193.839 194.087 194.149 194.397 194.645 194.939 195.187 195.222	0.015 0.248 0.248 0.031 0.248 0.049 0.248 0.096 0.248 0.062 0.248 0.062 0.248 0.046 0.248 0.046 0.248	0.015 0.252 0.252 0.253 0.253 0.253 0.254 0.254 0.099 0.255 0.255 0.064 0.256 0.256 0.047 0.257 0.257 0.257	8.870 10.331 10.331 11.682 11.682 11.682 12.867 12.867 12.867 13.537 13.537 13.537 14.261 14.261 14.261 15.012 15.012 15.012	7.810 8.577 8.553 8.540 9.208 9.149 9.113 9.650 9.555 9.488 9.731 9.613 9.540 9.785 9.642 9.557 9.786 9.615 9.517	0.120 2.163 2.157 0.273 2.332 2.317 0.452 2.455 2.431 0.938 2.483 2.453 0.609 2.504 2.468 0.452 2.513 2.469 0.342 2.504	14.442 14.264 14.207 14.180 13.983 13.881 13.826 13.622 13.483 13.215 13.055 12.955 12.771 12.585 12.474 12.278 12.065 11.946 11.737	0.221 3.596 3.582 0.453 3.542 3.516 0.686 3.430 1.323 3.372 3.331 0.828 3.269 3.221 0.590 3.153 3.098 0.429 3.025
191.911 191.926 192.174 192.422 192.454 192.702 192.950 192.999 193.247 193.495 193.591 193.839 194.087 194.149 194.397 194.645 194.691 194.939 195.187 195.222 195.470	0.015 0.248 0.248 0.031 0.248 0.049 0.248 0.096 0.248 0.062 0.248 0.046 0.248 0.046 0.248 0.046 0.248 0.046	0.015 0.252 0.252 0.032 0.253 0.253 0.050 0.254 0.254 0.255 0.255 0.064 0.256 0.256 0.257 0.257 0.257 0.258	8.870 10.331 10.331 11.682 11.682 11.682 12.867 12.867 12.867 13.537 13.537 13.537 14.261 14.261 15.012 15.012 15.012 15.765 15.765	7.810 8.577 8.553 8.540 9.208 9.149 9.113 9.650 9.555 9.488 9.731 9.613 9.540 9.785 9.642 9.557 9.642 9.557 9.615 9.517	0.120 2.163 2.157 0.273 2.332 2.317 0.452 2.455 2.431 0.938 2.453 0.609 2.504 2.468 0.452 2.513 2.469 0.342 2.504 2.452	14.442 14.264 14.207 14.180 13.983 13.881 13.826 13.622 13.483 13.215 13.055 12.955 12.771 12.585 12.474 12.278 12.065 11.946 11.737 11.496	0.221 3.596 3.582 0.453 3.542 3.516 0.686 3.430 1.323 3.372 3.331 0.828 3.269 3.221 0.590 3.153 3.098 0.429 3.025 2.963
191.911 191.926 192.174 192.422 192.454 192.702 192.950 192.999 193.247 193.495 193.591 193.839 194.087 194.149 194.397 194.645 194.939 195.187 195.222	0.015 0.248 0.248 0.031 0.248 0.049 0.248 0.096 0.248 0.062 0.248 0.062 0.248 0.046 0.248 0.046 0.248	0.015 0.252 0.252 0.253 0.253 0.253 0.254 0.254 0.099 0.255 0.255 0.064 0.256 0.256 0.047 0.257 0.257 0.257	8.870 10.331 10.331 11.682 11.682 11.682 12.867 12.867 12.867 13.537 13.537 13.537 14.261 14.261 14.261 15.012 15.012 15.012	7.810 8.577 8.553 8.540 9.208 9.149 9.113 9.650 9.555 9.488 9.731 9.613 9.540 9.785 9.642 9.557 9.786 9.615 9.517	0.120 2.163 2.157 0.273 2.332 2.317 0.452 2.455 2.431 0.938 2.483 2.453 0.609 2.504 2.468 0.452 2.513 2.469 0.342 2.504	14.442 14.264 14.207 14.180 13.983 13.881 13.826 13.622 13.483 13.215 13.055 12.955 12.771 12.585 12.474 12.278 12.065 11.946 11.737	0.221 3.596 3.582 0.453 3.542 3.516 0.686 3.430 1.323 3.372 3.331 0.828 3.269 3.221 0.590 3.153 3.098 0.429 3.025
191.911 191.926 192.174 192.422 192.454 192.702 192.950 192.999 193.247 193.495 193.591 193.839 194.087 194.149 194.397 194.645 194.691 194.939 195.187 195.222 195.470 195.718	0.015 0.248 0.248 0.031 0.248 0.049 0.248 0.096 0.248 0.062 0.248 0.062 0.248 0.046 0.248 0.046	0.015 0.252 0.252 0.032 0.253 0.253 0.050 0.254 0.254 0.255 0.064 0.256 0.256 0.047 0.257 0.257 0.036 0.258 0.258	8.870 10.331 10.331 11.682 11.682 11.682 12.867 12.867 13.537 13.537 13.537 14.261 14.261 14.261 15.012 15.012 15.765 15.765	7.810 8.577 8.553 8.540 9.208 9.149 9.113 9.650 9.555 9.488 9.731 9.613 9.540 9.785 9.642 9.557 9.786 9.615 9.517 9.517	0.120 2.163 2.157 0.273 2.332 2.317 0.452 2.455 2.431 0.938 2.483 2.453 0.609 2.504 2.468 0.452 2.513 2.469 0.342 2.504 2.452 0.387	14.442 14.264 14.207 14.180 13.983 13.881 13.826 13.622 13.483 13.215 13.055 12.955 12.771 12.585 12.474 12.278 12.065 11.946 11.737 11.496 11.360	0.221 3.596 3.582 0.453 3.542 3.516 0.686 3.466 3.430 1.323 3.372 3.331 0.828 3.221 0.590 3.153 3.098 0.429 3.025 2.963 0.468
191.911 191.926 192.174 192.422 192.454 192.702 192.950 192.999 193.247 193.495 193.591 193.839 194.087 194.149 194.397 194.645 194.691 194.939 195.187 195.222 195.470 195.718 195.758	0.015 0.248 0.248 0.031 0.248 0.049 0.248 0.049 0.248 0.062 0.248 0.062 0.248 0.046 0.248 0.046 0.248 0.035 0.248 0.035 0.248 0.040 0.248	0.015 0.252 0.252 0.032 0.253 0.253 0.050 0.254 0.254 0.255 0.064 0.256 0.256 0.257 0.257 0.257 0.258 0.258 0.258	8.870 10.331 10.331 11.682 11.682 11.682 12.867 12.867 13.537 13.537 13.537 14.261 14.261 15.012 15.012 15.765 15.765 16.497	7.810 8.577 8.553 8.540 9.208 9.149 9.113 9.650 9.555 9.488 9.731 9.613 9.540 9.785 9.642 9.557 9.786 9.615 9.517 9.515 9.515 9.551	0.120 2.163 2.157 0.273 2.332 2.317 0.452 2.455 2.431 0.938 2.483 2.453 0.609 2.504 2.468 0.452 2.513 2.469 0.342 2.504 2.452 0.387 2.471	14.442 14.264 14.207 14.180 13.983 13.881 13.622 13.483 13.388 13.215 13.055 12.955 12.771 12.585 12.474 12.278 12.065 11.946 11.737 11.496 11.360 11.136	0.221 3.596 3.582 0.453 3.542 3.516 0.686 3.466 3.430 1.323 3.372 3.331 0.828 3.269 3.221 0.590 3.153 3.098 0.429 3.025 2.963 0.468 2.881
191.911 191.926 192.174 192.422 192.454 192.702 192.950 192.999 193.247 193.495 193.591 193.839 194.087 194.149 194.397 194.645 194.691 194.939 195.187 195.222 195.470 195.718 195.758 196.006	0.015 0.248 0.248 0.031 0.248 0.049 0.248 0.049 0.248 0.062 0.248 0.062 0.248 0.046 0.248 0.046 0.248 0.046 0.248 0.035 0.248 0.040 0.248	0.015 0.252 0.252 0.032 0.253 0.253 0.050 0.254 0.254 0.255 0.064 0.256 0.256 0.257 0.257 0.036 0.258 0.258 0.258 0.258 0.259	8.870 10.331 10.331 11.682 11.682 11.682 12.867 12.867 13.537 13.537 13.537 14.261 14.261 14.261 15.012 15.012 15.765 15.765 16.497 16.497	7.810 8.577 8.553 8.540 9.208 9.149 9.113 9.650 9.555 9.488 9.731 9.613 9.540 9.785 9.642 9.557 9.786 9.615 9.517 9.515 9.515 9.599 9.551	0.120 2.163 2.157 0.273 2.332 2.317 0.452 2.455 2.431 0.938 2.483 2.453 0.609 2.504 2.468 0.452 2.513 2.469 0.342 2.504 2.452 2.504 2.452 2.504 2.452 2.452 2.451 2.452	14.442 14.264 14.207 14.180 13.983 13.881 13.826 13.622 13.483 13.388 13.215 13.055 12.955 12.771 12.585 12.474 12.278 12.065 11.946 11.737 11.496 11.360 11.136 10.869	0.221 3.596 3.582 0.453 3.542 3.516 0.686 3.466 3.430 1.323 3.372 3.331 0.828 3.269 3.221 0.590 3.153 3.098 0.429 3.025 2.963 0.468 2.881 2.812
191.911 191.926 192.174 192.422 192.454 192.702 192.950 192.999 193.247 193.495 193.591 193.839 194.087 194.149 194.397 194.645 194.691 194.939 195.187 195.222 195.470 195.718 195.758 196.006 196.254	0.015 0.248 0.248 0.031 0.248 0.049 0.248 0.049 0.248 0.062 0.248 0.062 0.248 0.046 0.248 0.035 0.248 0.035 0.248 0.040 0.248	0.015 0.252 0.252 0.253 0.253 0.253 0.050 0.254 0.254 0.255 0.064 0.256 0.256 0.257 0.257 0.257 0.257 0.258 0.258 0.258 0.258 0.259 0.259 0.259	8.870 10.331 10.331 11.682 11.682 11.682 12.867 12.867 13.537 13.537 13.537 14.261 14.261 14.261 15.012 15.012 15.012 15.765 15.765 15.765 16.497 16.497	7.810 8.577 8.553 8.540 9.208 9.149 9.113 9.650 9.555 9.488 9.731 9.613 9.540 9.785 9.642 9.557 9.786 9.615 9.517 9.515 9.515 9.599 9.551 9.320 9.190	0.120 2.163 2.157 0.273 2.332 2.317 0.452 2.455 2.431 0.938 2.483 2.453 0.609 2.504 2.468 0.452 2.513 2.469 0.342 2.504 2.452 0.387 2.471 2.411 0.296	14.442 14.264 14.207 14.180 13.983 13.881 13.622 13.483 13.388 13.215 12.955 12.771 12.585 12.474 12.278 12.065 11.946 11.737 11.496 11.360 11.136 10.869 10.722	0.221 3.596 3.582 0.453 3.542 3.516 0.686 3.466 3.430 1.323 3.372 3.331 0.828 3.269 3.221 0.590 3.153 3.098 0.429 3.025 2.963 0.468 2.881 2.812 0.345
191.911 191.926 192.174 192.422 192.454 192.702 192.950 192.999 193.247 193.495 193.591 193.839 194.087 194.149 194.397 194.645 194.691 194.939 195.187 195.222 195.470 195.718 195.758 196.006	0.015 0.248 0.248 0.031 0.248 0.049 0.248 0.049 0.248 0.062 0.248 0.062 0.248 0.046 0.248 0.046 0.248 0.046 0.248 0.035 0.248 0.040 0.248	0.015 0.252 0.252 0.032 0.253 0.253 0.050 0.254 0.254 0.255 0.064 0.256 0.256 0.257 0.257 0.036 0.258 0.258 0.258 0.258 0.259	8.870 10.331 10.331 11.682 11.682 11.682 12.867 12.867 13.537 13.537 13.537 14.261 14.261 14.261 15.012 15.012 15.765 15.765 16.497 16.497	7.810 8.577 8.553 8.540 9.208 9.149 9.113 9.650 9.555 9.488 9.731 9.613 9.540 9.785 9.642 9.557 9.786 9.615 9.517 9.515 9.515 9.599 9.551	0.120 2.163 2.157 0.273 2.332 2.317 0.452 2.455 2.431 0.938 2.483 2.453 0.609 2.504 2.468 0.452 2.513 2.469 0.342 2.504 2.452 2.504 2.452 2.504 2.452 2.452 2.451 2.452	14.442 14.264 14.207 14.180 13.983 13.881 13.826 13.622 13.483 13.388 13.215 13.055 12.955 12.771 12.585 12.474 12.278 12.065 11.946 11.737 11.496 11.360 11.136 10.869	0.221 3.596 3.582 0.453 3.542 3.516 0.686 3.466 3.430 1.323 3.372 3.331 0.828 3.269 3.221 0.590 3.153 3.098 0.429 3.025 2.963 0.468 2.881 2.812
191.911 191.926 192.174 192.422 192.454 192.702 192.950 192.999 193.247 193.495 193.591 193.839 194.087 194.149 194.397 194.645 194.691 194.939 195.187 195.222 195.470 195.718 195.758 196.006 196.254	0.015 0.248 0.248 0.031 0.248 0.248 0.049 0.248 0.096 0.248 0.062 0.248 0.046 0.248 0.035 0.248 0.035 0.248 0.040 0.248	0.015 0.252 0.252 0.252 0.032 0.253 0.050 0.254 0.254 0.255 0.255 0.255 0.256 0.256 0.257 0.257 0.257 0.258 0.258 0.258 0.258 0.259 0.259 0.259 0.259	8.870 10.331 10.331 11.682 11.682 11.682 12.867 12.867 12.867 13.537 13.537 14.261 14.261 14.261 15.012 15.012 15.765 15.765 15.765 16.497 16.497 17.226	7.810 8.577 8.553 8.540 9.208 9.149 9.113 9.650 9.555 9.488 9.731 9.613 9.540 9.785 9.642 9.557 9.786 9.615 9.517 9.716 9.515 9.320 9.307	0.120 2.163 2.157 0.273 2.332 2.317 0.452 2.455 2.431 0.938 2.483 2.453 0.609 2.504 2.468 0.452 2.513 2.469 0.342 2.504 2.452 0.387 2.471 2.411 0.296 2.417	14.442 14.264 14.207 14.180 13.983 13.881 13.826 13.622 13.483 13.215 13.055 12.955 12.771 12.585 12.474 12.278 12.065 11.946 11.737 11.496 11.360 11.136 10.869 10.722 10.487	0.221 3.596 3.582 0.453 3.542 3.516 0.686 3.466 3.430 1.323 3.372 3.331 0.828 3.269 3.221 0.590 3.153 3.098 0.429 3.025 2.963 0.468 2.881 2.812 0.345 2.723
191.911 191.926 192.174 192.422 192.454 192.702 192.950 192.999 193.247 193.495 193.591 193.839 194.087 194.149 194.397 194.645 194.939 195.187 195.222 195.470 195.718 195.758 196.006 196.254 196.285 196.533	0.015 0.248 0.248 0.031 0.248 0.049 0.248 0.096 0.248 0.062 0.248 0.046 0.248 0.248 0.035 0.248 0.248 0.035 0.248 0.248 0.040 0.248	0.015 0.252 0.252 0.253 0.253 0.254 0.254 0.254 0.255 0.255 0.064 0.256 0.257 0.257 0.257 0.258 0.258 0.258 0.258 0.259 0.259 0.259 0.260	8.870 10.331 10.331 11.682 11.682 11.682 12.867 12.867 12.867 13.537 13.537 13.537 14.261 14.261 15.012 15.012 15.012 15.765 15.765 15.765 16.497 16.497 17.226 17.226	7.810 8.577 8.553 8.540 9.208 9.149 9.113 9.650 9.555 9.488 9.731 9.613 9.540 9.785 9.642 9.557 9.615 9.517 9.716 9.515 9.320 9.551 9.320 9.307 9.045	0.120 2.163 2.157 0.273 2.332 2.317 0.452 2.455 2.431 0.938 2.483 2.453 0.609 2.504 2.468 0.452 2.513 2.469 0.342 2.504 2.452 2.513 2.469 0.342 2.452 2.504 2.452 2.504 2.452 2.504 2.452 2.504 2.452 2.504 2.452 2.504 2.452 2.504 2.452 2.504 2.452 2.504 2.453	14.442 14.264 14.207 14.180 13.983 13.881 13.826 13.622 13.483 13.215 13.055 12.975 12.771 12.585 12.474 12.278 12.065 11.946 11.737 11.496 11.360 11.136 10.722 10.487 10.195	0.221 3.596 3.582 0.453 3.542 3.516 0.686 3.466 3.430 1.323 3.372 3.331 0.828 3.221 0.590 3.153 3.098 0.429 3.025 2.963 0.468 2.881 2.0345 2.723 2.648
191.911 191.926 192.174 192.422 192.454 192.702 192.950 192.999 193.247 193.495 193.591 193.839 194.087 194.149 194.397 194.645 194.939 195.187 195.222 195.470 195.718 196.254 196.254 196.255 196.533 196.781	0.015 0.248 0.248 0.031 0.248 0.049 0.248 0.096 0.248 0.062 0.248 0.046 0.248 0.045 0.248 0.035 0.248 0.040 0.248 0.040 0.248	0.015 0.252 0.252 0.253 0.253 0.254 0.254 0.255 0.255 0.255 0.064 0.256 0.257 0.257 0.257 0.258 0.258 0.258 0.258 0.259 0.259 0.260 0.260 0.260	8.870 10.331 10.331 11.682 11.682 11.682 12.867 12.867 12.867 13.537 13.537 13.537 14.261 14.261 14.261 15.012 15.012 15.012 15.765 15.765 15.765 16.497 16.497 17.226 17.226	7.810 8.577 8.553 8.540 9.208 9.149 9.113 9.650 9.555 9.488 9.731 9.613 9.540 9.785 9.642 9.557 9.786 9.615 9.517 9.716 9.515 9.320 9.307 9.307 9.307 9.045 8.894	0.120 2.163 2.157 0.273 2.332 2.317 0.452 2.455 2.431 0.938 2.483 2.453 0.609 2.504 2.468 0.452 2.513 2.469 0.342 2.504 2.452 0.387 2.471 2.411 0.296 2.417 2.349 0.350	14.442 14.264 14.207 14.180 13.983 13.881 13.826 13.622 13.483 13.215 13.055 12.975 12.771 12.585 12.474 12.278 12.065 11.946 11.737 11.496 11.360 11.136 10.869 10.722 10.487 10.195 10.030	0.221 3.596 3.582 0.453 3.542 3.516 0.686 3.430 1.323 3.372 3.331 0.828 3.221 0.590 3.153 3.098 0.429 3.025 2.963 0.468 2.881 2.812 0.345 2.723 2.648 0.394
191.911 191.926 192.174 192.422 192.454 192.702 192.950 192.999 193.247 193.495 193.591 193.839 194.087 194.149 194.397 194.645 194.939 195.187 195.222 195.470 195.718 195.758 196.006 196.254 196.285 196.533 196.781 196.818	0.015 0.248 0.248 0.031 0.248 0.049 0.248 0.096 0.248 0.062 0.248 0.046 0.248 0.046 0.248 0.035 0.248 0.040 0.248 0.040 0.248 0.040 0.248 0.040 0.248 0.040	0.015 0.252 0.252 0.253 0.253 0.254 0.254 0.255 0.255 0.255 0.064 0.256 0.257 0.257 0.257 0.258 0.258 0.258 0.258 0.259 0.259 0.260 0.260 0.260	8.870 10.331 10.331 11.682 11.682 11.682 12.867 12.867 12.867 13.537 13.537 13.537 14.261 14.261 15.012 15.012 15.012 15.765 15.765 15.765 15.765 16.497 16.497 17.226 17.226 17.226 17.926	7.810 8.577 8.553 8.540 9.208 9.149 9.113 9.650 9.555 9.488 9.731 9.613 9.540 9.785 9.642 9.557 9.786 9.615 9.517 9.716 9.515 9.399 9.551 9.320 9.307 9.307 9.045 8.894 8.959	0.120 2.163 2.157 0.273 2.332 2.317 0.452 2.455 2.431 0.938 2.483 2.453 0.609 2.504 2.468 0.452 2.513 2.469 0.342 2.504 2.452 0.387 2.471 2.411 0.296 2.417 2.349 0.350 2.336	14.442 14.264 14.207 14.180 13.983 13.881 13.826 13.622 13.483 13.215 13.055 12.955 12.771 12.585 12.474 12.278 12.065 11.946 11.737 11.496 11.360 11.136 10.869 10.722 10.487 10.195 10.030 9.778	0.221 3.596 3.582 0.453 3.542 3.516 0.686 3.430 1.323 3.372 3.331 0.828 3.221 0.590 3.153 3.098 0.429 3.025 2.963 0.468 2.881 2.812 0.345 2.723 2.648 0.394 2.549
191.911 191.926 192.174 192.422 192.454 192.702 192.950 192.999 193.247 193.495 193.591 193.839 194.087 194.149 194.397 194.645 194.691 194.939 195.187 195.222 195.470 195.718 195.758 196.006 196.254 196.254 196.253 196.781 196.818 197.066	0.015 0.248 0.248 0.031 0.248 0.049 0.248 0.096 0.248 0.062 0.248 0.046 0.248 0.045 0.248 0.035 0.248 0.040 0.248 0.040 0.248 0.248 0.040 0.248 0.040 0.248	0.015 0.252 0.252 0.252 0.032 0.253 0.253 0.050 0.254 0.255 0.255 0.064 0.256 0.256 0.257 0.257 0.257 0.258 0.258 0.258 0.258 0.259 0.259 0.259 0.259 0.259 0.259 0.259	8.870 10.331 10.331 11.682 11.682 12.867 12.867 12.867 13.537 13.537 13.537 14.261 14.261 15.012 15.012 15.012 15.765 15.765 15.765 16.497 16.497 17.226 17.226 17.226 17.926	7.810 8.577 8.553 8.540 9.208 9.149 9.113 9.650 9.555 9.488 9.731 9.613 9.540 9.785 9.642 9.557 9.716 9.515 9.399 9.551 9.320 9.190 9.307 9.045 8.894 8.959 8.665	0.120 2.163 2.157 0.273 2.332 2.317 0.452 2.455 2.431 0.938 2.483 2.453 0.609 2.504 2.468 0.452 2.513 2.469 0.342 2.504 2.452 0.387 2.471 2.411 0.296 2.417 2.349 0.350 2.336 2.259	14.442 14.264 14.207 14.180 13.983 13.881 13.826 13.622 13.483 13.215 13.055 12.955 12.771 12.585 12.474 12.278 12.065 11.946 11.737 11.496 11.360 11.136 10.869 10.722 10.487 10.030 9.778 9.463	0.221 3.596 3.582 0.453 3.542 3.516 0.686 3.430 1.323 3.372 3.331 0.828 3.221 0.590 3.153 3.098 0.429 3.025 2.963 0.468 2.881 2.812 0.345 2.723 2.648 0.394 2.549 2.467
191.911 191.926 192.174 192.422 192.454 192.702 192.950 192.999 193.247 193.495 193.591 193.839 194.087 194.149 194.397 194.645 194.939 195.187 195.222 195.470 195.718 195.758 196.006 196.254 196.285 196.533 196.781 196.818	0.015 0.248 0.248 0.031 0.248 0.049 0.248 0.096 0.248 0.062 0.248 0.046 0.248 0.046 0.248 0.035 0.248 0.040 0.248 0.040 0.248 0.040 0.248 0.040 0.248 0.040	0.015 0.252 0.252 0.253 0.253 0.254 0.254 0.255 0.255 0.255 0.064 0.256 0.257 0.257 0.257 0.258 0.258 0.258 0.258 0.259 0.259 0.260 0.260 0.260	8.870 10.331 10.331 11.682 11.682 11.682 12.867 12.867 12.867 13.537 13.537 13.537 14.261 14.261 15.012 15.012 15.012 15.765 15.765 15.765 15.765 16.497 16.497 17.226 17.226 17.226 17.926	7.810 8.577 8.553 8.540 9.208 9.149 9.113 9.650 9.555 9.488 9.731 9.613 9.540 9.785 9.642 9.557 9.786 9.615 9.517 9.716 9.515 9.399 9.551 9.320 9.307 9.307 9.045 8.894 8.959	0.120 2.163 2.157 0.273 2.332 2.317 0.452 2.455 2.431 0.938 2.483 2.453 0.609 2.504 2.468 0.452 2.513 2.469 0.342 2.504 2.452 0.387 2.471 2.411 0.296 2.417 2.349 0.350 2.336	14.442 14.264 14.207 14.180 13.983 13.881 13.826 13.622 13.483 13.215 13.055 12.955 12.771 12.585 12.474 12.278 12.065 11.946 11.737 11.496 11.360 11.136 10.869 10.722 10.487 10.195 10.030 9.778	0.221 3.596 3.582 0.453 3.542 3.516 0.686 3.430 1.323 3.372 3.331 0.828 3.221 0.590 3.153 3.098 0.429 3.025 2.963 0.468 2.881 2.812 0.345 2.723 2.648 0.394 2.549



O: 1:		421 212			
Studio	aı	compatibilit	a idr	വരവറ	MICA
Otaalo	u	COMPANDIN	.a ıuı	OGCOIC	yuu

Foglio 56 di Fogli 57

Impianto agrivoltaico Montenero di Bisaccia 19.5 Dottor Geologo Di Berardino Giancarlo Rocco

04/2023

197.360	0.248	0.262	18.583	8.501	2.225	9.013	2.359
197.608	0.248	0.262	18.583	8.176	2.140	8.671	2.269
197.856	0.066	0.069	18.583	7.971	0.553	8.456	0.587
197.921	0.248	0.261	18.383	7.716	2.017	8.251	2.157
198.169	0.248	0.261	18.383	7.400	1.934	7.907	2.067
198.418	0.056	0.059	18.383	7.207	0.425	7.704	0.454
198.473	0.248	0.261	18.176	6.967	1.819	7.510	1.961
198.721	0.248	0.261	18.176	6.662	1.739	7.173	1.873
198.970	0.049	0.051	18.176	6.479	0.331	6.977	0.356
199.018	0.043	0.031	17.967	6.254	1.631	6.793	1.771
199.266	0.248	0.261	17.967	5.958	1.554	6.465	1.686
199.514	0.246	0.201	17.967	5.783	0.277	6.274	0.301
199.560	0.248	0.260	17.755	5.569	1.450	6.100	1.589
199.808	0.248	0.260	17.755	5.283	1.376	5.781	1.506
200.056	0.044	0.046	17.755	5.115	0.235	5.600	0.257
200.099	0.248	0.260	17.476	4.901	1.275	5.434	1.413
200.348	0.248	0.260	17.476	4.628	1.203	5.127	1.333
200.596	0.110	0.116	17.476	4.430	0.513	4.908	0.568
200.706	0.248	0.260	17.252	4.202	1.091	4.707	1.222
200.954	0.248	0.260	17.252	3.938	1.023	4.409	1.145
201.202	0.179	0.187	17.252	3.712	0.695	4.155	0.778
201.381	0.248	0.259	17.038	3.460	0.898	3.913	1.015
201.629	0.248	0.259	17.038	3.207	0.832	3.625	0.941
201.877	0.248	0.259	17.038	2.953	0.766	3.337	0.866
202.125	0.206	0.216	17.038	2.720	0.586	3.072	0.662
202.331	0.248	0.259	16.919	2.479	0.643	2.814	0.730
202.579	0.248	0.259	16.919	2.230	0.578	2.531	0.656
202.827	0.173	0.181	16.919	2.019	0.365	2.292	0.414
203.000	0.248	0.259	16.919	1.727	0.448	1.960	0.508
203.248	0.248	0.259	16.919	1.317	0.342	1.494	0.387
203.496	0.248	0.259	16.919	0.907	0.235	1.029	0.267
203.744	0.248	0.259	16.919	0.497	0.129	0.564	0.146
203.992	0.177	0.185	16.919	0.437	0.123	0.165	0.031
200.002	0.177	0.100	10.513	0.140	0.021	0.103	0.001

LEGENDA SIMBOLI

X(m) : Ascissa sinistra concio dx(m) : Larghezza concio dl(m) : lunghezza base concio

alpha(°): Angolo pendenza base concio
TauStress(kPa): Sforzo di taglio su base concio
TauF (kN/m): Forza di taglio su base concio
TauStrength(kPa): Resistenza al taglio su base concio
TauS (kN/m): Forza resistente al taglio su base concio



Studio di compatibilità idrogeologic	ogica
--------------------------------------	-------

Foglio 57 di Fogli 57

Impianto agrivoltaico Montenero di Bisaccia 19.5 Dottor Geologo Di Berardino Giancarlo Rocco

